

TUGAS AKHIR
ANALISIS DAYA DUKUNG DAN KONSOLIDASI FONDASI
BORED PILE PADA GEDUNG INSTALASI BEDAH SENTRAL (IBS)
RSUD dr. Loekmono Hadi

Diajukan untuk Memenuhi Persyaratan dalam Menyelesaikan
Program Sarjana Program Studi Teknik Sipil
Fakultas Teknik Universitas Islam Sultan Agung



Disusun Oleh :

Anugrah Widya Pratama
NIM : 30201900002

Firmansyah
NIM : 30201900005

PROGRAM STUDI TEKNIK SIPIL FAKULTAS TEKNIK
UNIVERSITAS ISLAM SULTAN AGUNG
2023

HALAMAN PENGESAHAN

ANALISIS DAYA DUKUNG DAN KONSOLIDASI FONDASI *BORED PILE PADA GEDUNG INSTALASI BEDAH SENTRAL (IBS)* RSUD dr. Loekmono Hadi



Anugrah Widya Pratama

NIM : 30201900002

Firmansyah

NIM : 30201900005

Telah disetujui dan disahkan di Semarang, 27 Januari 2023

Tim Pengaji

Tanda Tangan

1. Dr. Ir. H. Soedarsono, M. Si

NIDN : 0620065301

2. Dr. Abdul Rochim, ST., MT.

NIDN : 0608067601

3. Prof. Ir. H. Pratikso, M.ST., Ph.D

NIDN : 0627115501

Ketua Program Studi Teknik Sipil
Fakultas Teknik
Universitas Islam Sultan Agung

Muhamad Rusli Ahyar, ST., M.Eng.

NIDN: 0625059102

BERITA ACARA BIMBINGAN TUGAS AKHIR

No: 30/A.2/SA-T/IX/2023

Pada hari ini tanggal 26 Januari 2023 berdasarkan surat keputusan Dekan Fakultas Teknik, Universitas Islam Sultan Agung perihal penunjukan Dosen Pembimbing Utama dan Dosen Pembimbing Pendamping:

- | | |
|------------------|---------------------------------|
| 1. Nama | : Dr. Ir. H. Soedarsono, M. Si. |
| Jabatan Akademik | : Lektor Kepala IVb |
| Jabatan | : Dosen Pembimbing Utama |
| 2. Nama | : Dr. Abdul Rochim, ST., MT. |
| Jabatan Akademik | : Lektor Kepala IVa |
| Jabatan | : Dosen Pembimbing Pendamping |

Dengan ini menyatakan bahwa mahasiswa yang tersebut di bawah ini telah menyelesaikan bimbingan Tugas Akhir:

Anugrah Widya Pratama
NIM : 30201900002

Firmansyah
NIM : 30201900005

Judul : Analisis Daya Dukung dan Konsolidasi Fondasi *Bored Pile* Pada Gedung Instalasi Bedah Sentral (IBS) RSUD dr. Loekmonohadi

Dengan tahapan sebagai berikut :

| No | Tahapan | Tanggal | Keterangan |
|----|-----------------------------|------------|------------|
| 1 | Penunjukan dosen pembimbing | 16/09/2022 | |
| 2 | Seminar Proposal | 27/10/2022 | ACC |
| 3 | Pengumpulan data | 13/11/2022 | |
| 4 | Analisis data | 30/11/2022 | |
| 5 | Penyusunan laporan | 7/12/2022 | |
| 6 | Selesai laporan | 27/01/2023 | ACC |

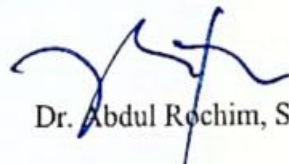
Demikian Berita Acara Bimbingan Tugas Akhir / Skripsi ini dibuat untuk diketahui dan dipergunakan seperlunya oleh pihak-pihak yang berkepentingan

Dosen Pembimbing Utama



Dr. Ir. H. Soedarsono, M. Si.

Dosen Pembimbing Pendamping



Dr. Abdul Rochim, ST., MT.

Mengetahui,
Ketua Program Studi Teknik Sipil



Muhamad Rusdi Ahyar, ST., M.Eng

PERNYATAAN BEBAS PLAGIASI

Saya yang bertanda tangan di bawah ini :

1. NAMA : Anugrah Widya Pratama
NIM : 30201900002
2. NAMA : Firmansyah
NIM : 30201900005

dengan ini menyatakan bahwa Tugas Akhir yang berjudul :

Analisis Daya Dukung dan Konsolidasi Fondasi *Bored Pile* Pada Gedung Instalasi Bedah Sentral (IBS) RSUD dr. Loekmonohadi

benar bebas dari plagiat, dan apabila pernyataan ini terbukti tidak benar maka saya bersedia menerima sanksi sesuai ketentuan yang berlaku.

Demikian surat pernyataan ini saya buat untuk dipergunakan sebagaimana mestinya.

Semarang, 27 Januari 2023
Yang membuat pernyataan

Mahasiswa I

Mahasiswa II



Anugrah Widya Pratama

Firmansyah

NIM : 30201900002

NIM : 30201900005

PERNYATAAN KEASLIAN

Saya yang bertanda tangan di bawah ini :

1. NAMA : Anugrah Widya Pratama
NIM : 30201900002
2. NAMA : Firmansyah
NIM : 30201900005

JUDUL TUGAS AKHIR : Analisis Daya Dukung dan Konsolidasi Fondasi *Bored Pile* Pada Gedung Instalasi Bedah Sentral (IBS) RSUD dr. Loekmonohadi

Menyatakan dengan sesungguhnya bahwa Tugas Akhir ini merupakan hasil penelitian, pemikiran dan pemaparan asli saya sendiri. Saya tidak mencantumkan tanpa pengakuan bahan - bahan yang telah dipublikasikan sebelumnya atau ditulis oleh orang lain, atau sebagai bahan yang pernah diajukan untuk gelar atau ijasah pada Universitas Islam Sultan Agung Semarang atau perguruan tinggi lainnya.

Apabila dikemudian hari terdapat penyimpangan dan ketidakbenaran dalam pernyataan ini, maka saya bersedia menerima sanksi akademik sesuai dengan peraturan yang berlaku di Universitas Islam Sultan Agung Semarang.

UNISSULA
جامعة سلطان أوجونج الإسلامية
Semarang, 27 Januari 2023
Yang membuat pernyataan

Mahasiswa I



Anugrah Widya Pratama

NIM : 30201900002

Mahasiswa II



Firmansyah

NIM : 30201900005

MOTTO

كُنْتُمْ خَيْرًا أُمَّةً أُخْرَجْتُ لِلنَّاسِ تَأْمُرُونَ بِالْمَعْرُوفِ وَتَنْهَوْنَ عَنِ الْمُنْكَرِ وَتُؤْمِنُونَ بِاللَّهِ ۖ وَنَوْ أَمْنَ أَهْلُ الْكِتَبِ
لَكُمْ خَيْرًا لَهُمْ مِنْهُمُ الْمُؤْمِنُونَ وَأَكْثَرُهُمُ الْفَسِقُونَ

“Kamu (umat Islam) adalah umat terbaik yang dilahirkan untuk manusia, (karena kamu) menyuruh (berbuat) yang makruf, dan mencegah dari yang mungkar, dan beriman kepada Allah. Sekiranya Ahli Kitab beriman, tentulah itu lebih baik bagi mereka. Di antara mereka ada yang beriman, namun kebanyakan mereka adalah orang-orang fasik” (QS.Ali Imran Ayat 110)

وَاللَّهُ أَخْرَجَكُمْ مِنْ بُطُونِ أُمَّهِتُكُمْ لَا تَعْلَمُونَ شَيْئًا وَجَعَلَ لَكُمُ السَّمْعَ وَالْأَبْصَارَ وَالْأُفْدَةَ لَأَطْكُمْ شَكُورُونَ

“Dan Allah mengeluarkan kamu dari perut ibumu dalam keadaan tidak mengetahui sesuatu pun, dan Dia memberimu pendengaran, penglihatan, dan hati nurani, agar kamu bersyukur”(QS.An-Nahl Ayat 78)



"Siapa yang menempuh jalan untuk mencari ilmu, maka Allah akan mudahkan baginya jalan menuju surga." (HR Muslim, no. 2699)

"Belajarlah kamu semua, dan mengajarlah kamu semua, dan hormatilah guru-gurumu, serta berlaku baiklah terhadap orang yang mengajarkanmu." (HR Thabran).

مَنْخَرَ جِفْطَلَبِ الْعِلْمِ فَهُوَ فِسِيلٌ لِلْهَتَّبِزِجِعِ

"Barangsiaapa yang keluar untuk menuntut ilmu, maka ia berada di jalan Allah hingga ia pulang," (HR Tirmidzi)

PERSEMBAHAN

Alhamdulillah, Puji Syukur kehadirat Allah SWT atas segala rahmat dan hidayahNya, sehingga penulis bisa menyelesaikan Laporan Tugas Akhir ini. Laporan Tugas Akhir ini penulis persembahkan untuk :

1. Kedua orang tua yang saya cintai Ibu Sri Jarwati dan Bapak Suwito yang selalu memberikan kasih sayang, doa, dukungan moral maupun material, dan arahan yang menjadi peneguh hati dalam menyelesaikan Tugas Akhir .
2. Dosen pembimbing Tugas Akhir saya Bapak Dr. Ir. H. Soedarsono, M. Si dan Bapak Dr. Abdul Rochim, ST., MT yang telah membimbing kami sepenuh hati dalam menyelesaikan Tugas Akhir ini.
3. Sahabat saya Firmansyah rekan Tugas Akhir, rekan seperjuangan sejak awal menjadi maba di Unissula, yang sudah berjuang bersama melewati segala rintangan hingga titik akhir perjuangan mendapatkan gelar Sarjana Teknik, dan saudara seiman.
4. Untuk sahabat saya yaitu Nurul Cholifatul Huda, Naili Mala Fauzi, dan Nunik Rizkia yang telah memberikan bantuan dan dukungan dalam menyelesaikan Tugas Akhir ini.
5. Untuk teman saya Timur Paras Mukti dan Istifham Prainka yang telah membantu dalam pengumpulan data proyek sehingga penggeraan tugas akhir ini dapat berjalan dengan lancar.
6. Putri Harfianti, Amd. KL, terimakasih atas semangat maupun dukungan support yang telah diberikan dalam tersusunnya laporan tugas akhir ini.
7. Saudara Lambang Revaldo, terimakasih atas bimbingan dalam menyelesaikan Tugas Akhir ini
8. Teman – teman angkatan 2019, 2018, dan 2020 Fakultas Teknik Unissula yang selalu menghibur, memberikan dukungan serta semangat selama penyelesaian Tugas Akhir.

Anugrah Widya P.

NIM : 30201900002

PERSEMBAHAN

Alhamdulillah, Puji Syukur kehadirat Allah SWT atas segala rahmat dan hidayahNya, sehingga penulis bisa menyelesaikan Laporan Tugas Akhir ini. Laporan Tugas Akhir ini penulis persembahkan untuk :

1. Kedua orang tua yang saya cintai Ibu Muntiah dan Bapak Sutiyono yang selalu memberikan kasih sayang, doa, dukungan moral maupun material, dan arahan yang menjadi peneguh hati dalam menyelesaikan Tugas Akhir .
2. Dosen pembimbing Tugas Akhir saya Bapak Dr. Ir. H. Soedarsono, M. Si dan Bapak Dr. Abdul Rochim, ST., MT yang telah membimbing kami sepenuh hati dalam menyelesaikan Tugas Akhir ini.
3. Sahabat saya Anugrah Widya P. rekan Tugas Akhir, rekan seperjuangan sejak awal menjadi maba di Unissula, yang sudah berjuang bersama melewati segala rintangan hingga titik akhir perjuangan mendapatkan gelar Sarjana Teknik, dan saudara seiman.
4. Untuk sahabat saya yaitu Nurul Cholifatul Huda, Naili Mala Fauzi, dan Nunik Rizkia, serta sahabat seperjuangan saya di luar perkuliahan yaitu Miftachul Jannah, Rr Friska Aulia Utami, Septi Anggraeni, dan Dewi Ayu Fatmawati yang telah memberikan bantuan dan dukungan dalam menyelesaikan Tugas Akhir ini.
5. Untuk teman saya Timur Paras Mukti dan Istifham Prainka yang telah membantu dalam pengumpulan data proyek sehingga pengerjaan Tugas Akhir ini dapat berjalan dengan lancar
6. Teman – teman angkatan 2019, 2018, dan 2020 Fakultas Teknik Unissula yang selalu menghibur, memberikan dukungan serta semangat selama penyelesaian Tugas Akhir.

Firmansyah

NIM : 30201900005

KATA PENGANTAR

Segala Puji dan syukur penulis panjatkan kehadiran Allah SWT yang telah melimpahkan segala rahmatNya sehingga penulis dapat menyelesaikan Tugas Akhir dengan judul “Analisis Daya Dukung dan Konsolidasi Fondasi *Bored Pile* Pada Gedung Instalasi Bedah Sentral (IBS) RSUD dr. Loekmonohadi ” guna memenuhi salah satu persyaratan untuk memperoleh gelar Sarjana Teknik Program Studi Teknik Sipil pada Fakultas Teknik Universitas Islam Sultan Agung.

Penulis menyadari kelemahan serta keterbatasan yang ada sehingga dalam menyelesaikan skripsi ini memperoleh bantuan dari berbagai pihak, dalam kesempatan ini penulis menyampaikan ucapan terima kasih kepada :

1. Bapak Ir. H. Rachmat Mudiyono, MT, Ph.D Selaku Dekan Fakultas Teknik Universitas Islam Sultan Agung Semarang.
2. Bapak Muhammad Rusli Ahyar, ST.,M.Eng selaku Ketua Program Studi Teknik Sipil Fakultas Teknik Universitas Islam Sultan Agung Semarang.
3. Bapak Dr. Ir. H. Soedarsono, M. Si selaku Dosen Pembimbing Utama yang selalu memberikan waktu bimbingan dan arahan selama penyusunan Tugas Akhir ini.
4. Bapak Dr. Abdul Rochim, ST., MT selaku Dosen Pembimbing Pendamping yang selalu memberikan waktu bimbingan dan arahan selama penyusunan Tugas Akhir ini.
5. Seluruh Dosen Program Studi Teknik Sipil UNISSULA yang telah memberikan ilmunya kepada penulis.
6. Semua pihak yang membantu dalam penyelesaian Tugas Akhir ini.

Penulis menyadari bahwa Tugas Akhir ini masih banyak kekurangan baik isi maupun susunannya. Semoga Tugas Akhir ini dapat bermanfaat tidak hanya bagi penulis juga bagi para pembaca.

Semarang, 27 Januari 2023

Penulis

DAFTAR ISI

| | |
|--|------|
| HALAMAN JUDUL | i |
| HALAMAN PENGESAHAN | ii |
| BERITA ACARA BIMBINGAN TUGAS AKHIR | iii |
| PERNYATAAN BEBAS PLAGIASI | iv |
| PERNYATAAN KEASLIAN | v |
| MOTTO | vi |
| PERSEMBAHAN | vii |
| KATA PENGANTAR | ix |
| DAFTAR ISI | x |
| DAFTAR GAMBAR | xiii |
| DAFTAR TABEL | xv |
| DAFTAR NOTASI | xvi |
| ABSTRAK | xix |
| | |
| BAB I PENDAHULUAN | 1 |
| 1.1. Latar Belakang | 1 |
| 1.2. Rumusan Masalah | 2 |
| 1.3. Batasan Masalah | 2 |
| 1.4. Tujuan Penelitian | 3 |
| 1.5. Manfaat Penelitian | 3 |
| | |
| BAB II TINJAUAN PUSTAKA | 4 |
| 2.1. Fondasi | 4 |
| 2.2. Pengertian Fondasi <i>Bored Pile</i> | 7 |
| 2.3. Metode Pelaksanaan Fondasi Tiang Bor | 8 |
| 2.3.1. Metode Kering (<i>Dry Hole Method</i>) | 8 |
| 2.3.2. Metode Basah | 9 |
| 2.3.3. Metode Casing | 10 |
| 2.4. Distribusi Beban | 11 |
| 2.5. Pembebanan | 11 |
| 2.5.1. Beban Mati atau <i>Dead Load</i> (DL) | 12 |
| 2.5.2. Beban Hidup atau <i>Live Load</i> (LL) | 12 |
| 2.5.3. Beban Angin (W) | 12 |
| 2.5.4. Beban Gempa (E) | 12 |
| 2.6. Permodelan Menggunakan <i>Software SAP2000 V.23</i> | 13 |
| 2.7. Kapasitas Daya Dukung Fondasi <i>Bored Pile</i> | 13 |
| 2.7.1. Daya Dukung Aksial | 13 |
| 2.7.1.1. Kapasitas Daya Dukung <i>Bored Pile</i> dari Hasil Sondir | 13 |
| 2.7.1.2. Kapasitas Daya Dukug <i>Bored Pile</i> dari Hasil N-SPT | 17 |
| 2.7.2. Kapasitas Daya Dukung Fondasi | 20 |
| 2.7.2.1. Daya Dukung Lateral | 20 |
| 2.7.3. Daya Dukung Kelompok Tiang | 23 |
| 2.7.3.1. Jumlah Tiang <i>Bored Pile</i> | 24 |
| 2.7.3.2. Jarak Antar Tiang <i>Bored Pile</i> | 24 |
| 2.7.3.3. Efisiensi Fondasi <i>Bored Pile</i> | 24 |
| 2.7.4. Penurunan Elastis Tiang Tunggal | 24 |

| | |
|---|-----|
| 2.7.4.1. Penurunan Tiang Tunggal Menggunakan <i>Plaxis</i> | 26 |
| 2.7.4.2. Penurunan Tiang Tunggal Menggunakan <i>Allpile</i> | 26 |
| 2.7.4.3. Penurunan Yang Diizinkan | 27 |
| 2.7.5. Penurunan Elastisitas Tiang Kelompok Metode <i>Vesic</i> (1977)..... | 27 |
| 2.7.6. Perhitungan <i>Pile Cap</i> | 28 |
| BAB III METODE PENELITIAN | 32 |
| 3.1. Pendahuluan | 32 |
| 3.2 Lokasi Proyek | 32 |
| 3.3. Data Umum | 33 |
| 3.4. Data Teknis | 33 |
| 3.5. Metode Pengumpulan Data | 33 |
| 3.6. Metode Analisis Data | 34 |
| 3.7. Metode Pengolahan Data | 34 |
| BAB IV HASIL DAN PEMBAHASAN | 36 |
| 4.1. Tujuan Umum | 36 |
| 4.2 Permodelan Struktur Atas Menggunakan <i>Software SAP2000 V.23</i> | 36 |
| 4.2.1. Beban Mati (<i>Dead Load</i>) | 46 |
| 4.2.2. Beban Hidup (<i>Live Load</i>) | 46 |
| 4.2.3. Beban Gempa | 46 |
| 4.2.3.1. Faktor Keamanan | 47 |
| 4.2.3.2. Zona Wilayah Gempa | 50 |
| 4.3. Data Perencanaan | 53 |
| 4.4. Perhitungan Kapasitas Daya Dukung Aksial Fondasi <i>Bored Pile</i> | 54 |
| 4.4.1. Perhitungan Kapasitas Daya Dukung Aksial Berdasarkan Data Sondir atau <i>Cone Penetration Test (CPT)</i> | 55 |
| 4.4.1.1. Metode <i>Aoki de Alencar</i> | 55 |
| 4.4.1.2. Metode <i>Tomlinson</i> | 57 |
| 4.4.2. Perhitungan Kapasitas Daya Dukung Aksial Berdasarkan Hasil <i>Standard Penetration Test ((SPT))</i> | 58 |
| 4.4.2.1. Metode <i>Reese and Wright</i> (1977) | 58 |
| 4.4.2.2. Metode <i>Mayerhoff</i> | 60 |
| 4.5. Hasil Perbandingan | 66 |
| 4.6. Daya Dukung Lateral | 67 |
| 4.6.1. Metode <i>Brooms</i> 1964 | 67 |
| 4.7. Daya Dukung Fondasi Kelompok Tiang | 70 |
| 4.7.1. Perhitungan Untuk Metode <i>Reese & Wright</i> 1977 | 70 |
| 4.8. Penurunan Elastisitas Fondasi Tiang Tunggal Menggunakan Metode <i>Vesic</i> (1977) | 73 |
| 4.9. Penurunan Fondasi Tiang Tunggal Menggunakan Program <i>Plaxis</i> | 75 |
| 4.10. Analisa Pemodelan Fondasi dengan Program <i>Allpile</i> | 87 |
| 4.11. Penurunan Elastisitas Pada Tiang Kelompok Menggunakan Metode <i>Vesic</i> (1977) | 93 |
| BAB V KESIMPULAN DAN SARAN | 121 |
| 5.1. Kesimpulan | 121 |
| 5.2 Saran | 122 |

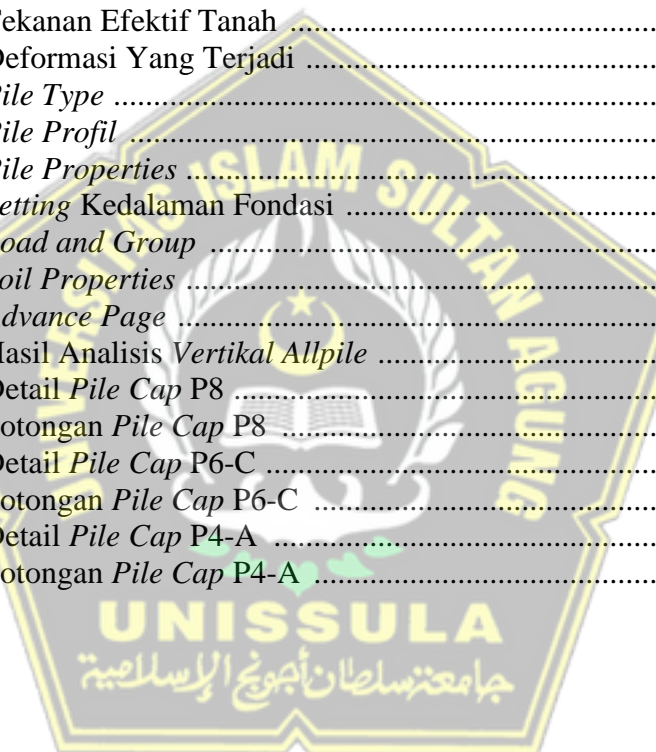
| | |
|----------------------|-----|
| DAFTAR PUSTAKA | 124 |
| LAMPIRAN | xx |



DAFTAR GAMBAR

| | |
|--|----|
| Gambar 2.1 Fondasi Telapak | 5 |
| Gambar 2.2 Fondasi Memanjang atau Menerus | 5 |
| Gambar 2.3 Fondasi Rakit | 6 |
| Gambar 2.4 Tiang Franki | 7 |
| Gambar 2.5. Tiang Pancang <i>Precast</i> | 7 |
| Gambar 2.6 Fondasi <i>Bored Pile</i> | 8 |
| Gambar 2.7 Langkah Pelaksanaan Fondasi Tiang Bor Metode Kering | 9 |
| Gambar 2.8 Langkah Pelaksanaan Fondasi Tiang Bor Metodr Basah | 9 |
| Gambar 2.9 Langkah Pelaksanaan Fondasi Tiang Bor Metode Casing | 10 |
| Gambar 2.10 Tiang Gesek | 11 |
| Gambar 2.11 Tiang Dukung Ujung | 11 |
| Gambar 2.12 Hubungan Antara Faktor <i>Adhesi</i> dan Kohesi Untuk Tiang Pancang Dalam Tanah Lempung | 17 |
| Gambar 2.13 Daya Dukung Ujung Tiang | 18 |
| Gambar 2.14 Daya Dukung Kulit Tiang | 19 |
| Gambar 2.15 Faktor <i>Adhesi</i> | 21 |
| Gambar 2.16 Grafik Nilai Tahanan Momen Ultimit | 23 |
| Gambar 3.1 Lokasi Proyek | 32 |
| Gambar 3.2 <i>Flow Chart</i> | 35 |
| Gambar 4.1 <i>New Model</i> | 37 |
| Gambar 4.2 <i>Edit Grid</i> | 37 |
| Gambar 4.3 Material Baja | 38 |
| Gambar 4.4 Material Beton | 38 |
| Gambar 4.5 Material <i>Frame Section</i> | 39 |
| Gambar 4.6 <i>Reinforcement</i> Data Untuk Beam | 39 |
| Gambar 4.7 <i>Reinforcement</i> Data Untuk Kolom | 40 |
| Gambar 4.8 <i>Shell Section</i> Data | 40 |
| Gambar 4.9 <i>Load Patters</i> | 41 |
| Gambar 4.10 <i>Load Combination</i> Data | 42 |
| Gambar 4.11 <i>Load Patter Loads</i> | 42 |
| Gambar 4.12 <i>Load Pattern Dead</i> | 43 |
| Gambar 4.13 <i>Load Pattern Live</i> | 43 |
| Gambar 4.14 <i>Response Spectrum</i> | 44 |
| Gambar 4.15 <i>Load Case Respon Sprectrum</i> | 44 |
| Gambar 4.16 <i>Run Analyze</i> | 45 |
| Gambar 4.17 Hasil <i>Run Analyze</i> dan Pemodelan 3D Struktur Atas dengan SAP2000 V.23 | 45 |
| Gambar 4.18 Spektral Percepatan | 51 |
| Gambar 4.19 Denah Fondasi | 53 |
| Gambar 4.20 Data Tanah | 54 |
| Gambar 4.21 Penentuan Parameter Tanah | 55 |
| Gambar 4.22 Detail <i>Pile Cap</i> P8 | 70 |
| Gambar 4.23 Detail <i>Pile Cap</i> P6-C | 71 |
| Gambar 4.24 Detail <i>Pile Cap</i> P4-A | 72 |
| Gambar 4.25 General Setting | 75 |

| | |
|--|-----|
| Gambar 4.26 <i>General Setting</i> | 75 |
| Gambar 4.27 Pemodelan Kontur Tanah | 76 |
| Gambar 4.28 Data Umum | 76 |
| Gambar 4.29 <i>Mohr Coloumb</i> | 77 |
| Gambar 4.30 <i>Mohr Coloumb</i> | 77 |
| Gambar 4.31 Data Material Fondasi | 77 |
| Gambar 4.32 Pemodelan | 78 |
| Gambar 4.33 Input Pembebanan | 78 |
| Gambar 4.34 Susunan Jaringan Elemen | 79 |
| Gambar 4.35 <i>Water Weight</i> | 79 |
| Gambar 4.36 Muka Air Tanah | 80 |
| Gambar 4.37 <i>Output Soil Stressess</i> | 80 |
| Gambar 4.38 Tekanan Air Pori | 81 |
| Gambar 4.39 Prosedur K0 | 81 |
| Gambar 4.40 Tekanan Efektif Tanah | 82 |
| Gambar 4.41 Deformasi Yang Terjadi | 83 |
| Gambar 4.42 <i>Pile Type</i> | 83 |
| Gambar 4.43 <i>Pile Profil</i> | 84 |
| Gambar 4.44 <i>Pile Properties</i> | 84 |
| Gambar 4.45 <i>Setting</i> Kedalaman Fondasi | 85 |
| Gambar 4.46 <i>Load and Group</i> | 85 |
| Gambar 4.47 <i>Soil Properties</i> | 86 |
| Gambar 4.48 <i>Advance Page</i> | 86 |
| Gambar 4.49 Hasil Analisis Vertikal Allpile | 87 |
| Gambar 4.50 Detail <i>Pile Cap P8</i> | 101 |
| Gambar 4.51 Potongan <i>Pile Cap P8</i> | 101 |
| Gambar 4.52 Detail <i>Pile Cap P6-C</i> | 113 |
| Gambar 4.53 Potongan <i>Pile Cap P6-C</i> | 113 |
| Gambar 4.54 Detail <i>Pile Cap P4-A</i> | 119 |
| Gambar 4.55 Potongan <i>Pile Cap P4-A</i> | 120 |



DAFTAR TABEL

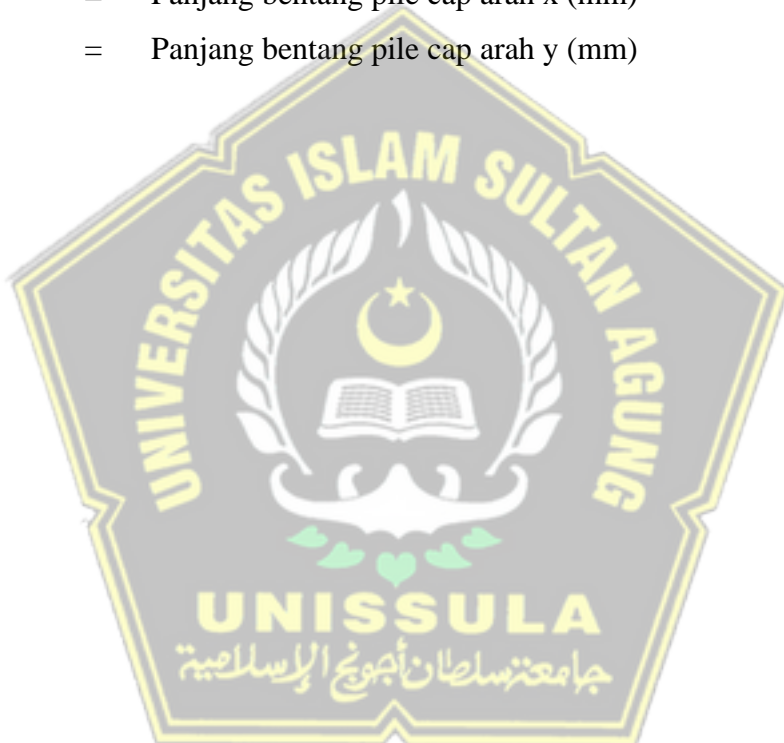
| | |
|--|-----|
| Tabel 2.1 Faktor Empirik F_b dan F_s | 15 |
| Tabel 2.2 Faktor Empirik Tanah a_s | 15 |
| Tabel 2.3 Nilai n_h tanah granuler ($c=0$) | 22 |
| Tabel 2.4 Jenis Tanah | 25 |
| Tabel 2.5 Nilai <i>Poisson's Ratio</i> | 26 |
| Tabel 4.1 Beban Hidup SNI 1927 – 2020 | 46 |
| Tabel 4.2 Kategori risiko bangunan gedung dan non gedung untuk beban gempa | 47 |
| Table 4.3 Faktor keutamaan gempa | 49 |
| Table 4.4 Kategori Desain Seismik Berdasarkan Nilai S_{D_s} | 50 |
| Table 4.5 Kategori Desain Seismik Berdasarkan Nilai S_{D_1} | 50 |
| Table 4.6 Nilai q_c Didasar Tiang | 56 |
| Table 4.7 Hasil Perhitungan Kapasitas Daya Dukung dengan Metode <i>Aoki de Alencar</i> | 62 |
| Tabel 4.8 Hasil Perhitungan Kapasitas Daya Dukung dengan Metode <i>Tomlinson</i> | 63 |
| Tabel 4.9 Hasil Perhitungan Kapasitas Daya Dukung dengan Metode <i>Reese and Wright</i> | 64 |
| Tabel 4.10 Hasil Perhitungan Kapasitas Daya Dukung dengan Metode <i>Mayerhoff</i> | 65 |
| Tabel 4.11 Hasil Perhitungan dan Perbandingan Daya Dukung Aksial Tanah | 66 |
| Tabel 4.12 Berat Jenis Tanah | 67 |
| Tabel 4.13 Hasil Dari Setiap Tipe Fondasi | 72 |
| Tabel 4.14 Konsolidasi | 82 |
| Tabel 4.15 Hasil Daya Dukung Aksial dengan Manual dan Program | 88 |
| Tabel 4.16 Hasil Penurunan Tiang dengan Manual dan Program | 88 |
| Tabel 4.17 Hasil Perhitungan Pile Cap | 120 |

DAFTAR NOTASI

| | | |
|-------------|---|--|
| Q_p | = | Daya Dukung Ujung Tiang (kN) |
| A_p | = | Luas Penampang (m^2) |
| C_u | = | Kohesi Tanah |
| α | = | Faktor Adhesi Empiris |
| P | = | Keliling Tiang (m) |
| L_i | = | Tebal Lapisan Tanah (m) |
| Q_p | = | Daya Dukung Ujung Tiang (kN) |
| Q_s | = | Daya Dukung Slimut Tiang (kN) |
| Q_u | = | Daya Dukung Ultimat Tiang (kN) |
| C_u | = | Kohesi Tanah (kN/m ²) |
| η | = | Efesiensi Kelompok Tiang (%) |
| m | = | Jumlah Tiang Arah Vertical |
| n | = | Jumlah Kolom Arah Vertical |
| θ | = | Arc tg d/s |
| s | = | Jarak As Tiang (m) |
| d | = | Diameter Tiang (m) |
| n' | = | Jumlah Tiang |
| Q_g | = | Kapasitas Izin Kelompok Tiang (kN) |
| N_p | = | Jumlah Tiang |
| V | = | Beban Strukturnya (kN) |
| Q_{tiang} | = | Daya Dukung Izin Tiang Tunggal (kN) |
| E_p | = | Modulus Elastis Tiang (kN/m ²) |
| I | = | Momen Inersia (m^4) |
| nh | = | Koefisien Modulus Variasi (kN/m ³) |
| Kh | = | Modulus Reaksi Subgrade (kN/m ³) |
| H_u | = | Daya Dukung Lateral Tiang (kN) |
| My | = | Momen Max Yang Dapat Ditahan Tiang (kN.m) |
| γ | = | Berat Volume Tanah (kN/m ³) |
| e | = | Jarak Beban Horizontal ke Permukaan Tanah (m) |
| K_p | = | Koefisein Tekanan Tanah Pasif |

| | | |
|-------|---|---|
| f | = | Jarak Kedalaman Titik Dimana Gaya Geser = 0 (m) |
| lp | = | Momen Inersia Tiang (m^4) |
| H | = | Beban Lateral (kN) |
| L | = | Panjang Tiang (m) |
| S | = | Total Penurunan (mm) |
| S1 | = | Penurunan Batang Tiang (mm) |
| S2 | = | Penurunan Tiang Akibat Beban Diujung Tiang (mm) |
| S3 | = | Penurunan Tiang Akibat Beban Selimut (mm) |
| Qwp | = | Beban yang Ujung Tiang (kN) |
| Qws | = | Beban Yang Selimut Tiang (kN) |
| Ab | = | Luas Penampang Tiang (m^2) |
| ξ | = | 0,5 (Distribusi Tahanan Sepanjang Tiang) |
| Cp | = | Koefisien Empiris |
| Sg | = | Penurunana Kelompok Tiang (mm) |
| St | = | Penurunan Tiang Tunggal (mm) |
| b' | = | Lebar Kelompok Tiang (mm) |
| B | = | Diameter Fondasi (mm) |
| T | = | Waktu Penurunan |
| Tv | = | Factor Waktu (Derajat Konsolidasi Rata-Rata) |
| H^2 | = | Seluruh panjang Lintas Fondasi (m) |
| Cv | = | Derajat Konsolidasi ($0.0045 \text{ m}^2/\text{dtk}$) |
| Bw | = | Lebar Fondasi (m) |
| Ag | = | Luas Penampang Beton (mm^2) |
| Ast | = | Luas Tulangan (mm^2) |
| Dst | = | Diamater Tulangan (mm) |
| As | = | Luas selimut tiang (m) |
| Bg | = | Lebar pilecap (m) |
| Cs | = | Konstanta empiris |
| Df | = | <i>Depth of Fondation</i> (m) |
| Eg | = | Efesiensi kelompok tiang |
| Es | = | Modulus elastisitas (kg/cm^3) |
| Ws | = | Berat butiran padat (gr) |

| | | |
|----|---|--------------------------------------|
| Va | = | Volume udara (cm^3) |
| Vv | = | Volume pori (cm^3) |
| Vs | = | Volume padat (cm^3) |
| Vw | = | Volume air (cm^3) |
| Ws | = | Berat butiran padat (gr) |
| n1 | = | Jumlah baris tiang |
| n2 | = | Jumlah tiang dalam satu baris |
| Dx | = | Tinggi efektif pile (mm) |
| Bo | = | Keliling penampang geser pons (mm) |
| b1 | = | Panjang bentang pile cap arah x (mm) |
| b2 | = | Panjang bentang pile cap arah y (mm) |



**ANALISIS DAYA DUKUNG DAN KONSOLIDASI FONDASI
BORED PILE PADA GEDUNG INSTALASI BEDAH SENTRAL (IBS)
RSUD dr. LOEKMONOHADI**

Anugrah Widya Pratama ¹⁾, Firmansyah ¹⁾, Soedarsono ²⁾, Abdul Rochim ²⁾

ABSTRAK

Fondasi merupakan struktur bawah bangunan yang berfungsi untuk meneruskan beban sampai ke tanah dan tidak boleh mengalami pergeseran atau keruntuhan. Untuk merencanakan suatu fondasi perlu mengetahui kondisi tanah dilapangan dan juga hasil pengujian dilapangan. Perlu juga mengetahui seperti apakah bangunan yang akan berdiri diatasnya, seperti pada studi kasus kali ini bangunan yang berdiri diatasnya merupakan sebuah bangunan rumah sakit dimana strukturnya harus memenuhi persyaratan keselamatan (*Safety*) dan harus memenuhi persyaratan kelayakan (*Serviceability*).

Permodelan struktur atas gedung menggunakan SAP2000 untuk memperoleh beban pada kolom gedus IBS RSUD dr. Loekmonohadi. Tujuan penelitian ini yaitu untuk menganalisis daya dukung aksial fondasi *bored pile* dengan metode *Aoki de Alencar*, *Tomlinson*, *Reese and Wright*, *Mayerhoff*, dan daya dukung lateral dengan metode *Brooms*, analisis efisiensi dan analisis penurunan elastisitas tiang tunggal, analisis penurunan elastisitas tiang kelompok, analisis permodelan dengan program plaxis dan allpile serta mendesain *pile cap*.

Dari hasil perhitungan diperoleh beban terbesar yaitu 7036,415 kN dan beban terkecil yaitu 1824,156 kN. Perhitungan daya dukung ijin (*Qall*) tiang tunggal fondasi *bored pile* pada kedalaman 17 meter dengan metode *Aoki de Alencar* sebesar $Q_{all} = 233,807$ kN, metode *Tomlinson* sebesar $Q_{all} = 363,220$ kN, metode *Reese and Wright* sebesar $Q_{all} = 804,014$, metode *Mayerhoff* sebesar $Q_{all} = 804,014$, dengan program allpile sebesar $Q_{all} = 412,328$ kN, daya dukung lateral metode *Brooms* dengan cara analitis diperoleh $H_u = 669,68$, perhitungan penurunan fondasi tiang tunggal diperoleh penurunan sebesar 3,40 mm dan menggunakan plaxis periode 1 tahun dan 10 tahun diperoleh penurunan sebesar 2,47 mm dengan program allpile sebesar 2,27 mm. Hasil perhitungan *pile cap* pada P1 dimensi adalah 3,5x2,98 m dengan tebal 1,2 m, pada P6-C dimensi adalah 3,5x2,25 m dengan tebal 1,2 m, pada *pile cap* P4-A dimensi 2,5x2,5 m dengan tebal 1,2 m.

Kata Kunci : Fondasi; Bored pile; Daya Dukung; Penurunan; Pile Cap

¹⁾ Mahasiswa Fakultas Teknik Program Studi Teknik Sipil Unissula.

²⁾ Dosen Fakultas Teknik Program Studi Teknik SIpil Unissula.

**ANALYSIS OF BEARING CAPACITY AND CONSOLIDATION OF FOUNDATIONS
BORED PILE IN CENTRAL SURGICAL INSTALLATION BUILDING
RSUD dr. LOEKMONOHADI**

Anugrah Widya Pratama¹⁾, Firmansyah¹⁾, Soedarsono²⁾, Abdul Rochim²⁾

ABSTRACT

The foundation is the lower structure of the building which functions to transmit the load to the ground and must not experience a shift or collapse. To plan a foundation, it is necessary to know the soil conditions in the field and also the results of field testing. It is also necessary to know what kind of building will stand on it, as in the case study this time the building that stands on it is a hospital building where the structure must meet safety requirements and must meet serviceability requirements.

Modeling the superstructure of the building using SAP2000 to obtain the load on the IBS building column at RSUD dr. Loekmonohadi. The purpose of this study was to analyze the axial bearing capacity of bored pile foundations using the Aoki de Alencar, Tomlinson, Reese and Wright, Mayerhoff method, and the lateral bearing capacity using the Brooms method, efficiency analysis and analysis of the reduction in elasticity of single piles, analysis of the reduction in elasticity of group piles, analysis modeling with plaxis and allpile programs and designing pile caps.

From the calculation results, the largest load is 7036.415 kN and the smallest load is 1824.156 kN. Calculation of the allowable bearing capacity (Q_{all}) for a single bored pile foundation at a depth of 17 meters using the Aoki de Alencar method of $Q_{all} = 233.807$ kN, the Tomlinson method of $Q_{all} = 363.220$ kN, the Reese and Wright method of $Q_{all} = 804.014$, the Mayerhoff method of $Q_{all} = 804.014$, with the allpile program of $Q_{all} = 412.328$ kN, the lateral bearing capacity of the Brooms method by analytical means is obtained $H_u = 669.68$, the calculation of the settlement of single pile foundations obtains a settlement of 3.40 mm and using plaxis a period of 1 year and 10 years obtains a decrease of 2.47 mm with an allpile program of 2.27 mm. The results of the pile cap calculation on P1 dimensions are 3.5x2.98 m and 1.2 m thick, on P6-C the dimensions are 3.5x2.25 m and 1.2 m thick, on P4-A pile cap dimensions are 2.5x2 .5 m with a thickness of 1.2 m.

Keywords: Foundation; Bored pile; Bearing Capacity; Decline; Pile Cap

¹⁾ Unissula Civil Engineering Study Program Faculty of Engineering students.

²⁾ Lecturer at the Faculty of Engineering, Unissula Civil Engineering Study Program.

BAB I

PENDAHULUAN

1.1. Latar Belakang

Gedung Instalasi Bedah Sentral (IBS) RSUD dr. Loekmono Hadi Kudus yang berlokasi di jalan dr. Loekmonohadi No. 19 Kudus merupakan gedung rumah sakit yang dibangun rencananya yaitu 6 lantai. Tiap bangunan rumah sakit, strukturnya wajib direncanakan serta dilaksanakan supaya kuat, kokoh, serta normal dan wajib penuhi persyaratan keselamatan (*safety*), serta dan wajib penuhi persyaratan kelayakan (*serviceability*) sepanjang usia layanan yang direncanakan dengan memikirkan guna bangunan rumah sakit, posisi, keawetan, serta mungkin penerapan konstruksinya.

Agar konstruksi ini memiliki bangunan yang kokoh, kuat, serta aman maka dibutuhkan perencanaan fondasi yang baik dan fondasi harus diperhitungkan secara matang untuk dapat menjamin kestabilan bangunan. Pekerjaan pertama pada sebuah konstruksi bangunan adalah struktur bawah seperti fondasi yang berfungsi untuk menopang struktur diatasnya. Fungsi utama fondasi yaitu untuk meneruskan beban mati (*dead load*) dan beban hidup (*live load*) pada bangunan maupun beban gempa pada suatu daerah tertentu, dan kemudian disalurkan ke tanah melalui fondasi.

Struktur bawah bangunan rumah sakit dapat berupa fondasi dangkal atau dalam, disesuaikan dengan beban struktur diatasnya dan kondisi tanah di lokasi didirikannya rumah sakit. Fondasi merupakan bangunan utama yang memikul beban diatasnya serta berperan menyalurkan tegangan- tegangan yang terjalin akibat beban yang dipikul ialah beban struktur serta menyalurkan gaya- gaya yang terdapat pada konstruksi atas serta meneruskannya hingga kedalam tanah sehingga bisa menjamin kestabilan, ketahanan, serta akibat *style* dari luar semacam tekanan angin, gempa, serta lain- lain, sehingga fondasi tidak boleh terjalin penyusutan yang signifikan serta terdapat batasan tertentu yang butuh dicermati.

Penyelidikan tanah dilakukan untuk mendapatkan hasil daya dukung pada tanah yang benar dan akurat. Menentukan daya dukung pada fondasi *bored pile* menggunakan metode statis dan metode dinamis. Tujuan melakukan penyelidikan

tanah agar mengetahui sifat, jenis, tingkat kepadatan tanah, dan struktur pelapis pada tanah. Manfaatnya untuk mendapatkan hasil yang aman, akurat, serta hemat/ekonomis.

1.2. Rumusan Masalah

Merujuk pada latar belakang yang dibahas sebelumnya, penulis dapat juga merumuskan beberapa masalah yaitu:

1. Berapa besar beban maksimal tiap tiang fondasi *bored pile* pada gedung Instalasi Bedah Sentral (IBS) RSUD dr. Loekmono Hadi?
2. Bagaimana cara perhitungan untuk mengetahui daya dukung aksial dan lateral yang terjadi pada fondasi?
3. Bagaimana cara perhitungan penurunan pada tiang tunggal (*Single Pile*) maupun tiang kelompok (*Group Pile*)?
4. Bagaimana menghitung struktur atas menggunakan program SAP2000v14?
5. Bagaimana hasil analisis pemodelan fondasi *bored pile* pada program *plaxis* dan *Allpile*?
6. Bagaimana menghitung konsolidasi pada fondasi *bored pile*?

1.3. Batasan Masalah

Pada tugas akhir ini memiliki beberapa batasan masalah sebagai berikut :

1. Lokasi pengamatan untuk penelitian tanah hanya disekitar gedung Instalasi Bedah Sentral (IBS) RSUD dr. Loekmono Hadi,
2. Struktur fondasi untuk laporan ini menggunakan fondasi *bored pile*,
3. Analisis kekuatan daya dukung aksial dan lateral fondasi *bored pile*,
4. Metode yang dipakai untuk perhitungan daya dukung aksial yaitu: Metode *Mayerhoff, Tomlinson, Reese & Wright, dan Aoiki de Alencar*
5. Metode yang dipakai untuk perhitungan daya dukung lateral yaitu: Metode *Brooms*,
6. Hitungan konsolidasi hanya memperhatikan periode satu tahun dan sepuluh tahun,
7. Rencana pembebanan bangunan mengacu pada Pedoman untuk Perencanaan Pembebanan untuk gedung,

8. Program yang nantinya digunakan untuk menghitung struktur atas adalah SAP2000v14, Sedangkan program yang dipakai untuk menganalisis nilai daya dukung tanah dan konsolidasi adalah *plaxis* dan untuk pemodelan fondasi tiang tunggal menggunakan *Allpile*.
9. Penambahan 1 lantai yang dimana sebelumnya 6 lantai menjadi 7 lantai pada proyek pembangunan gedung Instalasi Bedah Sentral (IBS) dr. Loekmono Hadi.
10. Data struktur dan data tanah didapat dari PT. Sembilan Sembilan Cahaya selaku Kontraktor pada proyek.

1.4. Tujuan Penelitian

Untuk tujuan penelitian dalam tugas akhir ini bisa disimpulkan sebagai berikut :

1. Mengetahui beban dari beberapa kolom gedung Instalasi Bedah Sentral (IBS) RSUD dr. Loekmono Hadi,
2. Mengetahui nilai daya dukung aksial dan lateral tanah
3. Mengetahui *settlement* tiang tunggal (*Single Pile*) dan tiang kelompok (*Group Pile*),
4. Mengetahui hasil konsolidasi pada fondasi *bored pile* berdasarkan perhitungan manual dan menggunakan program *plaxis* dan *allpile*.
5. Mengetahui Cara mendesain *Pile Cap*

1.5. Manfaat Penelitian

Setelah tujuan diatas, menghasilkan beberapa manfaat antara lain:

1. Menambah pengetahuan, ilmu yang bermanfaat dan untuk pembanding jika ada pekerjaan yang serupa,
2. Bermanfaat bagi perkembangan ilmu maupun pengetahuan di bidang analisis geoteknik, utamanya fondasi *bored pile* bagi pihak terkait, dan
3. Sebagia acuan atau contoh bagi mahasiswa yang membaca dan melakukan penelitian dengan mengambil studi kasus yang sama.

BAB II

TINJAUAN PUSTAKA

2.1. Fondasi

Sebuah perencanaan konstruksi terdiri atas perencanaan struktur bawah serta struktur atas. Struktur bawah ini mencakup bagian struktur yang berada pada bawah tanah, yaitu fondasi. Struktur atas mencakup bagian struktur yang berada diatas tanah mirip kolom, balok, pelat serta lain-lain. Untuk struktur bawah maupun struktur atas sangatlah penting pada suatu konstruksi.

Semua struktur yang dirancang untuk ditempatkan di atas tanah harus didukung oleh fondasi. Pengertian Fondasi adalah struktur pada fondasi suatu struktur/bangunan (*substructure*) yang menyalurkan beban dari bagian atas struktur/bangunan (*superstruktur*) ke lapisan tanah di bawahnya tanpa menimbulkan *ground shear*. Berperan dalam keruntuhan dan penurunan muka tanah dari lantai/fondasi.

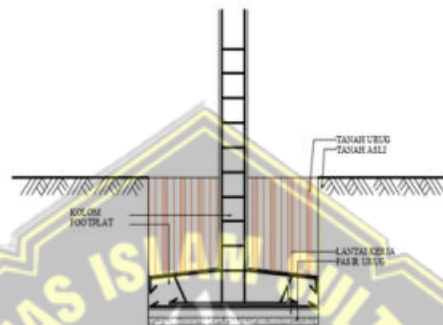
Fondasi adalah struktur bawah suatu bangunan yang berfungsi untuk memindahkan beban dari atas ke bawah yaitu ke tanah atau batuan yang sedang dibangun. Secara umum fondasi dibagi menjadi dua jenis yaitu fondasi dangkal dan fondasi dalam. Yang dimaksud dengan fondasi dangkal adalah fondasi yang mampu menopang beban yang relatif kecil dan mampu secara langsung menyerap beban suatu bangunan. Pengertian fondasi dalam adalah fondasi yang dapat mengambil beban yang besar dari suatu bangunan dan memindahkan beban tersebut ke tanah yang keras (Yahya & Pramudya, 2022). Berikut penjelasan mengenai jenis-jenis fondasi :

1. Fondasi Dangkal

Fondasi dangkal adalah fondasi yang kedalamannya relatif dangkal. Biasanya, fondasi ini hanya memiliki kedalaman sekitar 3 meter. Fondasi ini sering digunakan pada daerah dengan kondisi tanah yang berat untuk menopang beban suatu bangunan. (Revaldo, L., & Johari, 2022). Berikut jenis-jenis fondasi dangkal :

a. Fondasi Telapak

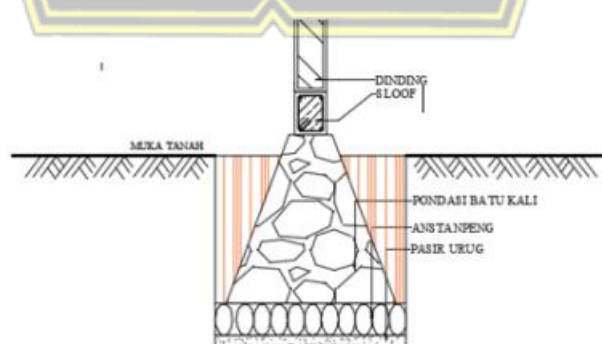
Fondasi telapak adalah fondasi dangkal yang dimaksudkan untuk menahan beban terpusat dari kolom bangunan, dan konstruksinya sejajar dengan bagian atas kolom bangunan. Pangkal kaki biasanya berbentuk bujur sangkar dan terbuat dari beton bertulang. Penerapan fondasi ini terdapat pada bangunan rumah tinggal, gedung pencakar langit dan gudang (Revaldo, L., & Johari, 2022). Gambar fondasi telapak bisa dilihat pada Gambar 2.1.



Gambar 2.1 Fondasi Telapak (Revaldo, L., & Johari, 2022)

b. Fondasi Memanjang

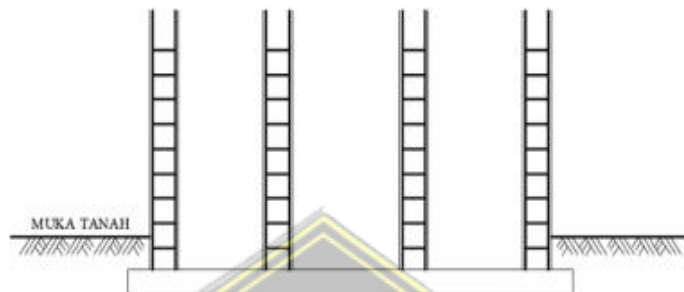
Fondasi Memanjang, atau sering disebut fondasi batu kali, digunakan untuk menopang struktur dan kolom dinding memanjang yang jaraknya relatif berdekatan. Metode ini menggunakan batu pecah atau batu kali sebagai bahan utama dan menuangkan beton tanpa adanya tulangan.(Revaldo, L., & Johari, 2022). Gambar fondasi memanjang dapat dilihat pada Gambar 2.2.



Gambar 2.2 Fondasi Memanjang atau Menerus
(Revaldo, L., & Johari, 2022)

c. Fondasi Rakit

Fondasi rakit digunakan dalam konstruksi ketika bangunan berada di atas tanah yang lunak atau tanah yang memiliki daya dukung yang buruk. (Revaldo, L., & Johari, 2022). Gambar fondasi rakit dapat dilihat pada Gambar 2.3.



Gambar 2.3 Fondasi Rakit (Revaldo, L., & Johari, 2022)

2. Fondasi Dalam

Fondasi dalam adalah substruktur bangunan yang berfungsi untuk mentransfer beban konstruksi ke lapisan tanah keras yang berada jauh dari permukaan tanah. Fondasi dapat diklasifikasikan sebagai fondasi dalam jika rasio kedalaman terhadap lebar fondasi lebih besar dari sepuluh ($D_f/B > 10$) (Revaldo, L., & Johari, 2022). Berikut jenis-jenis fondasi dalam.

a. Fondasi Sumuran

Fondasi sumuran adalah fondasi yang strukturnya adalah pipa beton yang dikubur di dalam tanah untuk membuat sumur. Pekerjaan fondasi ini dilakukan dengan menggunakan batu pecah dan beton sebagai bahan pengisi. Penggunaan fondasi ini berlaku untuk area bangunan yang lapisan tanah kerasnya cukup dalam.(Revaldo, L., & Johari, 2022). Gambar fondasi sumuran bisa dilihat pada Gambar 2.4.

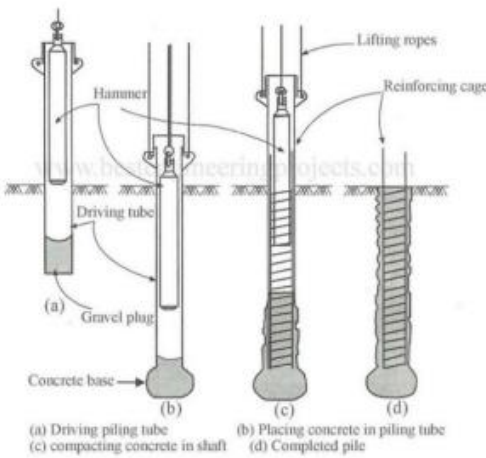
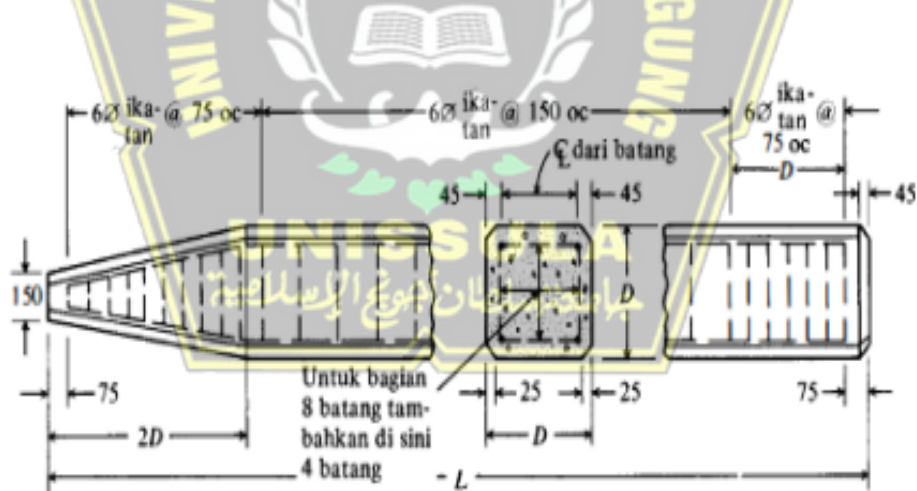


Fig 1 Stage in Installing a Franki Pile

Gambar 2.4 Tiang Franki (Hardiyatmo, 2008)

b. Fondasi Tiang

Fondasi tiang pancang ialah fondasi yang dipergunakan pada bangunan konstruksi dimana tanah kerasnya sangat dalam. Fondasi ini cocok untuk digunakan pada struktur multi-lapisan di mana gaya-gayanya dipengaruhi oleh beban *horizontal* (Revaldo, L., & Johari, 2022). Gambar fondasi tiang bisa dilihat pada Gambar 2.5.

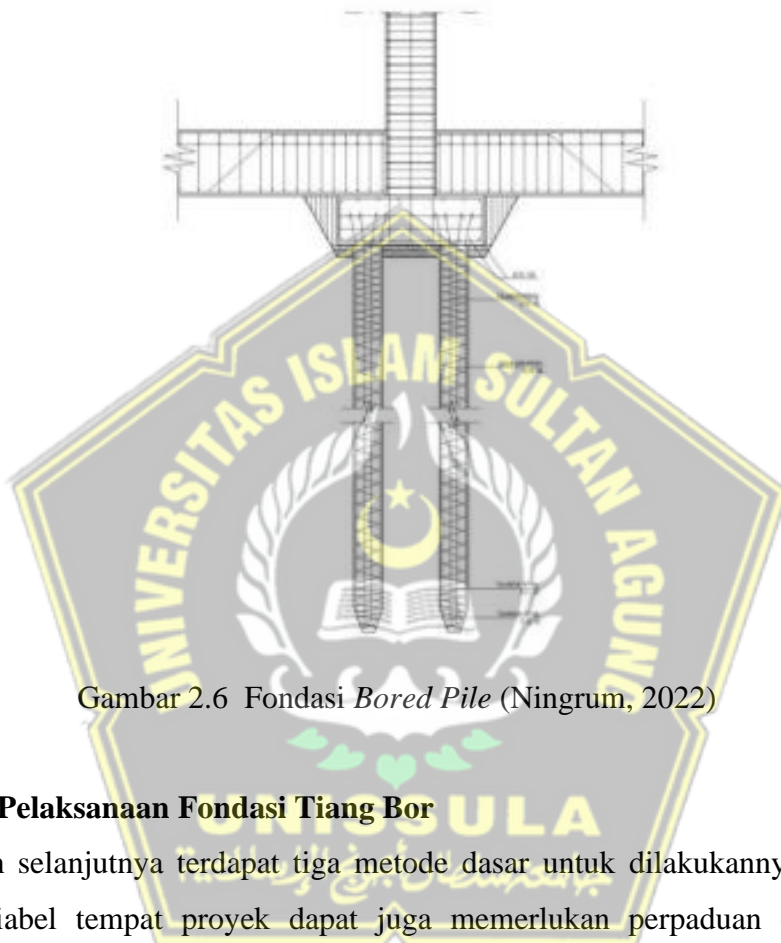


Gambar 2.5 Tiang Pancang *Precast* (Revaldo, L., & Johari, 2022)

2.2. Pengertian Fondasi *Bored Pile*

Fondasi tiang bor adalah jenis fondasi dalam yang dimasukkan ke dalam permukaan tanah sampai kedalaman tertentu. Fondasi ditusuk dengan alat khusus dan diletakkan pada kedalaman yang dibutuhkan. Setelah mencapai kedalaman yang diperlukan, *bekisting*

yang terbuat dari besi lembaran dipasang, kerangka besi fondasi yang sudah dirakit sebelumnya dimasukkan kedalam lubang bor dan dituangkan. Pekerjaan fondasi ini tentunya didukung dengan alat khusus untuk mengangkat sirap dan rangka baja. Setelah dilakukan pengecoran kesing tersebut lalu dikeluarkan kembali (Takaredase, 2016). Detail fondasi *bored pile* ditunjukkan seperti pada Gambar 2.6.



Gambar 2.6 Fondasi *Bored Pile* (Ningrum, 2022)

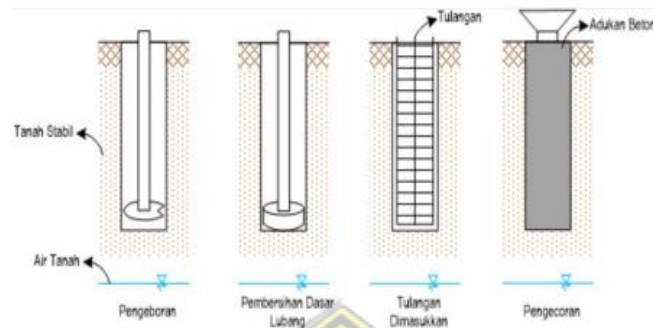
2.3. Metode Pelaksanaan Fondasi Tiang Bor

Pada tahapan selanjutnya terdapat tiga metode dasar untuk dilakukannya pengeboran (variable-variabel tempat proyek dapat juga memerlukan perpaduan dari beberapa metode), yaitu:

2.3.1. Metode Kering (*Dry Hole Method*)

Metode kering melibatkan penggalian lubang terlebih dahulu (membentuk seperti lonceng jika perlu). Setelah itu, sebagian sumur diisi dengan beton, dan kerangka tulangan dipasang untuk menyelesaikan pekerjaan. Rangka tulangan tidak boleh dipasang sampai dasar lubang sumur tercapai, karena perlindungan beton minimal diperlukan dan kerangka tulangan diperpanjang sampai akhir mendekati kedalaman penuh dari pada hanya mencapai kira – kira setengahnya saja.

Metode ini mengasumsikan bahwa tanah di bawahnya lengket dan tingkat air di bawah dasar sumur yang tinggi. Atau, jika permeabilitasnya cukup rendah, sumur dibor (dan terkadang dipompa) dan dibeton sebelum sumur terisi penuh. dari beton (Afifa, 2021). Rangkaian pelaksanaan dapat dilihat seperti pada gambar dibawah ini.

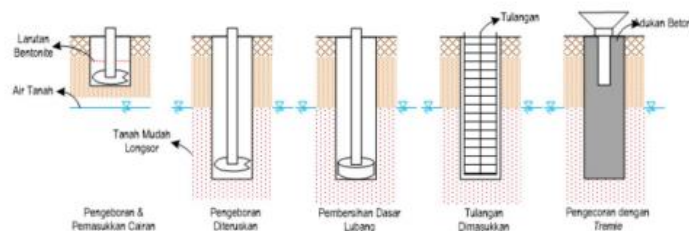


Gambar 2.7 Langkah Pelaksanaan Fondasi Tiang Bor Metode Kering

(Afifa, 2021)

2.3.2. Metode Basah

Metode basah biasanya digunakan ketika pengeboran berada di atas permukaan air, sehingga lubang bor biasanya longsor jika dinding tidak ditahan pada tempatnya. Sumur diisi dengan larutan tanah liat atau tanah polimer agar lubang tidak terpeleset, maka dilakukan pemboran di dalam larutan tersebut. Setelah mencapai kedalaman yang diinginkan, lubang bor dibersihkan dan pengaku yang terpasang ditempatkan di dalam lubang bor. Lubang bor masih diisi dengan bentonit cair (*polimey*). Campuran beton ditempatkan di lubang bor dengan pipa trip dan larutan *bentonit* dipaksa melalui campuran beton dan diangkat. Solusi untuk larutan yang keluar dari lubang bor, nantinya dapat ditampung dan bisa kembali digunakan lagi untuk pengeboran di lokasi yang berbeda selanjutnya (Afifa, 2021).



Gambar 2.8 Langkah Pelaksanaan Fondasi Tiang Bor Metode Basah

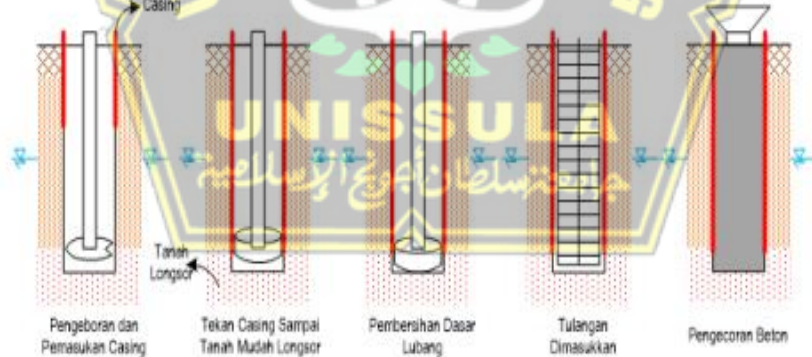
(Afifa, 2021)

2.3.3. Metode Casing

Casing diperlukan karena *defleksi* bawah (*slumping*) dan deformasi lateral yang terjadi pada lubang bor. Perhatikan bahwa *slurry* harus ditahan sebelum memasuki *casing*. Dalam kondisi tak menentu, *casing* harus ditanam dengan menggunakan alat penggetar (*vibrator*).

Pipa penggunaan *casing* harus cukup panjang untuk menutupi semua bagian tanah yang mungkin runtuh akibat penggalian dan juga diperlukan untuk tegangan penggalian. *Casing* juga diperlukan untuk injeksi air permukaan atau sedang, seperti fondasi dermaga dan jembatan.

Tata cara ini memakai selubung dalam proyek di mana bentukan samping yang kelewatan ataupun deformasi lateral yang seketika bisa terjalin pada rongga sumur (*sharp cavity*). Butuh kita ingat kalau saat sebelum casing dimasukkan, sesuatu adonan spesi encer (*slurry*) digunakan buat mempertahankan lubang. Sehabis *casing* dipasang, adonan dikeluarkan serta sumur diperdalam sampai pada kedalaman yang dibutuhkan dalam kondisi kering. Tergantung pada kebutuhan site serta proyek, sumuran di dasar *casing* hendak dikurangi sangat tidak hingga ID *casing* kadang-kadang 25 hingga 50 milimeter minimnya buat jarak ruang bor tanah (*auger*) yang lebih baik (Afifa, 2021).



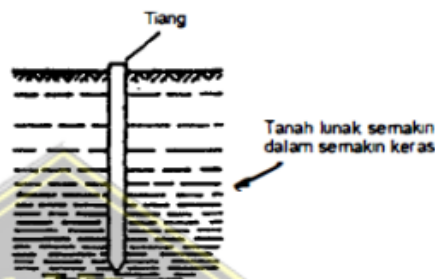
Gambar 2.9 Langkah Pelaksanaan Fondasi Tiang Bor Metode *Casing*
(Afifa, 2021)

2.4. Distribusi Beban

Menurut pendistribusian beban, untuk penyaluran beban ke tanah, distribusi fondasi dibagi menjadi 2 macam, antara lain :

1. Fondasi tiang dengan gesekan tanah (*Friction Pile*)

Fondasi tiang yang memikul beban ditentukan oleh gesekan antara dinding tiang dan tanah di sekitarnya (Revaldo, L., & Johari, 2022). Seperti pada Gambar 2.10.



Gambar 2.10 Tiang Gesek (Hardiyatmo, 2008)

2. Fondasi tiang dengan tahanan ujung (*End bearing Pile*)

Fondasi tiang yang daya dukung bebannya adalah tahanan di ujung tiang. Tiang akan dipancang sampai kedalam lapisan tanah keras (Revaldo, L., & Johari, 2022). Seperti ditunjukkan di Gambar 2.11.



Gambar 2.11 Tiang Dukung Ujung (Hardiyatmo, 2008)

2.5. Pembebanan

Beban pada struktur gedung meliputi beban mati, beban hidup, beban angin, beban seismik, beban air, dan beban khusus lainnya seperti yang terdapat pada beban getaran mesin dan beban sensitif. Beban rencana suatu struktur bangunan gedung bergantung pada fungsi spasial, letak, bentuk, kekakuan, massa, dan tinggi bangunan. Jenis beban

yang digunakan dalam perencanaan ini adalah beban hidup (LL), beban mati (DL), beban angin (W), dan beban gempa (E).

2.5.1. Beban Mati atau *Dead Load* (DL)

Beban mati ialah berat semua bagian bangunan permanen, termasuk semua elemen tambahan, mesin dan peralatan yang merupakan bagian integral dari bangunan tersebut.

Menurut SNI 1727 (2020:15) beban mati adalah berat seluruh struktur termasuk dinding, lantai, atap, langit-langit, tangga, partisi tetap, ekstensi, kelongsong bangunan, komponen bangunan dan struktur lainnya dan peralatan teknis terpasang lainnya termasuk berat dari keran. (Karim, 2013).

2.5.2. Beban Hidup atau *Live Load* (LL)

Beban hidup ialah beban seluler yang berfungsi penuh. Beban hidup adalah semua beban akibat tinggal atau menggunakan bangunan, termasuk beban lantai yang disebabkan oleh benda bergerak, mesin dan peralatan yang bukan merupakan bagian dari bangunan, dan yang dapat diganti selama umur bangunan. yang menyebabkan perubahan beban pada lantai dan atap bangunan.

Menurut SNI 1727 (2020:18) beban hidup adalah beban yang ditimbulkan oleh pengguna atau penghuni bangunan dan struktur lainnya, dan tidak termasuk beban struktural atau lingkungan yang meliputi beban angin, beban hujan, beban gempa, beban banjir atau beban mati. (Karim, 2013)

2.5.3. Beban Angin (W)

Beban angin merupakan seluruh beban yang bekerja pada bangunan ataupun bagian bangunan yang diakibatkan oleh selisi dalam tekanan hawa. Tekanan tiup wajib diambil minimum 25 kilogram/m², serta ditepi laut hingga sepanjang 5 kilometer dari tepi laut haru di ambil minimum 40 kilogram/ m².

2.5.4. Beban Gempa (E)

Beban seismik ialah gaya yang dihasilkan oleh gempa bumi yang terjadi di dasar tanah, memberikan tekanan pada struktur dan memungkinkan untuk memasuki keadaan runtuh. Di daerah dengan risiko seismik tinggi, efek gempa bumi sangat diperhitungkan.

Beban seismik adalah beban yang diakibatkan oleh pergerakan tanah di bawah suatu bangunan atau struktur bangunan. Pergerakan tanah menyebabkan struktur bergoyang. Fluktuasi dimodelkan sebagai beban horizontal pada bangunan atau superstruktur bangunan dan dirumuskan sebagai beban seismik desain (Karim, 2013).

2.6. Permodelan Menggunakan *Software SAP2000 V.23*

Analisa pembebanan pada Proyek Pembangunan Gedung Instalasi Bedah Sentral (IBS) RSUD dr. Loekmonohadi diperhitungkan dengan menggunakan aplikasi SAP2000 V.23. Software SAP2000 V.23 merupakan sebuah program yang akan digunakan untuk menghitung pembebanan pada struktur atas bangunan dalam perencanaan fondasi yang akan direncanakan.

Software ini dapat digunakan untuk merencanakan gedung, jembatan, tower, dll. Dan dalam merencanakannya dapat menggunakan material baja dan beton sesuai dengan kebutuhan. Program ini sudah lengkap dan mudah digunakan karena fitur-fitur di dalamnya telah memadai. Output dari program ini berupa momen, gaya geser, serta gaya normal, maka dari output itulah akan mendapatkan beban terbesar dari kolom-kolom perencanaan yang akan digunakan dalam perencanaan fondasi.

2.7. Kapasitas Dari Daya Dukung Fondasi *Bored Pile*

Kapasitas daya dukung suatu fondasi adalah kemampuan tanah untuk menopangnya berupa beban maksimum dari bangunan diatasnya. Daya dukung alas kuat terhadap gaya lateral dan melindungi terhadap geser yang akan segera terjadi. Jumlah dari tahanan gesek sisi permukaan dan ujung tiang adalah kapasitas maksimum tiang yang nantinya akan dipancang ke dalam tanah dengan tipe kohesif. (Yusti & Fahriani, 2014). Dan fondasi juga harus diletakkan pada tanah keras agar daya dukungnya lebih stabil. Daya dukung fondasi berasal dari *friction end bearing* nya. Berikut ini adalah metode-metode untuk menghitung kapasitas fondasi.

2.7.1. Daya Dukung Aksial

Daya Dukung aksial merupakan kemampuan tanah dibawah fondasi untuk menahan gaya-gaya dari luar yang bekerja dengan arah tegak lurus terhadap fondasi tersebut. Untuk mendapatkan nilai daya dukung aksial, memerlukan hasil analisis data menurut data lapangan dan juga data laboratorium. Data lapangan meliputi dari data hasil sondir dan N-SPT. Data laboratorium meliputi dari hasil analisis data berdasarkan kuat geser tanah dan tahanan ujung ultimit (Rohman, 2022).

2.7.1.1. Kapasitas Daya Dukung *Bored Pile* dari Hasil Sondir

Sondir atau Cone Penetration Test (CPT) sering digunakan dan dipertimbangkan berperan dalam perencanaan geoteknik. Sondir ini pada pelaksanaannya sangat cepat, sederhana, serta ekonomis dan hasil tesnya dapat dipercaya dilapangan dan dilakukan pengukuran

secara bertahap dari permukaan tanah dasar. Pada perencanaan fondasi *bore pile*, data sondir ini sangat diperlukan dalam merencanakan kapasitas daya dukung (*bearing capacity*) dari fondasi sebelum pembangunan dimulai untuk menentukan kapasitas daya dukung ultimit dari fondasi *bore pile* (Rohman, 2022). Kapasitas daya dukung ultimit ditentukan dengan persamaan sebagai berikut:

$$Qu = Qp + Qs = qp \cdot Ap + f \cdot As \quad \dots \dots \dots \quad (2.1)$$

Dimana :

Qu = Kapasitas pada daya dukung ultimit di tiang bor (kN)

Q_p = Kapasitas daya dukung di ujung (kN)

Q_s = Kapasitas pada daya dukung di kulit (kN)

qp = Kapasitas pada daya dukung diujung tiang persatuan luas (kN/m^2)

Ap = Luas penampang tiang (m^2)

f = Daya dukung kulit persatuan luas (kN/m^2)

As = Luas dari selimut tiang (m^2)

Untuk menghitung daya dukung *bored pile* berdasarkan data hasil pengujian sondir dapat dilakukan dengan 2 metode, yaitu :

a. Metode *Aoki* dan *De Alencar*

Menurut Aoki dan Alencar, Kapasitas dukung ultimit dari data sondir mempunyai persamaan solusi (Rohman, 2022) . Kapasitas dukung ujung persatuan luas (q_p) diperoleh dengan persamaan sebagai berikut :

$$qp = \frac{qc(base)}{E_h} \dots \text{جامعة سلطان قابوسي السلطانية} \dots (2.2)$$

Dimana :

$qc(base)$ = Perlawanan konus rata-rata yang dianjurkan 1,5D diatas ujung tiang, 1,5D dibawahujung tiang dan adalah empirik daya dukung ujung yang tergantung pada tipe tiang.

F_b = Faktor empirik daya dukung ujung tiang tergantung pada tipe tiang. Tahanan kulit persatuan luas (f) diprediksi sebagai berikut :

$$f = qc \text{ (side)} \frac{as}{Fs} \dots \quad (2.3)$$

Dimana :

qc (side) = Perlawanannya konus rata-rata pada setiap lapisan sepanjang tiang.

as = nilai faktor empirik tanah

Fs = Faktor nilai empirik daya dukung kulit tiang tergantung pada jenis tiang.

Fb = Faktor empirik daya dukung ujung tiang yang tergantung pada jenis tiang.

Faktor Fb dan Fs dapat dilihat pada Tabel 2.1 dan nilai faktor empirik tanah dapat dilihat pada Tabel 2.2 dibawah ini.

Tabel 2.1 Nilai dari Faktor Empirik untuk Fb dan Fs

| Tipe Tiang Pancang | Fb | Fs |
|--------------------|------|------|
| Tiang Bor | 3,5 | 7,0 |
| Baja | 1,75 | 3,5 |
| Beton Pratekan | 1,75 | 3,5 |

Sumber : (Titi et al., 1999)

Tabel 2.2 Nilai Faktor Empirik Tanah a_s

| Tipe Tanah | a_s (%) | Tipe Tanah | a_s (%) | Tipe Tanah | a_s (%) |
|--------------------------------|-----------|-------------------------------|-----------|-------------------------------|-----------|
| Pasir | 1.4 | Pasir berlanau | 2.2 | Lempung berpasir | 2.4 |
| Pasir Kelanauan | 2.0 | Pasir dengan lempung | 2.8 | Lempung berpasir dengan lanau | 2.8 |
| Pasir kelanauan dengan lempung | 2.4 | Lanau | 3.0 | Lempung berlanau dengan pasir | 3.0 |
| Pasir berlempung dengan lanau | 2.8 | Lanau berlempung dengan pasir | 3.0 | Lempung berlanau | 4.0 |

| | | | | | |
|------------------|-----|------------------|-----|---------|-----|
| Pasir berlempung | 3.0 | Lanau berlempung | 3.4 | Lempung | 6.0 |
|------------------|-----|------------------|-----|---------|-----|

Sumber : (Titi et al., 1999)

Pada umumnya nilai as untuk pasir = 1,4 %, nilai as untuk lanau = 3,0 % dan nilai as untuk lempung = 2,4 - 6%.

b. Metode *Tomlinson*

Dalam metode *Tomlinson*, 1977 (Yusti & Fahriani, 2014). Tahanan gesek tiang juga dinyatakan dalam persamaan berikut ini :

dimana,

Q_s = tahanan gesek ultimit (kN)

A_s = luas selimut tiang (m^2)

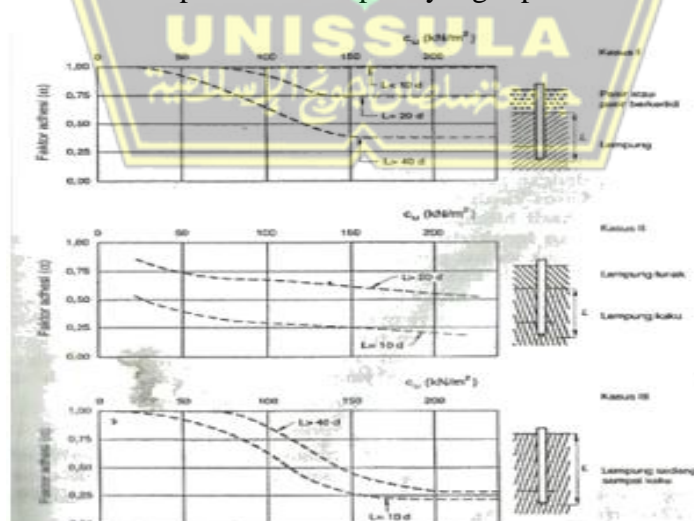
f_s = tahanan gesek tiap satuan luas (kN/m^2)

C_d = adhesi antara tiang dan tanah di sekitarnya (kN/m^2)

α = Nilai faktor *adhesi* diambil dari Gambar 2.13

c_u = Nilai kohesi pada kondisi *undrained* (kN/m^2)

Untuk faktor *adhesi*, Tomlinson, 1977 (Yusti & Fahriani, 2014) memperhatikan pengaruh bentuk-bentuk lapisan tanah seperti yang diperlihatkan dalam Gambar 2.13



Gambar 2.13 Hubungan Antara Faktor *Adhesi* Dan *Kohesi* Untuk Tiang Pancang Dalam Tanah Lempung (Yusti & Fahriani, 2014)

2.7.1.2. Kapasitas Nilai Daya Dukung Pada *Bored Pile* dari Hasil N-SPT

Standard Penetration Test (SPT) adalah uji percobaan penetrasi dinamis dengan memasukkan suatu alat yang dinamakan *split spoon* kedalam tanah yang digunakan untuk mengetahui daya dukung tanah pada tiang fondasi. Kapasitas daya dukung ultimit tiang (Q_u) adalah jumlah dari daya dukung ujung tiang / *end bearing pile* (Q_p) dan daya dukung selimut tiang / *skin friction pile* (Q_s) (Rohman, 2022). Untuk menentukan kapasitas daya dukung tiang *bored pile* dari hasil N-SPT dapat dilakukan perhitungan menggunakan beberapa metode, yaitu :

a. Perhitungan Daya Dukung Fondasi (*Reese & Wright, 1977*)

Perhitungan Daya dukung di ujung tiang (*end bearing*) sebagai berikut :

Dimana :

Q_p = Kapasitas daya dukung pada ujung tiang (kN)

qP = Daya dukung ujung tiap satuan luas (kN/m^2)

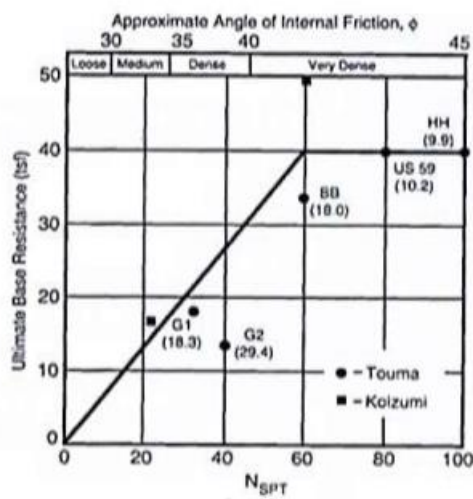
Ap = Luas dari nilai penampang tiang (m^2)

Untuk tanah kohesif :

Dimana : c_u = Kohesi tanah (kN/m^2)

Untuk tanah non-kohesif :

Reese and Wright (1977) mengemukakan nilai korelasi antara qp dan N-SPT seperti terlihat pada Gambar 2.14



Gambar 2.14 Daya Dukung Pada Ujung Tiang

(Reese and Wright, 1977)

Untuk nilai $N < 60$ maka $q_p = 7 \text{ N/m}^2 < 400 \text{ (kN/m}^2\text{)}$

Untuk nilai $N > 60$ maka $q_p = 400 \text{ (kN/m}^2\text{)}$.

Dimana : N = Nilai dari rata-rata hasil SPT.

Dimana :

O_s = Kapasitas daya dukung kulit tiang (kN)

f_s = Nilai gesekan di selimut tiang tiap satuan luas (kN/m^2)

$AS = \text{Luas selimut tjiang (m}^2\text{)}$

Untuk tipe tanah kohesif :

$$fs \equiv g(x)cy \quad \text{with } c = \frac{1}{\sqrt{2}} \quad (2.12)$$

Dimana :

a = Nilai Faktor *adhesi*

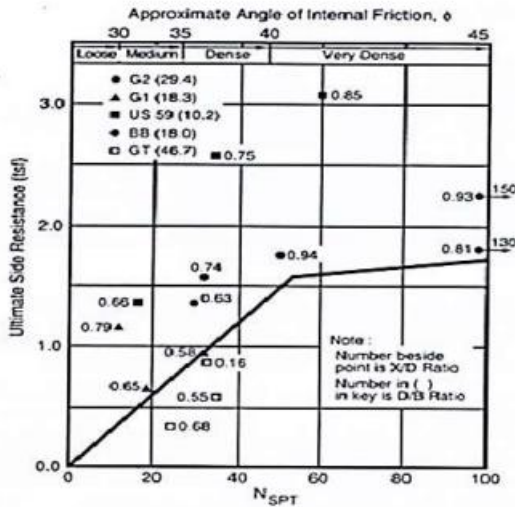
(Berdasarkan penelitian *Reese and Wright*, 1977 untuk $a = 0,55$.)

C_u = Nilai kohesi dari tanah (kN/m²)

Untuk tanah tipe non-kohesif :

Untuk nilai $N < 53$ maka $f_s = 0,32 \text{ N-SPT (kN/m}^2\text{)}$

Untuk $53 < N < 100$ maka fs diperoleh dari nilai korelasi langsung dengan nilai NSPT (*Reese dan Wright, 1977*) mengenai tahanan geser selimut tiang seperti pada Gambar 2.15.



Gambar 2.15 Daya Dukung Kulit Tiang

(Reese and Wright, 1977)

b. Perhitungan Nilai Dari Daya Dukung Fondasi (*Mayerhoff*)

Daya dukung di ujung tiang (*end bearing*) pada tanah tipe non – kohesif

$$QP = 40 \times NSPT \times Ap \quad \dots \dots \dots \quad (2.13)$$

Dimana : QP = Daya dukung ujung tiang (kN)

$NSPT$ = Nilai N_{SPT} yang terjadi di elevasi dasar tiang (kN/m²)

Ap = Luas penampang tiang (m²)

Daya dukung ujung tiang (*end bearing*) pada tanah tipe kohesif

$$Qp = 9 \times cu \times Ap \quad \dots \dots \dots \quad (2.14)$$

Dimana : Ap = Luas dari penampang tiang (m²)

cu = Nilai kohesi tanah (kN/m²)

$$= N-SPT * 2/3 * 10$$

Daya dukung selimut tiang (*skin friction*) pada tanah tipe *non-kohesif*

$$Qs = 2 \times NSPT \times p \times L \quad \dots \dots \dots \quad (2.15)$$

Dimana :

L = Panjang kedalaman lapisan di tanah (m)

P = Nilai Keliling pada tiang bor (m)

Daya dukung selimut tiang *bored pile* (*skin friction*) pada tanah tipe kohesif cu

$$Qs = a \times Cu \times p \times L \quad \dots \dots \dots \quad (2.16)$$

Dimana :

a = Koefisien nilai *adhesi* antara tanah dengan tiang (0,55)

$$Cu = \text{Kohesi tanah (kN/m}^2\text{)}$$

$$= \text{N-SPT} * 2/3 * 10$$

P = Nilai Keliling pada tiang (m)

L = Nilai Panjang lapisan kedalaman tanah (m)

2.7.2. Kapasitas Dari Daya Dukung Fondasi

Kapasitas daya dukung suatu fondasi adalah kemampuan pada tanah untuk menopangnya berupa beban maksimum dari bangunan diatasnya. Daya dukung alas kuat terhadap gaya lateral dan melindungi terhadap geser yang akan segera terjadi .

2.7.2.1. Daya Dukung Lateral

Daya dukung lateral merupakan kemampuan tanah dibawah fondasi untuk menahan gaya-gaya luar yang bekerja dengan arah sejajar terhadap fondasi tersebut. Untuk mendapatkan daya dukung lateral, dapat menggunakan metode *Brooms* (1964).

a. Perhitungan Daya Dukung Lateral Metode *Mayerhoof*

Perhitungan daya dukung ujung tiang fondasi dengan menggunakan rumus dari metode *mayerhoff*, 1956, tanah non kohesif (Ismoyojati & Prananda, 2021) :

Persamaan daya Dukung di Ujung fondasi tipe (kohesif) :

Persamaan daya dukung di selimut untuk tanah tipe tidak kohesif :

Persamaan daya dukung di selimut tiang (kohesif) :

$$\text{Os} = \alpha \times \text{Cu} \times \text{P} \times \text{Li} \dots \quad (2.20)$$

Dimana :

Op = Daya Dukung Ujung Tiang (kN)

$$Nb = \frac{N1+N2}{2}$$

N1 = N- SPT 10D

N2 = N-SPT 4D

$A_p = \text{Luas Penampang (m}^2\text{)}$

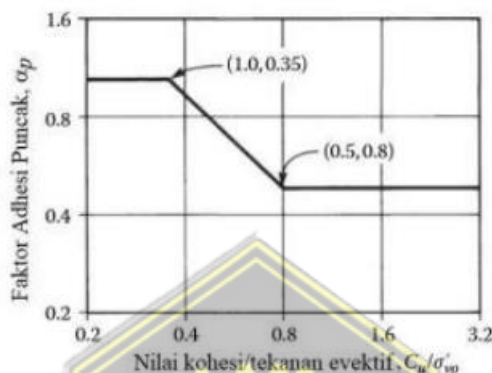
C_u = Nilai Kohesi di Tanah (kN/m^2)

α = *Adhesi* Empiris

P = Keliling di tiang (m)

Li = Tebal Lapisan di kedalaman Tanah (m)

Untuk mendapatkan faktor *adhesi* empiris, bisa dilihat pada Gambar 2.16 .



Gambar 2.16 Faktor Adhesi (Ningrum, 2022)

b. Kapasitas Dari Daya Dukung Lateral Metode *Brooms* (1964)

Untuk perhitungan kapasitas daya dukung lateral ini menggunakan metode *Brooms*.

Pada penelitian ini menggunakan jenis tanah lempung (*clay*) dan nilai-nilainya dapat dilihat pada Tabel 2.3.

Tabel 2. 3 Nilai n_h pada tanah *granuler* ($c=0$)

| Kerapatan yang relatif (D_v) | Tidak Padat | Sedang | Padat |
|--|-------------|----------|-----------|
| Interval pada nilai A | 100-300 | 300-1000 | 1000-2000 |
| Nilai A dipakai | 200 | 600 | 1500 |
| N_h , pasir lembab maupun kering (Terzaghi) (kN/m ³) | 2425 | 7275 | 19400 |
| N_h , pasir yang terendam oleh air (Terzaghi)(kN/m ³) | 1386 | 4850 | 11779 |
| Reese et al | 5300 | 16300 | 34000 |

| | | |
|---|-------------------------------------|---|
| Jenis Tanah | N _h (kN/m ³) | Sedang |
| Lempung yang terkonsolidasi Normal lunak | 166-3518 277-554 | Reese dan Matlock (1956) Davisson-Prakash (1963) |
| Lempung yang terkonsolidasi Normal organik | 111-277 111-831 | Peck dan davisson (1962) Davisson (1970) |
| Gambut | 55 27,7-111 | Davisson (1970) Wilson dan Hitls (1967) |
| <i>Loess</i> | 8033-11080 | Bowles (1968) |

1. Mengecek Kekakuan pada Tiang Fondasi Akibat Beban Lateral

Untuk mengecek kekakuan tiang fondasi yang diakibatkan oleh beban lateral maka digunakan Persamaan (2.21) dan (2.22):

$$E = 4700 \times \sqrt{fc} \quad \dots \dots \dots \quad (2.21)$$

$$I = \frac{1}{6} \pi D^4 \quad \dots \dots \dots \quad (2.22)$$

Untuk nilai dari Faktor pada Kekakuan Tanah (T) dapat menggunakan persamaan (2.23):

2. Pengecekan Untuk Keruntuhan Tanah Akibat Beban Lateral

Momen maks atau maksimum yang dibatasi dari fondasi dapat dihitung untuk menentukan apakah tanah runtuh atau tidak yang disebabkan oleh beban lateral.

Jika tanah didesak secara lateral, tanahnya tidak akan longsor

$$M_{max} = B \times \gamma \times L^3$$

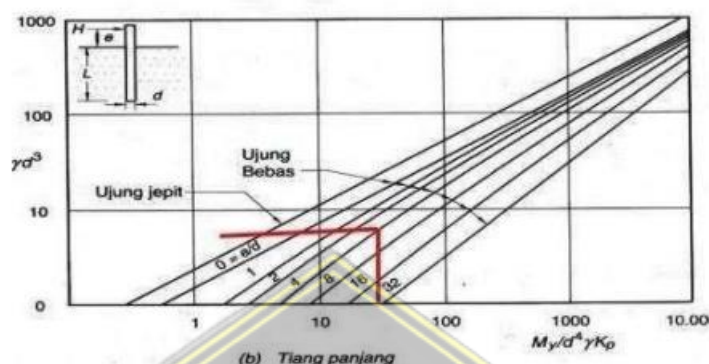
Jika $M_{max} > M_y$, tanah tersebut tidak mengalami kelongsoran maka dari itu Hu ditetapkan dari kekuatan tiang itu sendiri untuk menahan beban momen tiang.

3. Pengecekan untuk Nilai Hu

Untuk mengecek nilai H_u atau tahanan momen ultimit dapat menggunakan Persamaan (2.25) dan untuk Persamaan H ijin (2.26):

$$\text{Tahanan Momen Ultimit} = \frac{Mu}{D_{4x} v_x k_p} \dots \dots \dots (2.27)$$

Untuk mencari nilai H_u (tahanan di momen ultimit) dapat memakai *chart* pada Gambar 2.17.



Gambar 2.17 Grafik Nilai Tahanan Pada Momen Ultimit

Perhitungan pada tahanan lateral izin disajikan pada Persamaan (2.28):

2.7.3. Daya Dukung Kelompok Tiang

Kelompok tiang adalah gabungan dari beberapa tiang pancang. Berikut tahapan untuk merencanakan kelompok tiang.

2.7.3.1. Jumlah Tiang *Bored Pile*

Penentuan jumlah tiang bisa didasarkan pada tipe beban tetap yang bekerja pada fondasi.

Kapasitas dukung ijin tiang dapat dihitung menggunakan Persamaan (2.29):

$$n = \frac{P}{\rho u} \dots \quad (2.29)$$

Dengan :

P = beban tetap yang bekerja (ton)

$Q_u = \text{kapasitas dari dukung ijin tjiang (ton)}$

2.7.3.2. Jarak Antar Tiang Bored Pile

Jarak antar tiang mempengaruhi beberapa faktor salah satunya yaitu daya dukung grup tiang, maka untuk dapat mendistribusikan beban dengan baik ke dalam lapisan tanah diberikan batas minimal 3D. Menurut buku pedoman untuk mendirikan bangunan gedung

SKBI – 1987, jarak antar tiang (s) adalah $2,5D - 3D$, dengan D adalah diameter tiang. Jika menggunakan aturan pada pedoman SKBI – 1987 tidak mendapatkan efisiensi yang diinginkan maka dapat menggunakan aturan batas minimal $3D$.

2.7.3.3. Efisiensi Fondasi *Bored pile*

Efisiensi fondasi tiang kelompok bertujuan untuk mengetahui daya dukung fondasi tiang kelompok. Efisiensi dapat dihitung menggunakan metode *Converze – Labarre* sebagai berikut (2.18):

$$\text{Eg} = 1 - \frac{(m-1) \cdot n + (n-1)m}{m \cdot n} \quad \dots \dots \dots \quad (2.30)$$

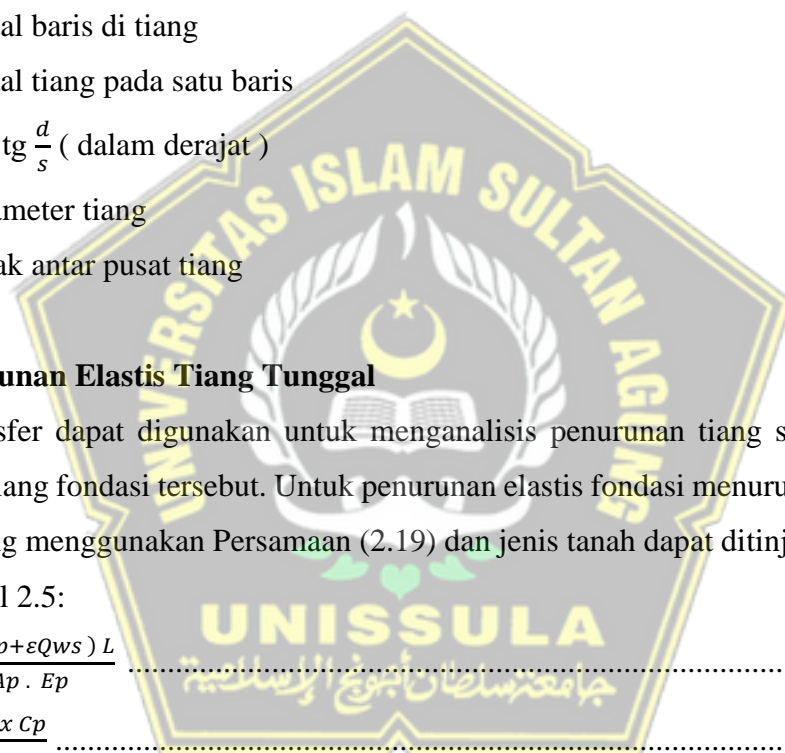
m = Total baris di tiang

n = Total tiang pada satu baris

$$\theta = \text{arc} \operatorname{tg} \frac{d}{s} \text{ (dalam derajat)}$$

d = Diameter tiang

s = Jarak antar pusat tiang



2.7.4. Penurunan Elastis Tiang Tunggal

Metode transfer dapat digunakan untuk menganalisis penurunan tiang serta distribusi beban pada tiang fondasi tersebut. Untuk penurunan elastis fondasi menurut *Vesic* (1977) dapat dihitung menggunakan Persamaan (2.19) dan jenis tanah dapat ditinjau pada Tabel 2.4 dan Tabel 2.5;

$$\text{Se (3)} = \frac{Qws \times Cs}{L \times ap} \quad \dots \dots \dots \quad (2.33)$$

Se = Total penurunan pada jenis tiang pancang (mm).

$Se(l)$ = Nilai penurunan elastis pada tiang pancang (mm).

Se(2) = Nilai penurunan tiang pancang diakibatkan beban di ujung tiang (mm).

$Se(3)$ = Penurunan tiang pancang diakibatkan beban yang didistribusikan di sepanjang kulit tiang (mm).

Tabel 2.4 Jenis Tanah

| Macam Tanah | E (kN/m ²) |
|-------------------|------------------------|
| Lempung | |
| Sangat Lunak | 300 – 3000 |
| Lunak | 200 – 4000 |
| Sedang | 4500 – 9000 |
| Keras | 7000 – 20000 |
| Berpasir | 30000 – 42500 |
| Pasir | |
| Berlanau | 5000 – 20000 |
| Tidak Padat | 10000 – 25000 |
| Padat | 50000 - 100000 |
| Pasir dan Kerikil | |
| Padat | 80000 – 200000 |
| Tidak Padat | 50000 – 140000 |
| Lanau | 2000 – 20000 |
| <i>Loose</i> | 15000 – 60000 |
| Serpih | 140000 – 1400000 |

(Sumber: Hardiyatmo, 2011)

Tabel 2.5 Nilai dari ketetapan Poisson's Ratio

| Jenis Tanah | Poisson's Ratio |
|-------------------|-----------------|
| Lempung jenuh | 0,4 – 0,5 |
| Lempung tak jenuh | 0,1 – 0,3 |
| Lempung berpasir | 0,2 – 0,3 |
| Lanau | 0,3 – 0,35 |
| Pasir | 0,1 – 0,1 |
| Batuhan | 0,1 – 0,4 |
| Umum dipakai | 0,3 – 0,4 |

(Sumber: Das, 1998)

Asal persamaan diatas, total *settlement* pada tiang fondasi tunggal bisa diketahui. Pada penurunan fondasi tiang wajib memperhatikan beberapa batasan, supaya *settlement* tidak melebihi dari nilai yang diizinkan. Untuk mengetahui besar nilai *settlement* yang diizinkan, dapat dihitung menggunakan rumus berikut:

$$S_{Ijin} = 10\% \times D$$

Dimana pada nilai D mengacu pada diameter fondasi. Nilai total *settlement* lebih kecil dari nilai yang diijinkan.

2.7.4.1. Penurunan Tiang Tunggal Menggunakan *Plaxis*

Untuk menghitung penurunan tiang tunggal pada gedung Instalasi Bedah Sentral (IBS) RSUD dr. Loekmono hadi digunakan *software Plaxis*. *Plaxis* adalah sebuah *software* elemen hingga untuk menganalisis deformasi dan stabilitas dalam rekayasa geoteknik. Prosedur pembuatan model yang mudah memungkinkan pembuatan suatu model elemen hingga dapat dilakukan dengan cepat dan lebih akurat dan mendetil.

Metode elemen hingga itu sendiri merupakan metode numerik agar mendapatkan jawaban untuk masalah yang ditemui pada analisis teknik. Peningkatan penggunaan komputer ialah sebagai alat desain untuk menghasilkan hasil yang akurat, perlu untuk para pengguna memiliki pengetahuan yang cukup agar dapat menyelesaikan permasalahan di *plaxis* terutama tentang metode elemen hingga.

2.7.4.2. Penurunan Tiang Tunggal Menggunakan *Allpile*

Untuk menghitung penurunan tiang tunggal pada gedung Instalasi Bedah Sentral (IBS) RSUD dr. Loekmono hadi *software Allpile*. *Allpile* adalah program komputer untuk menganalisis atau merencanakan fondasi pada suatu bangunan. *Allpile* mudah digunakan dan hasil perhitungannya cepat, sehingga sering digunakan. Penggunaan program *allpile* ini terdiri dari pemodelan fondasi tiang bor dengan memasukkan data Fondasi yang direncanakan dan data tanah yang diperoleh di lokasi survei.

Berbagai indikator seperti kondisi tanah, beban lateral, beban vertikal dan tinggi muka air tanah harus dipertimbangkan dalam masukan input *allpile* ini. *Output* yang dihasilkan setelah *run analysis* meliputi penurunan fondasi sesuai rencana.

2.7.4.3. Penurunan yang Diizinkan

Ada beberapa faktor yang bisa ditinjau untuk *settlement* yang diizinkan dari suatu bangunan itu sendiri. Faktor yang dimaksud yaitu jenis bangunan, tinggi bangunan, dan fungsi pada bangunan, serta seberapa besar bangunan lalu seberapa cepat penurunan

yang terjadi dan distribusinya. Kemungkinan struktur akan mampu mengatasi penurunan tergantung dengan waktu penurunan itu sendiri, jika semakin lambat penurunan maka semakin besar potensi struktur menahan beban. Oleh karena itu, pada tanah berpasir dan tanah lempung untuk kriterianya bisa berbeda.

Untuk penurunan maksimum bisa diasumsi dengan ketepatan yang sama, dan biasanya berkolrelasi antara penurunan maksimum dengan penurunan yang diizinkan. Untuk penurunan yang aman ada syaratnya sebagai berikut

Penurunan total \leq penurunan ijin SIjin = 10% x Diameter tiang

2.7.5. Penurunan Elastisitas Tiang kelompok Metode Vesic (1977)

Untuk mencari penurunan elastis pada fondasi tiang kelompok maka dapat menggunakan metode *Vesic*. Berikut adalah Persamaan metode *Vesic* (2.34).

$$Sg = Se \times \sqrt{\frac{Sg}{D}} \quad (2.34)$$

Dimana :

Sg = Penurunan fondasi pada jenis tiang kelompok (m)

Se = Total penurunan yang terjadi di tiang pancang (m)

Bg = Jarak antar tepi kelompok tjiang (m)

D = Diameter Tiang Bor (m)

2.7.6. Perhitungan *Pile Cap*

Pile cap memiliki fungsi untuk mengikat atau mengelompokan tiang pancang dan meneruskan beban dari kolom ke tiang pancang. Perhitungan *pile cap* menggunakan SNI 2847-2019. Berikut adalah tahapan perhitungan *pile cap*.

a. Geser Satu Arah

Geser satu arah adalah gaya geser yang terjadi pada satu arah pada daerah pembebangan. Berikut adalah rumus untuk mencari besar gaya geser satu arah.

$$\sigma = P/A \text{ (ton/m)} \quad (2.36)$$

G' = Daerah pembebasan untuk geser satu arah

d = Ketebalan efektif di *pile cap* (mm)
= Asumsi tebal – selimut beton(2.39)

$$\varphi V_c = 1/6 \sqrt{f_c} \cdot x \cdot b \cdot x \cdot d$$

φV_c harus lebih besar dari $V_u = (\text{oke})$

dimana:

P = Beban pada kolom (ton)

L = Panjang arah X atau Y (mm)

$$\Phi = 0,75$$

f_c' = Mutu beton (Mpa)

b = Panjang *pile cap* X atau Y (mm)

d = asumsi tebal selimut beton

b. Geser 2 arah

Geser dua arah adalah gaya geser yang timbul pada dua arah pada daerah pembebahan. Berikut adalah rumus untuk mencari besar gaya geser dua arah.

Vc diambil yang paling kecil

جامعة سلطان قابو في التعليم الإسلامي

Vc harus lebih besar dari

Vu = (oke)Dimana:

$$\sigma = P/A \text{ (ton/m)}$$

B' = Keliling kritis

$$= c + d \text{ (mm)}$$

c = Lebar kolom X atau Y (mm)

d = Tebal efektif (mm)

$bo = 4 \times B' (\text{mm})$

$\beta c = \text{Panjang kolom X / Y} = 1$

$\lambda = \text{Karena beton normal maka nilainya 1}$

$d = \text{Tebal efektif (mm)}$

$f_{c'} = \text{Mutu beton (Mpa)}$

$b = \text{Panjang pile cap X atau Y (mm)}$

$as = \text{Karena letak kolom di tengah pile cap maka nilainya 40}$

c. Perhitungan Tulangan Lentur

Lebar penampang kritis

$P = \text{Beban kolom (ton)}$

$N_s = \text{Jumlah tiang yang dipancang}$

$S = \text{Jarak antar tiang yang dipancang (m)}$

$\phi = \text{memiliki nilai 0,9}$

$b = \text{panjang pile cap X atau Y (m)}$

$d = \text{Tebal efektif dari pile cap (m)}$

$B = (\text{Lebar pile cap X atau Y} / 2) - (\text{Lebar kolom} / 2)$

$q' = \text{Berat pile cap pada penampang}$
 $= \gamma \text{ beton} \times \text{lebar pile cap} \times \text{tebal pile cap (kgm)}$

$$Mu_1 = 2 \times (P / ns \times s) - 0,5 \times q' \times B^2 (\text{kNm}) \quad \dots \dots \dots \quad (2.43)$$

$$Rn = Mu / \phi \times b \times d^2 \quad \dots \dots \dots \quad (2.44)$$

$$\rho_{perlu} = [1 - \sqrt{1 - \frac{2 \times Rn}{0,85 \times f_{c'}}}] \frac{0,85 \times f_{c'}}{f_y} \quad \dots \dots \dots \quad (2.45)$$

$$As_{perlu} = \rho \times b \times d \quad \dots \dots \dots \quad (2.46)$$

$$As_{min} = 0,0018 \times b \times \text{tebal selimut (mm}^2\text{)} \quad \dots \dots \dots \quad (2.47)$$

Antara As_{perlu} dan As_{min} pilih yang paling besar

Penulangan Tarik:

Jumlah tulangan = panjang X atau Y / jarak antar tulangan

$$AS_{tulangan} = 0,25 \times \pi \times D_{tulangan} \times \text{jumlah tulangan}$$

As tulangan harus lebih besar dari As perlu atau As min

$$\Sigma H = 0$$

$$Cc = Ts$$

$$0,85 \times f_c' \times a \times b = A_s \times f_y$$

$$c = a / \beta_1 \text{ (mm)} \dots \quad (2.49)$$

Kontrol:

nilai es harus lebih dari f_y / Es maka (oke) **baja** mencapai leleh

$\epsilon_s > 0,005$ maka bisa menggunakan $\phi = 0,9$

Mu₁ < Mu₂ (oke)

Penulangan Desak:

Tulangan desak diberikan 20% dari tulangan tarik

Jumlah tulangan = panjang X atau Y / jarak antar tulangan

$$AS_{tulangan} = 0,25 \times \pi \times D_{tulangan} \times \text{jumlah tulangan} \quad \dots \dots \dots \quad (2.53)$$

Tulangan desak harus lebih besar dari 20% tulangan tarik (oke)

Jika dimensi *pile cap* jarak X=Y (berbentuk persegi) maka bisa dihitung salahsatu saja, jika dimensi berbeda (bukan persegi) maka harus dihitung satu persatu pada geser satu arah, geser dua arah, dan penulangannya.

BAB III

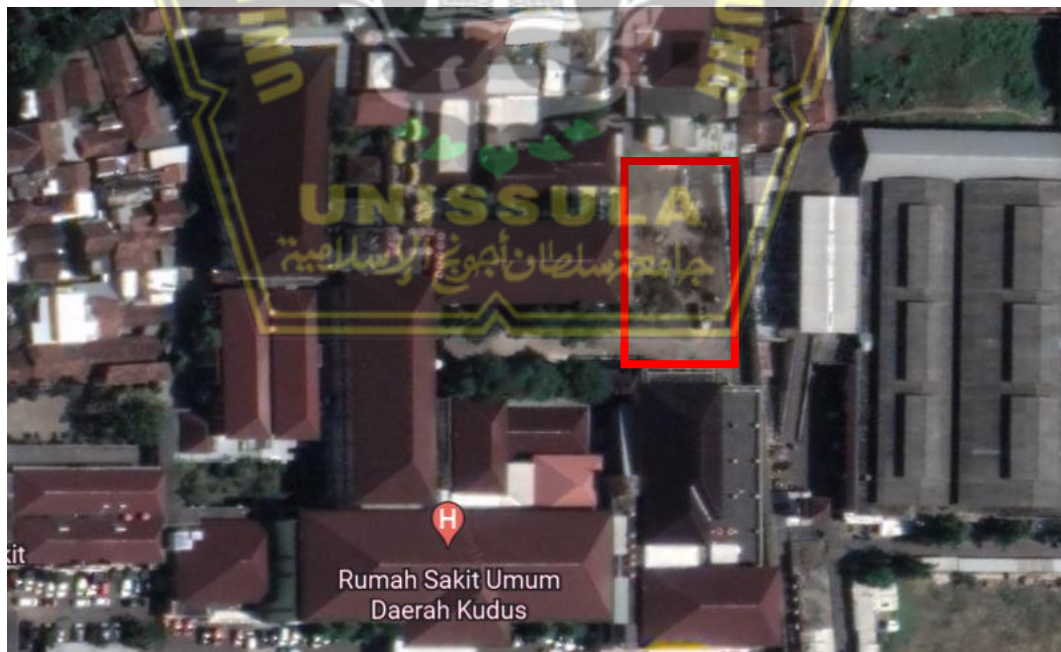
METODE PENELITIAN

3.1. Pendahuluan

Tujuan dari penelitian tugas akhir ini adalah untuk mengetahui daya dukung dan besar penurunan untuk fondasi *bored pile* pada pembangunan gedung Instalasi Bedah Sentral (IBS) RSUD dr. Loekmono Hadi. Penyusunan tugas akhir ini dibuat bertujuan untuk menganalisis beban menggunakan program SAP2000, hasil dari permodelan di *software* SAP2000 akan diperoleh beban bangunan serta reaksi-reaksi pada kolom dan balok akibat beban diatasnya. Untuk menghitung daya dukung dan konsolidasi fondasi menggunakan perhitungan manual dan juga menggunakan *software* plaxis dan allpile.

3.2. Lokasi Proyek

Proyek pembangunan gedung Instalasi Bedah Sentral RSUD dr. Loekmono Hadi terletak di Jl. dr. Lukmonohadi No. 19, Kabupaten Kudus, Jawa Tengah.



Gambar 3.1 Lokasi Proyek

3.3. Data Umum

Data umum dari proyek gedung Instalasi Bedah Sentral (IBS) RSUD dr. Loekmono Hadi Kudus adalah sebagai berikut:

1. Nama Proyek : Pembangunan Gedung Instalasi Bedah Sentral (IBS) RSUD dr. Loekmono Hadi
2. Lokasi Proyek : Jl. dr. Loekmono hadi No. 19 Kudus 59348
3. Nilai Kontrak : Rp.56.629.099.000,-
4. Konsultan MK : PT. Aretas Wicaksana KSO
CV. Ediyasa
5. Kontraktor : PT. Duta Mas Indah KSO
PT. Sembilan Sembilan Cahaya

3.4. Data Teknis

Untuk data teknis didapat dari lapangan sebagai berikut :

1. Kedalaman *spun pile* : 17 m
2. Nilai Diameter *spun pile* : 40 cm
3. Mutu beton *spun pile* : K300

3.5. Metode Pengumpulan Data

Metode pada pengumpulan data yang dipakai untuk mencapai aksud dan tujuan studi menggunakan beberapa metode antara lain :

- 1. Langkah awal** yaitu studi kepustakaan terhadap textbook dan referensi jurnal mengenai analisis daya dukung fondasi.
- 2. Langkah kedua** yaitu menentukan lokasi pengambilan data di proyek tersebut.
- 3. Langkah ketiga** yaitu mengumpulkan data yang diperlukan dari pihak penyedia jasa yaitu PT. Sembilan Sembilan Cahaya.
- 4. Langkah keempat** yaitu diskusi dan analisis mengenai data-data yang didapat dengan dosen pembimbing mengacu teori yang terkait.
- 5. Langkah kelima** yaitu analisis perhitungan, permodelan struktur dan menyimpulkan dari hasil tersebut.

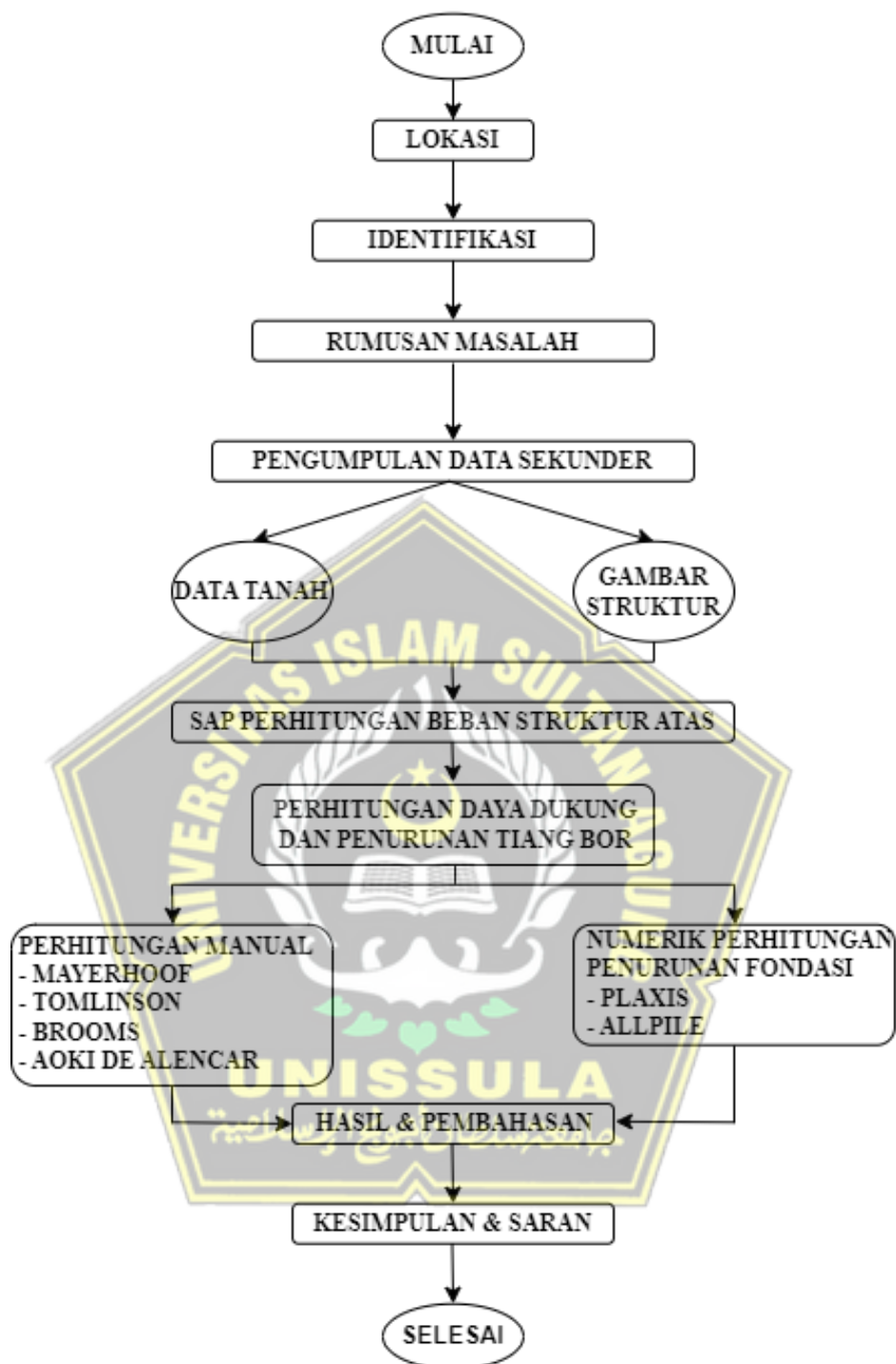
3.6. Metode Analisis Data

Dalam adanya perencanaan fondasi *bored pile* ini penyusun melakukan Langkah-langkah perhitungan sebagai berikut:

1. mengidentifikasi dari data tanah SPT bertujuan untuk mengetahui faktor keamanan (SF).
2. Perhitungan beban ultimit pada struktur gedung menggunakan software SAP2000.
3. Perhitungan secara manual dari daya dukung fondasi *bored pile* dengan digunakannya teori (metode) yang telah ada berdasarkan hasil uji *Standar Penetration Test* (SPT).
4. Menghitung dan menganalisis daya dukung ultimit dan ijin fondasi *bored pile* dengan menggunakan metode *Mayer hoff, Tomlinson, dan Reese & Wright*
5. Menghitung dan menganalisis daya dukung lateral fondasi *bored pile* dengan metode *Brooms*.
6. Menganalisis menggunakan software *plaxis* dan *allpile* dengan tujuan untuk membandingkan dengan perhitungan manual.

3.7. Metode Pengolahan Data

Metode yang digunakan dalam mengolah data yang telah terkumpul yaitu dengan analisis deskriptif yakni dilakukan dengan mengolah data dengan cara mendeskripsikan atau menggambarkan data yang telah terkumpul sebagaimana adanya. Hasil daya dukung dan konsolidasi tanah dapat diketahui dengan menguraikan data untuk kemudian disesuaikan dengan tetap mengacu pada data sekunder, langkah berikutnya menghitung besarnya kapasitas daya dukung fondasi dan langkah terakhir membandingkan menggunakan aplikasi untuk mencari efisiensi penggunaan fondasi. Dalam melakukan pengolahan atau pemrosesan data dengan menggunakan metode perhitungan dapat dilihat pada diagram alur metodologi pada gambar 3.2



Gambar 3.2 Flow Chart

BAB IV

HASIL DAN PEMBAHASAN

4.1. Tinjauan Umum

Pada perencannan fondasi sebelumnya menggunakan fondasi *spun pile* dengan ukuran 40x40 cm. Pada penelitian ini, fondasi yang digunakan adalah fodasi *bored pile* dengan diameter 50 cm.

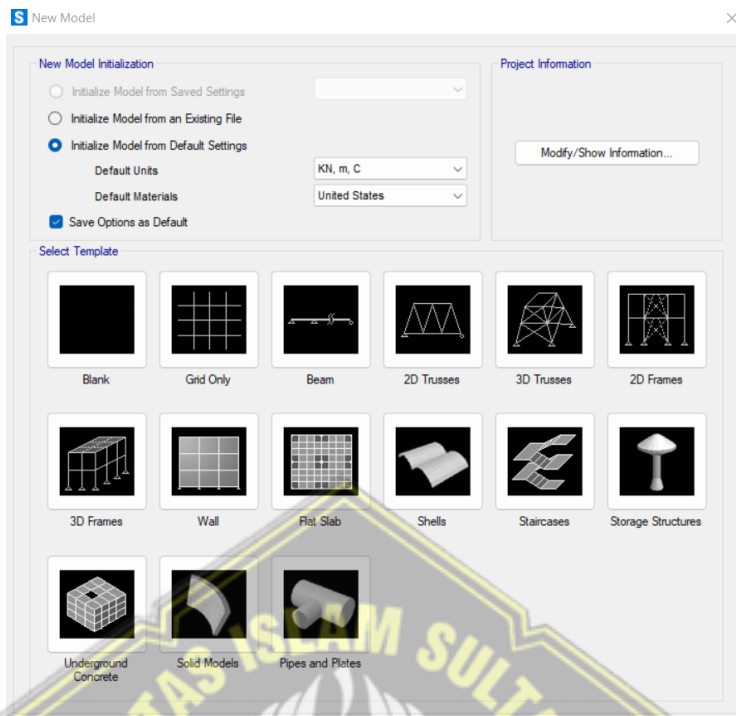
Tahap awal yang dilakukan adalah menganalisis pembebanan dengan menggunakan SAP 2000 V.23 untuk mengetahui besarnya beban yang diterima kolom. Pembebanan mengacu SNI 03-1727-2019 PPURG dan SKBI 1.3.53.1987 sebagai Pedoman Perencanaan Pembebanan untuk Rumah dan Gedung, Struktur Beton mengacu pada SNI 2847:2019 untuk Bangunan Gedung, dan beban gempa mengacu pada SNI 1726: 2019 Tata Cara Perencanaan Ketahanan Gempa untuk Struktur Bangunan Gedung dan Non Gedung.

4.2 Permodelan Struktur Atas Menggunakan *Software SAP2000 V.23*

Tahap awal permodelan yaitu membuat permodelan gedung sesuai data pada lapangan Design struktur atas menggunakan software SAP200 v.23 untuk mengetahui besar gaya yang ada pada bangunan. Yang mana gaya didapatkan untuk perhitungan selanjutnya pada perencanaan fondasi *bored pile*. Yang dimodelkan sesuai pada Gambar 4.17.

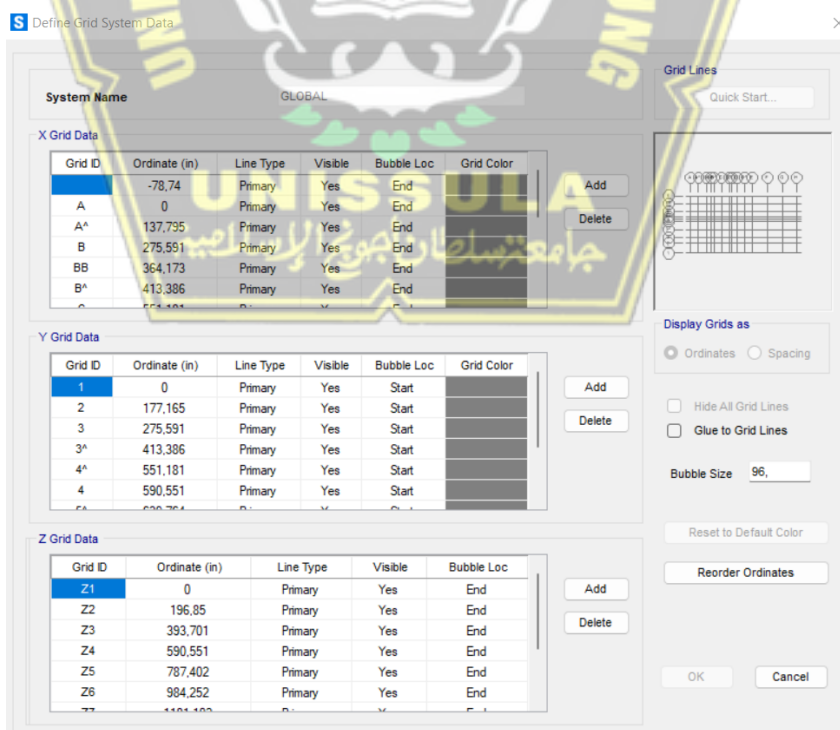
Perhitungan beban bangunan menggunakan aplikasi SAP 2000 V.23. berikut langkah-langkahnya:

- a. Model frame 3D, new model, ganti satuan menjadi kN, m, C lalu klik 3D model.



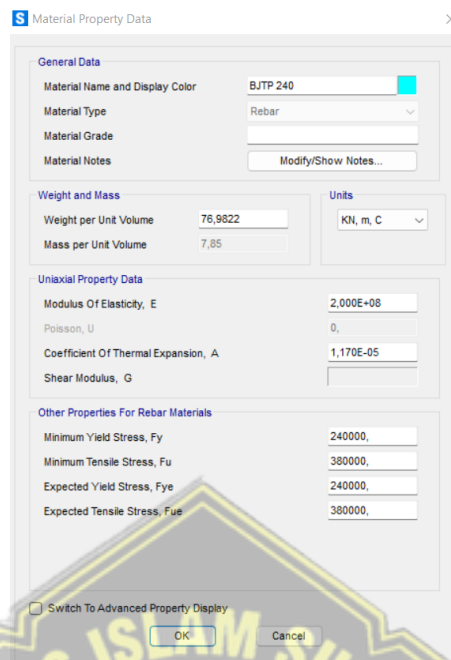
Gambar 4.1 New Model

- b. Mengatur koordinat, klik kanan, lalu klik Edit Grid data



Gambar 4.2 Edit Grid

c. Lalu klik *define – materials – modify*

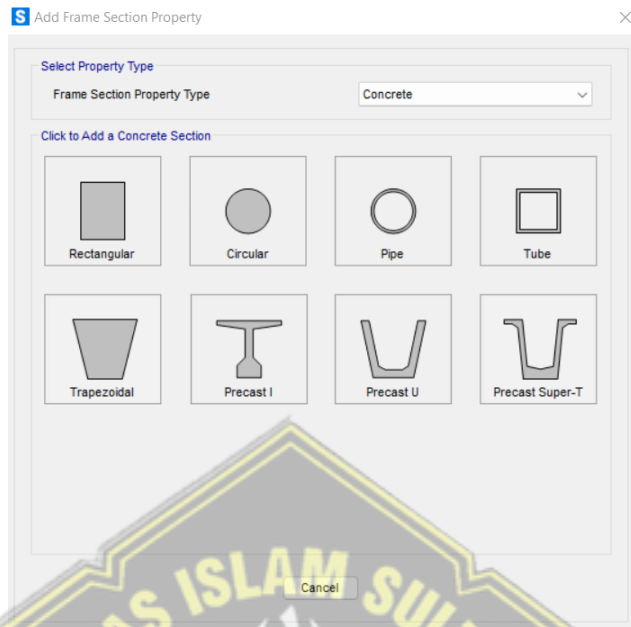


Gambar 4.3 Material Baja



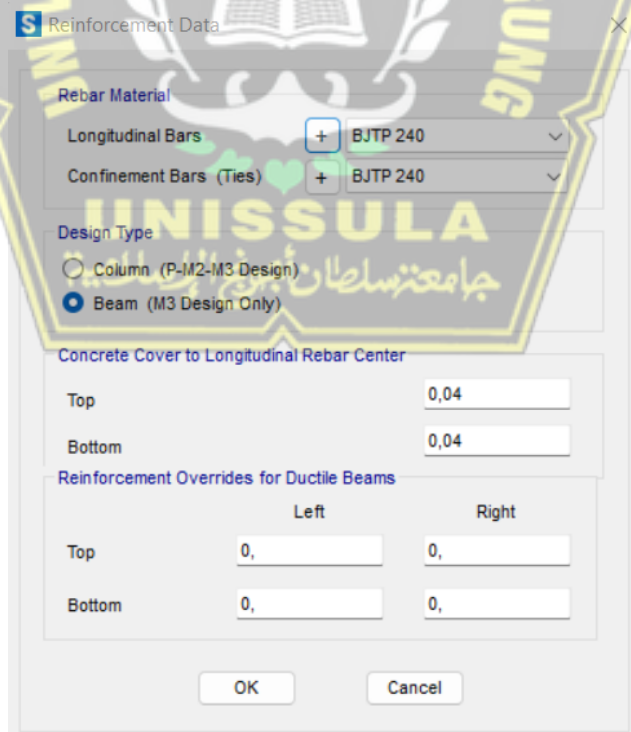
Gambar 4.4 Material Beton

- d. Klik *define – section properties – frame section* –lalu pilih bahannya karena pakai beton jadinya pilih *concrete*.

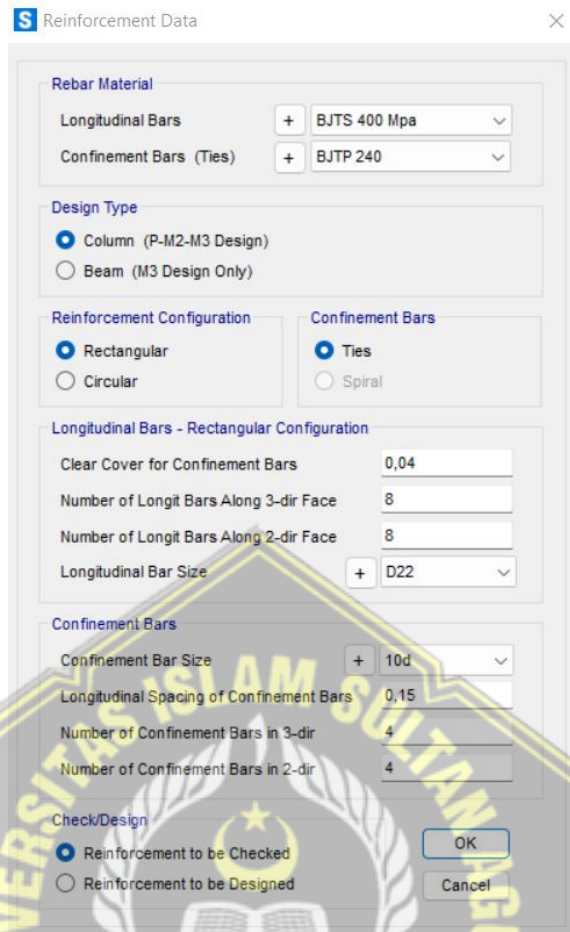


Gambar 4.5 Material Frame Section

- e. Lalu pilih bentuk sesuai kebutuhan dan klik *concrete reinforcement*

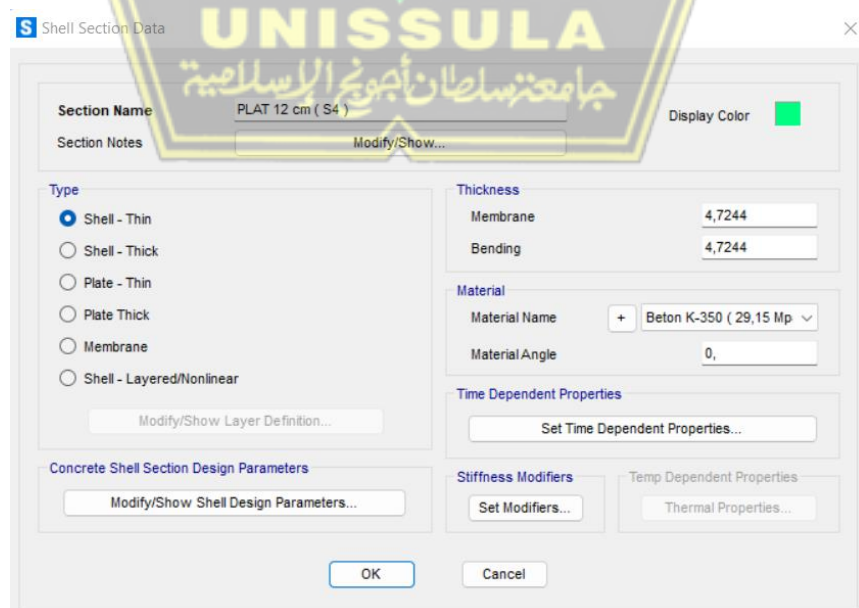


Gambar 4.6 Reinforcement Data untuk Beam



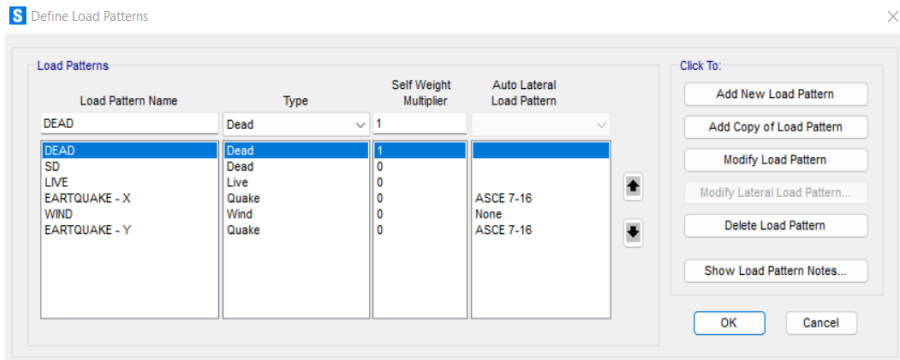
Gambar 4.7 Reinforcement Data untuk Kolom

f. Untuk plat, klik *Define – section properties – area section – modify*



Gambar 4.8 Shell Section Data

- g. Klik define – load patterns – lalu muncul dialognya, dan isi sesuai beban yang akan di input



Gambar 4.9 Load Patterns

- h. Selanjutnya membuat kombinasi beban yang akan digunakan berdasarkan SNI 2847 2019 : Pasal 5.3.1 :

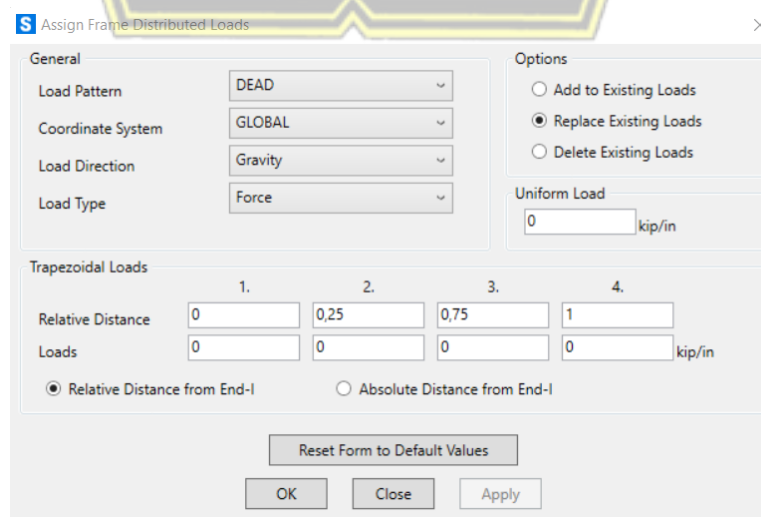
- 1.4 D + 1.4 SDL
- 1.2 D + 1.2 SDL + 1.6 LL
- 1.37 D + 1.37 SDL + 1 LL + 1 EDx + 0.3 Edy
- 1.37 D + 1.37 SDL + 1 LL + 1 EDx - 0.3 Edy
- 1.37 D + 1.37 SDL + 1 LL - 1 EDx + 0.3 Edy
- 1.37 D + 1.37 SDL + 1 LL - 1 EDx - 0.3 Edy
- 1.37 D + 1.37 SDL + 1 LL + 1 EDy + 0.3 Edx
- 1.37 D + 1.37 SDL + 1 LL + 1 EDy - 0.3 Edx
- 1.37 D + 1.37 SDL + 1 LL - 1 EDy + 0.3 Edx
- 1.37 D + 1.37 SDL + 1 LL - 1 EDy - 0.3 Edx
- 0.73 D + 0.73 SDL + 1 EDx + 0.3 Edy
- 0.73 D + 0.73 SDL + 1 EDx - 0.3 Edy
- 0.73 D + 0.73 SDL - 1 EDx + 0.3 Edy
- 0.73 D + 0.73 SDL - 1 EDx - 0.3 Edy
- 0.73 D + 0.73 SDL + 1 EDy + 0.3 Edx
- 0.73 D + 0.73 SDL + 1 EDy - 0.3 Edx
- 0.73 D + 0.73 SDL - 1 EDy + 0.3 Edx
- 0.73 D + 0.73 SDL - 1 EDy - 0.3 Edx

Keterangan :

- D = Beban Mati Sendiri Struktur
SDL = Beban Mati Tambahan Yang Didapat Pada Struktur
LL = Beban Hidup
EDx = Beban Gempa Arah x (dipilih beban gempa dinamik)
EDy = Beban Gempa Arah y (dipilih beban gempa dinamik)

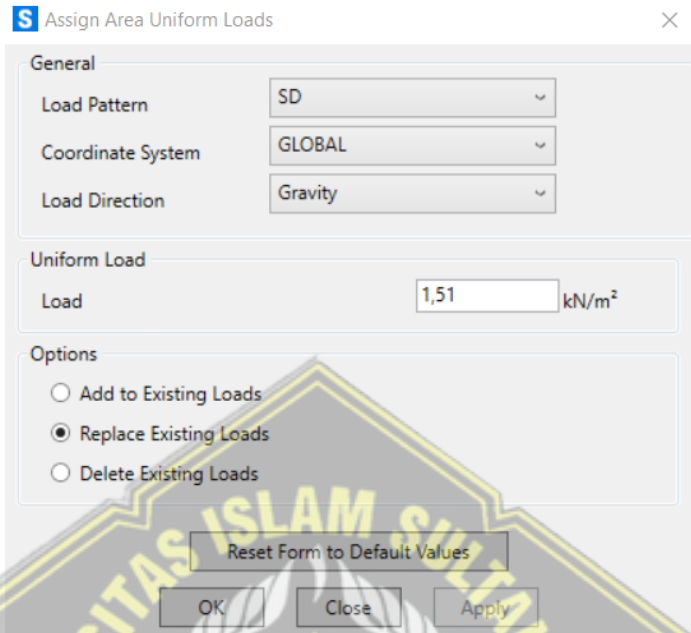


- i. Untuk pembebanan balok, seleksi dulu kemudian dibebani, klik *Assign - frameload - distributed*

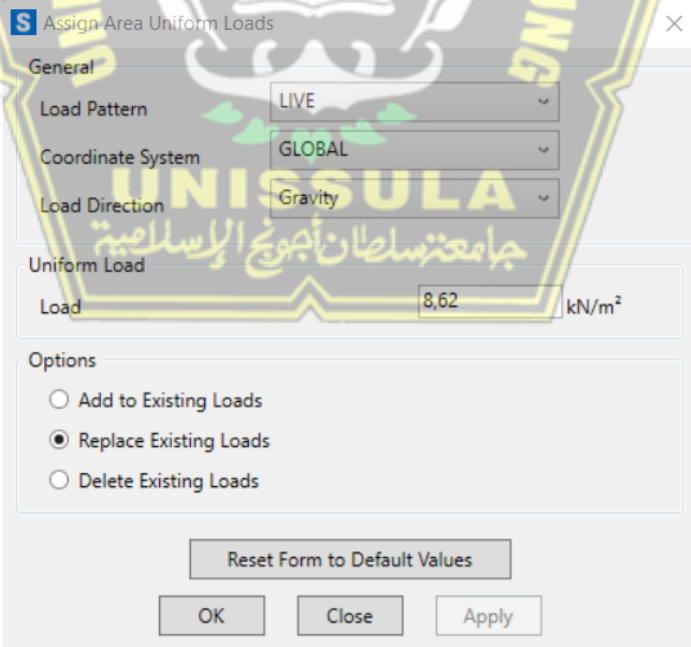


Gambar 4.11 Load Pattern Loads

- j. Untuk beban mati dan hidup tambahan pada plat, seleksi plat yang akan dibebani, klik *assign – area load – uniform to frame*

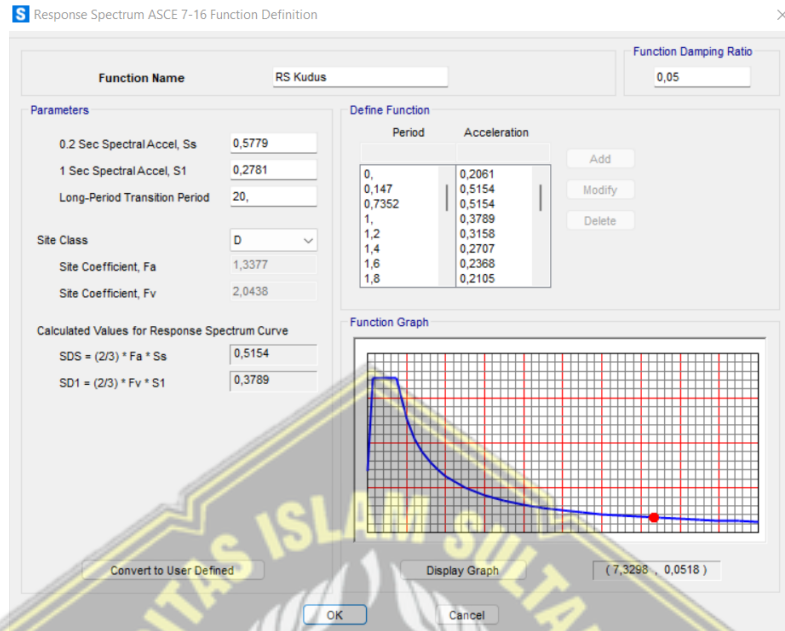


Gambar 4.12 Load Pattern Dead



Gambar 4.13 Load Pattern Live

- k. Masukkan beban gempa respon spektrum sesuai data yang diambil dari website http://puskim.pu.go.id/Aplikasi/desain_spektra_indonesia dan juga SNI 1726 : 2019. Caranya klik define – funtions – respons spectrum- pilih IBC2006



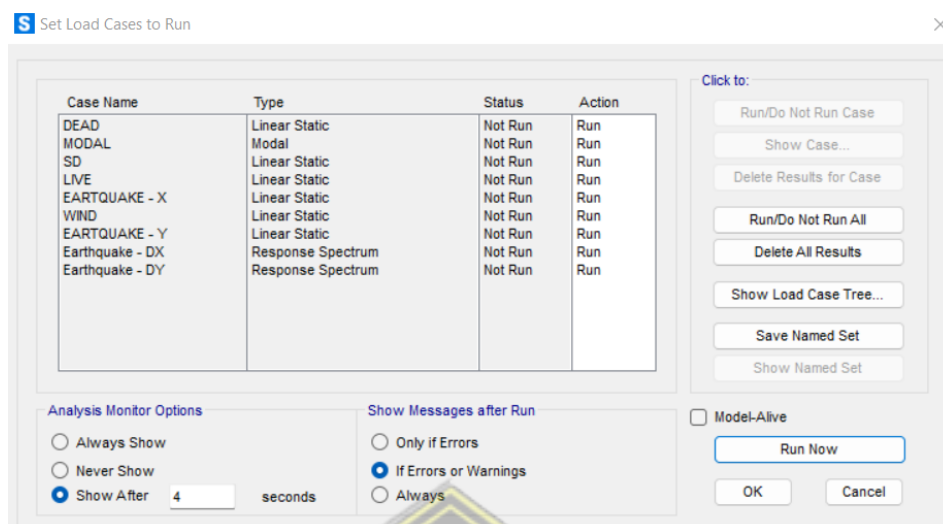
Gambar 4.14 Response Spectrum

- l. Klik *define – load cases- modify RSX dan RS*

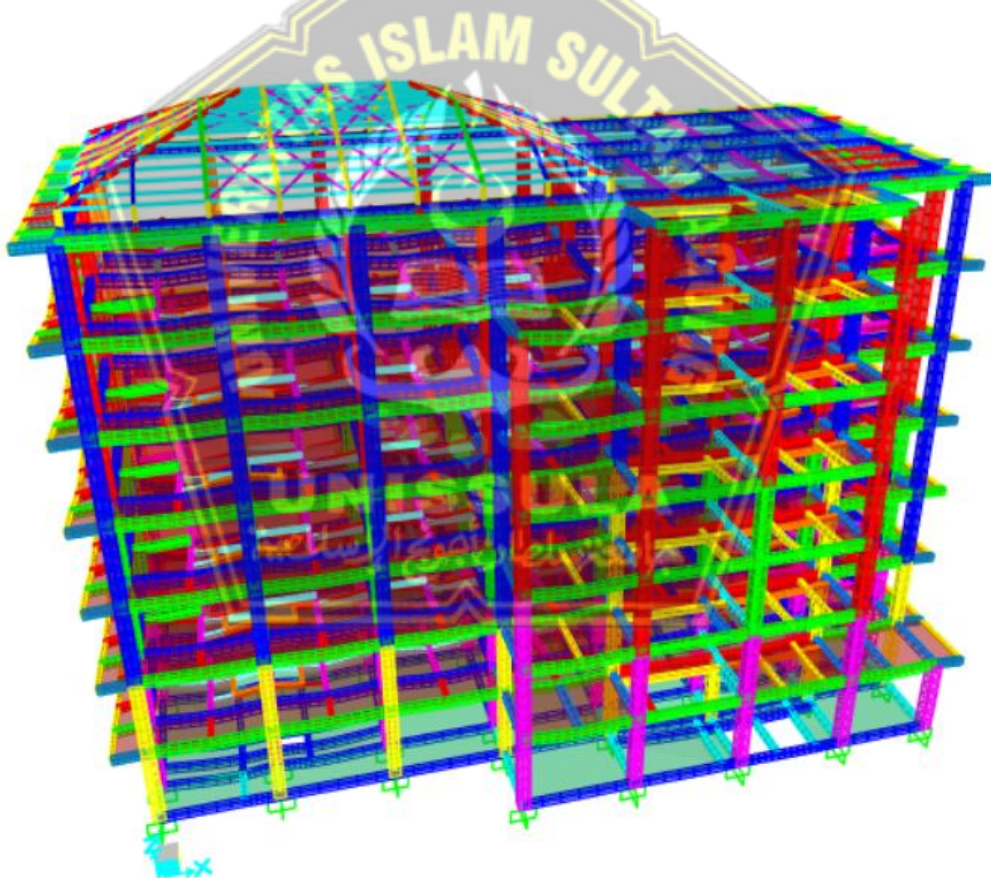
| Load Type | Load Name | Function | Scale Factor |
|-----------|-----------|----------|--------------|
| Accel | U1 | RS Kudus | 1,2263 |
| Accel | U1 | RS Kudus | 1,2263 |

Gambar 4.15 Load Case Respon Sprectrum

m. Setelah semua data di input, klik *Analyze – Run Analyze – ok*



Gambar 4.16 Run Analyze



Gambar 4.17 Hasil *Run Analyze* dan Pemodelan 3D Struktur Atas dengan SAP2000 V.23

4.2.1. Beban Mati (*Dead Load*)

Permodelan SAP 2000 v23 beban mati tentu mengacu pada SNI 03-1727-2020 dan SKBI.1.3.53.1987. Berikut adalah beban-beban yang bekerja:

$$\begin{aligned} \text{a. Berat plat lantai (125 mm)} &= \text{tebal plat} \times \gamma_{\text{beton}} \\ &= 0,125 \times 2400 \\ &= 300 \text{ kg/m}^2 \\ - \text{ Berat Plafond} &= 11 \text{ kg/m}^2 \\ - \text{ Berat pengait langit-langit} &= 7 \text{ kg/m}^2 \\ - \text{ Finishing lantai (100 mm)} &= 0,1 \times 2100 \\ &= 210 \text{ kg/m}^2 \\ - \text{ Berat total plat lantai} &= 300 + 11 + 7 + 210 \\ &= 528 \text{ kg/m}^2 \\ \text{b. Berat atap} &= 9,16 \text{ kg/m}^2 \end{aligned}$$

4.2.2. Beban Hidup (*Live Load*)

Beban hidup tentu mengacu pada SNI 1927-2020 tentang Beban Minimum untuk Perencanaan Bangunan Gedung didapatkan berat bangunan untuk gedung Rumah Sakit yaitu sebesar 879 kg/m^2 atau $(8,62 \text{ kN/m}^2)$.

Berikut adalah beban hidup yang digunakan dengan mengacu pada SNI 1927- 2020, dapat dilihat Tabel 4.1

Tabel 4.1 Beban Hidup SNI 1927 – 2020

| Hunian (Rumah Sakit) | Merata (KN/m^2) | Terpusat (KN) |
|-------------------------------|----------------------------|---------------|
| Ruang Laboratorium | 2,87 | 4,45 |
| Ruang Pasien | 1,92 | 4,45 |
| Koridor diatas Lantai Pertama | 3,83 | 4,45 |

(Sumber : SNI 1927-2020)

4.2.3. Beban Gempa

Beban gempa atau gaya gempa adalah beban pada bangunan yang terjadi akibat gempa bumi. Beban gempa mengacu pada SNI 1726:2019, faktor penyesuaian

struktur yang terdiri dari luasan gempa, percepatan tanah puncak, faktor prioritas bangunan, faktor redaman gempa, dan periode osilasi alami.

4.2.3.1. Faktor Keamanan

Berdasarkan (SNI 1726:2019) maka didapat kategori resiko I dengan faktor keamanan 1,0. Kategori risiko bangunan gedung dan non gedung dapat dilihat pada tabel 4.1 dan faktor keutamaan gempa dapat dilihat pada tabel 4. 2.

Tabel 4.2 Kategori risiko bangunan pada bangunan gedung dan non gedung untuk beban gempa

| Jenis Pemanfaatan | Kategori Risiko |
|--|-----------------|
| Gedung dan nongedung yang memiliki risiko rendah terhadap jiwa manusia pada saat terjadi kegagalan, termasuk, tapi tidak dibatasi untuk, antara lain: <ul style="list-style-type: none"> - Fasilitas pertanian, perkebunan, perternakan, dan perikanan - Fasilitas sementara - Gudang penyimpanan - Rumah jaga dan struktur kecil lainnya | I |
| Semua gedung dan struktur lain, kecuali yang termasuk dalam kategori risiko I,III,IV, termasuk, tapi tidak dibatasi untuk: <ul style="list-style-type: none"> - Perumahan - Rumah toko dan rumah kantor - Pasar - Gedung perkantoran - Gedung apartemen/ rumah susun - Pusat perbelanjaan/ mall - Bangunan industri - Fasilitas manufaktur - Pabrik | II |
| Gedung dan nongedung yang memiliki risiko tinggi terhadap jiwa manusia pada saat terjadi kegagalan, termasuk, tapi tidak dibatasi untuk: | |

| | |
|--|-----|
| <ul style="list-style-type: none"> - Bioskop - Gedung pertemuan - Stadion - Fasilitas kesehatan yang tidak memiliki unit bedah dan unit gawat darurat - Fasilitas penitipan anak - Penjara - Bangunan untuk orang jompo <p>Gedung dan nongedung, tidak termasuk kedalam kategori risiko IV, yang memiliki potensi untuk menyebabkan dampak ekonomi yang besar dan/atau gangguan massal terhadap kehidupan masyarakat sehari-hari bila terjadi kegagalan, termasuk, tapi tidak dibatasi untuk:</p> <ul style="list-style-type: none"> - Pusat pembangkit listrik biasa - Fasilitas penanganan air - Fasilitas penanganan limbah - Pusat telekomunikasi <p>Gedung dan nongedung yang tidak termasuk dalam kategori risiko IV, (termasuk, tetapi tidak dibatasi untuk fasilitas manufaktur, proses, penanganan, penyimpanan, penggunaan atau tempat pembuangan bahan bakar berbahaya, bahan kimia berbahaya, limbah berbahaya, atau bahan yang mudah meledak) yang mengandung bahan beracun atau peledak di mana jumlah kandungan bahannya melebihi nilai batas yang disyaratkan oleh instansi yang berwenang dan cukup menimbulkan bahaya bagi masyarakat jika terjadi kebocoran.</p> <p>Gedung dan nongedung yang dikategorikan sebagai fasilitas yang penting, termasuk, tetapi tidak dibatasi untuk:</p> <ul style="list-style-type: none"> - Bangunan-bangunan monumental - Gedung sekolah dan fasilitas pendidikan - Rumah ibadah | III |
|--|-----|

| | |
|--|----|
| <ul style="list-style-type: none"> - Rumah sakit dan fasilitas kesehatan lainnya yang memiliki fasilitas bedah dan unit gawat darurat - Fasilitas pemadam kebakaran, ambulans, dan kantor polisi, serta garasi kendaraan darurat - Tempat perlindungan terhadap gempa bumi, tsunami, angin badai, dan tempat perlindungan darurat lainnya - Fasilitas kesiapan darurat, komunikasi, pusat operasi dan fasilitas lainnya untuk tanggap darurat - Pusat pembangkit energi dan fasilitas publik lainnya yang dibutuhkan pada saat keadaan darurat - Struktur tambahan (termasuk menara telekomunikasi, tangki penyimpanan bahan bakar, menara pendingin, struktur stasiun listrik, tangki air pemadam kebakaran atau struktur rumah atau struktur pendukung air atau material atau peralatan pemadam kebakaran) yang disyaratkan untuk beroperasi pada saat keadaan darurat <p>Gedung dan nonggedung yang dibutuhkan untuk mempertahankan fungsi struktur bangunan lain yang masuk ke dalam kategori risiko IV.</p> | IV |
|--|----|

(Sumber : SNI 1726-2019)

UNISSULA

Tabel 4.3 Faktor keutamaan gempa

| Kategori Risiko | Faktor Keutamaan Gempa, <i>I</i> |
|-----------------|----------------------------------|
| I atau II | 1,0 |
| III | 1,25 |
| IV | 1,50 |

(Sumber : SNI 1726-2019)

Tabel 4.4 Kategori Nilai Desain Seismik Berdasarkan Nilai SDS

| Nilai SDS | Kategori Risiko | |
|--------------------|--------------------|----|
| | I atau II atau III | IV |
| SDS < 0.167 | A | A |
| 0.167 ≤ SDS ≤ 0.33 | B | C |
| 0.33 ≤ SDS ≤ 0.50 | C | D |
| 0.50 ≤ SDS | D | D |

(Sumber : SNI 1726-2019)

Tabel 4.5 Kategori Nilai Desain Seismik Berdasarkan Nilai SD1

| Nilai SD1 | Kategori Risiko | |
|---------------------|--------------------|----|
| | I atau II atau III | IV |
| SD1 < 0.067 | A | A |
| 0.067 ≤ SD1 ≤ 0.133 | B | C |
| 0.133 ≤ SD1 ≤ 0.20 | C | D |
| 0.20 ≤ SD1 | D | D |

(Sumber : SNI 1726-2019)

4.2.3.2. Zona Wilayah Gempa

Untuk mendapatkan data-data parameter gempa maupun grafik *Response spectrum* dapat dilihat pada website puskim.pu.go.id/Aplikasi.

- Parameter dasar Ss dan S1

Percepatan dari batuan dasar MCER di lokasi pembangunan gedung ini pada periode pendek sekitar (0.2 detik) dan 1 detik yang didapat berdasarkan nilai data puskim yaitu:

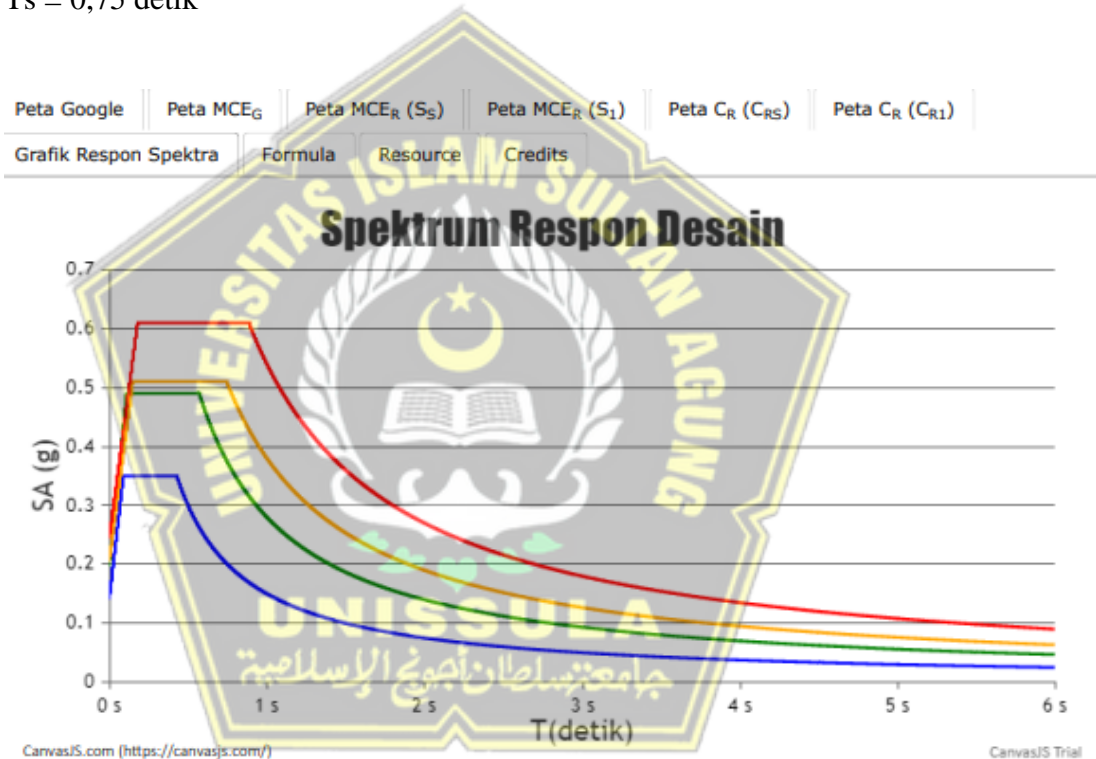
$$Ss = 0,5779 \text{ g}$$

$$S1 = 0,2781 \text{ g}$$

- Kelas lokasi (klasifikasi situs)

Profil tanah pada hasil investigasi secara geoteknik pada titik B.02 yang berlokasi di pembangunan gedung Instalasi Bedah Sentral RSUD dr. Loekmono Hadi Kudus dapat dikategorikan ke dalam situs kelas SD (tanah sedang).

- Parameter nilai respons spektra percepatan Sms dan Sm1
 $S_{ms} = 0,5779 \text{ g}$
 $S_{m1} = 0,2781 \text{ g}$
- Nilai parameter percepatan spektra desain
Parameter percepatan spektra desain untuk situs di lokasi struktur adalah: $S_{ds} = 0,5154 \text{ g}$
 $S_{d1} = 0,3789 \text{ g}$
- Percepatan spektra
 $T_o = 0,15 \text{ detik}$
 $T_s = 0,75 \text{ detik}$



Gambar 4.18 Spektral Percepatan
(Sumber: <http://puskim.pu.go.id/Aplikasi>)

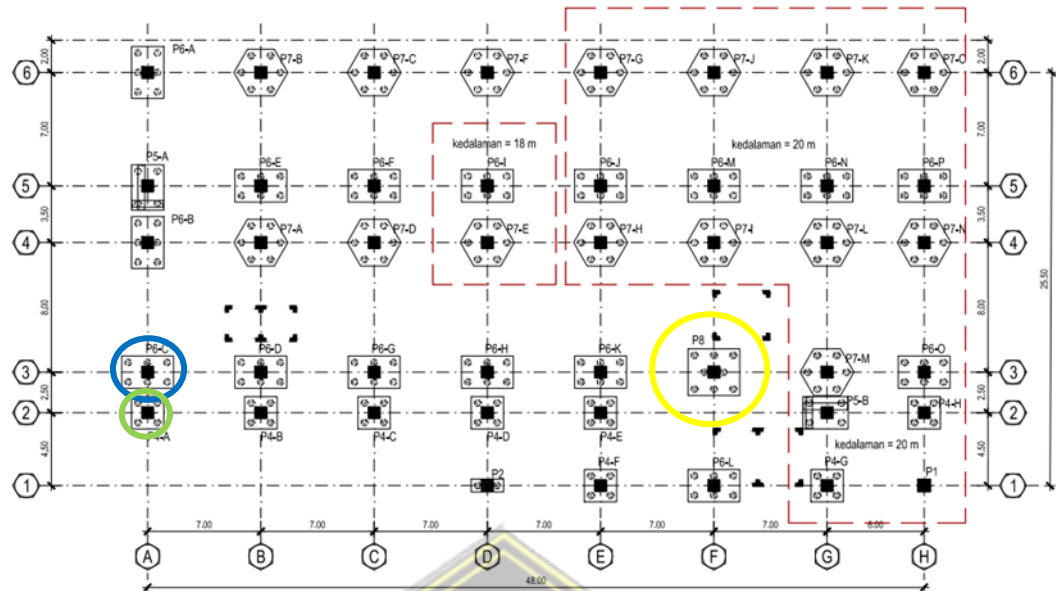
Setelah semua data pembebanan dimasukkan pada SAP2000 V.23, maka didapatkan hasil output yang dapat dilihat pada hasil seperti dibawah ini. Sedangkan joint yang digunakan dilihat pada Gambar 4.19

TABLE: Element Forces - Frames

| Frame Text | Station m | OutputCase Text | CaseType Text | P KN | V2 KN | V3 KN | T KN-m | M2 KN-m | M3 KN-m | FrameElem Text | ElemStation m |
|---------------|--------------|--------------------|------------------|-----------|----------|----------|-----------|------------|------------|-------------------|------------------|
| 129 | 5 | COMB2 | Combination | -339,244 | -6,68 | -4,173 | -0,3434 | -5,8318 | 8,0112 | 129-1 | 5 |
| 130 | 5 | COMB2 | Combination | -1996,279 | -5,214 | -0,095 | -0,1882 | -4,4014 | 7,1436 | 130-1 | 5 |
| 131 | 5 | COMB2 | Combination | -4514,693 | -6,962 | -54,543 | -0,4149 | 75,9272 | 9,9461 | 131-1 | 5 |
| 132 | 0 | COMB2 | Combination | -5015,719 | 6,304 | 60,653 | -0,3083 | 111,3708 | 10,659 | 132-1 | 0 |
| 133 | 5 | COMB2 | Combination | -4674,488 | -4,654 | -33,725 | -0,4984 | 41,7018 | 8,8333 | 133-1 | 5 |
| 134 | 0 | COMB2 | Combination | -5313,344 | 11,05 | 19,419 | -0,4577 | 44,5813 | 20,8471 | 134-1 | 0 |
| 135 | 5 | COMB2 | Combination | -1774,228 | 2,309 | -8,913 | -0,2609 | 0,6971 | -6,3307 | 135-1 | 5 |
| 139 | 5 | COMB2 | Combination | -2637,642 | 4,599 | -35,482 | -0,1015 | 43,1025 | -10,1369 | 139-1 | 5 |
| 140 | 5 | COMB2 | Combination | -2296,647 | -13,754 | -2,847 | -0,4225 | -12,5646 | 18,9452 | 140-1 | 5 |
| 141 | 5 | COMB2 | Combination | -1899,555 | 25,726 | -2,841 | -0,4943 | -14,276 | -45,4707 | 141-1 | 5 |
| 142 | 5 | COMB2 | Combination | -2870,541 | -3,62 | 5,545 | -0,133 | -14,102 | 4,4912 | 142-1 | 5 |
| 143 | 0 | COMB2 | Combination | 162,291 | -4,997 | 50,058 | -0,1523 | 100,5277 | 13,6544 | 143-1 | 0 |
| 144 | 5 | COMB2 | Combination | -3147,792 | -3,103 | 3,355 | -0,1972 | -11,766 | 3,2741 | 144-1 | 5 |
| 145 | 5 | COMB2 | Combination | -2866,151 | 9,974 | 3,519 | -0,2077 | -12,6587 | -17,9994 | 145-1 | 5 |
| 146 | 5 | COMB2 | Combination | -2236,166 | 1,133 | 0,443 | -0,1864 | -8,1767 | -3,7493 | 146-1 | 5 |
| 147 | 5 | COMB2 | Combination | -2153,442 | 0,862 | 1,037 | -0,1868 | -9,6893 | -3,4095 | 147-1 | 5 |
| 148 | 5 | COMB2 | Combination | -1824,156 | 7,826 | 0,338 | -0,213 | -9,1466 | -14,829 | 148-1 | 5 |
| 149 | 5 | COMB2 | Combination | -5341,26 | -8,275 | -52,502 | -0,3745 | 71,3611 | 12,0154 | 149-1 | 5 |
| 150 | 5 | COMB2 | Combination | -7036,415 | -1,565 | 9,145 | -0,4961 | -29,8693 | 0,9366 | 150-1 | 5 |
| 151 | 5 | COMB2 | Combination | -5769,07 | 0,793 | -45,495 | -0,4823 | 56,5918 | -3,1011 | 151-1 | 5 |
| 152 | 5 | COMB2 | Combination | -5543,593 | 3,113 | -45,545 | -0,4551 | 54,9513 | -7,0138 | 152-1 | 5 |
| 153 | 5 | COMB2 | Combination | -5277,318 | 2,512 | -46,628 | -0,439 | 55,113 | -6,1711 | 153-1 | 5 |
| 154 | 5 | COMB2 | Combination | -5045,157 | 1,142 | -45,89 | -0,406 | 52,4705 | -4,1073 | 154-1 | 5 |
| 155 | 5 | COMB2 | Combination | -4668,524 | 14,687 | -46,462 | -0,4244 | 51,7193 | -26,1796 | 155-1 | 5 |
| 156 | 0 | COMB2 | Combination | -5616,451 | 8,233 | 59,26 | -0,3721 | 110,3761 | 13,759 | 156-1 | 0 |
| 157 | 0 | COMB2 | Combination | -5858,459 | 3,369 | 47,902 | -0,3667 | 93,4569 | 5,7431 | 157-1 | 0 |
| 158 | 0 | COMB2 | Combination | -5892,957 | -0,16 | 57,614 | -0,4183 | 110,9281 | -0,1436 | 158-1 | 0 |
| 159 | 0 | COMB2 | Combination | -5646,255 | 0,00456 | 58,627 | -0,428 | 114,2947 | -0,0334 | 159-1 | 0 |
| 160 | 0 | COMB2 | Combination | -5587,088 | -1,361 | 58,655 | -0,433 | 115,9775 | -2,3848 | 160-1 | 0 |
| 161 | 0 | COMB2 | Combination | -5311,631 | -0,0094 | 50,623 | -0,4287 | 104,4924 | -0,3338 | 161-1 | 0 |
| 162 | 0 | COMB2 | Combination | -5101,578 | -13,527 | 60,015 | -0,4849 | 121,4176 | -22,3723 | 162-1 | 0 |
| 163 | 5 | COMB2 | Combination | -5287,285 | -11,305 | -33,669 | -0,4278 | 40,3031 | 19,5519 | 163-1 | 5 |
| 164 | 5 | COMB2 | Combination | -5652,495 | -0,541 | -31,957 | -0,445 | 36,0221 | 1,9607 | 164-1 | 5 |
| 165 | 5 | COMB2 | Combination | -5540,11 | -0,277 | -31,391 | -0,4532 | 33,4123 | 1,3866 | 165-1 | 5 |
| 166 | 5 | COMB2 | Combination | -5277,268 | -0,222 | -30,683 | -0,4357 | 30,5557 | 1,1466 | 166-1 | 5 |
| 167 | 5 | COMB2 | Combination | -5254,963 | -0,318 | -29,942 | -0,4125 | 27,7158 | 1,1599 | 167-1 | 5 |
| 168 | 0 | COMB2 | Combination | -5252,282 | 0,6 | -29,241 | -0,4086 | -25,0246 | 1,4786 | 168-1 | 0 |
| 169 | 0 | COMB2 | Combination | -4863,281 | -13,452 | -26,862 | -0,3974 | -19,5362 | -21,4409 | 169-1 | 0 |
| 170 | 0 | COMB2 | Combination | -6333,831 | 14,725 | 15,92 | -0,4506 | 40,1619 | 26,7358 | 170-1 | 0 |
| 171 | 0 | COMB2 | Combination | -6813,306 | 1,362 | 14,234 | -0,4543 | 38,9677 | 4,9223 | 171-1 | 0 |
| 172 | 0 | COMB2 | Combination | -6755,158 | 1,299 | 14,859 | -0,4615 | 41,6417 | 4,6841 | 172-1 | 0 |
| 173 | 0 | COMB2 | Combination | -6632,785 | 1,161 | 15,365 | -0,4527 | 44,1563 | 4,3149 | 173-1 | 0 |
| 174 | 0 | COMB2 | Combination | -6666,477 | 1,985 | 15,594 | -0,4345 | 46,1629 | 5,4923 | 174-1 | 0 |

Dari data tersebut maka dipilih beban terberat, sedang, dan yang terkecil.

- Kolom 150 dengan beban 7036,415 KN (717,51 ton)
- Kolom 155 dengan beban 4668,524 KN (476,06 ton)
- Kolom 148 dengan beban 1824,156 KN (186,01 ton)



Gambar 4.19 Denah Fondasi

Fondasi yang akan direncanakan dapat dilihat pada Gambar 4.19

Lingkaran kuning : Fondasi P8 dengan beban 717,51 ton

Lingkaran biru : Fondasi P6-C dengan beban 476,06 ton

Lingkaran hijau : Fondasi P4-A dengan beban 186,01 ton

4.3. Data Dari Perencanaan

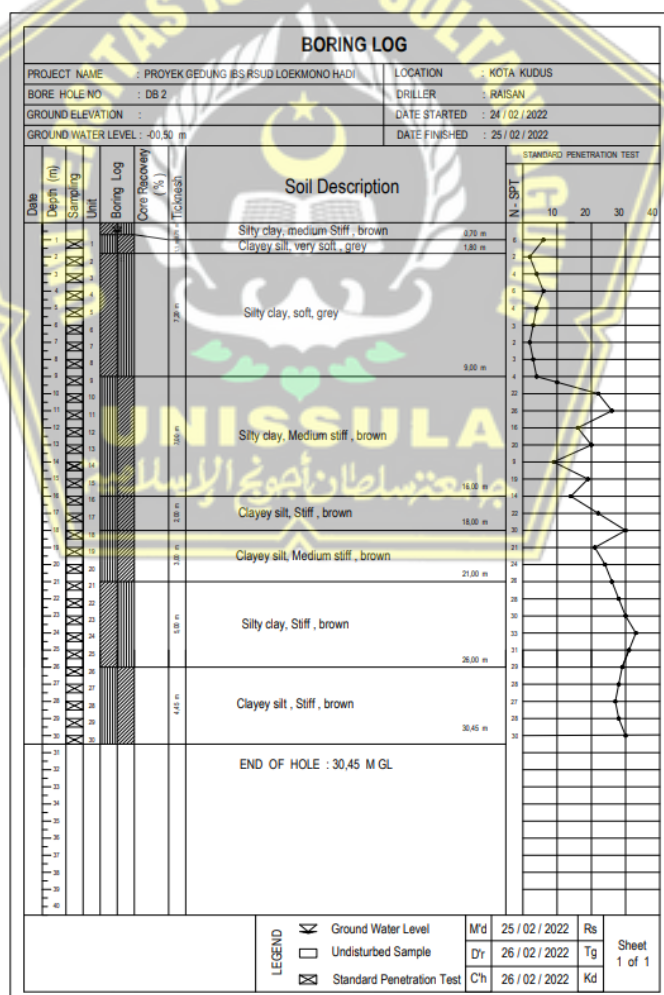
Spesifikasi umum pada data perencanaan ini adalah sebagai berikut :

1. Tinggi bangunan = 38 m
2. Panjang Bangunan = 48 m
3. Lebar Bangunan = 25,5 m
4. Jumlah Lantai = 7
5. Fungsi Bangunan = Rumah Sakit
6. Jenis Konstruksi = Beton Bertulang
7. Konstruksi Atap = Spandek
8. Struktur Bawah = Fondasi *Bored Pile*
9. Diameter *Bored Pile* = 50 cm
10. Mutu Beton = $F_c = 29,15 \text{ Mpa} = K-350$

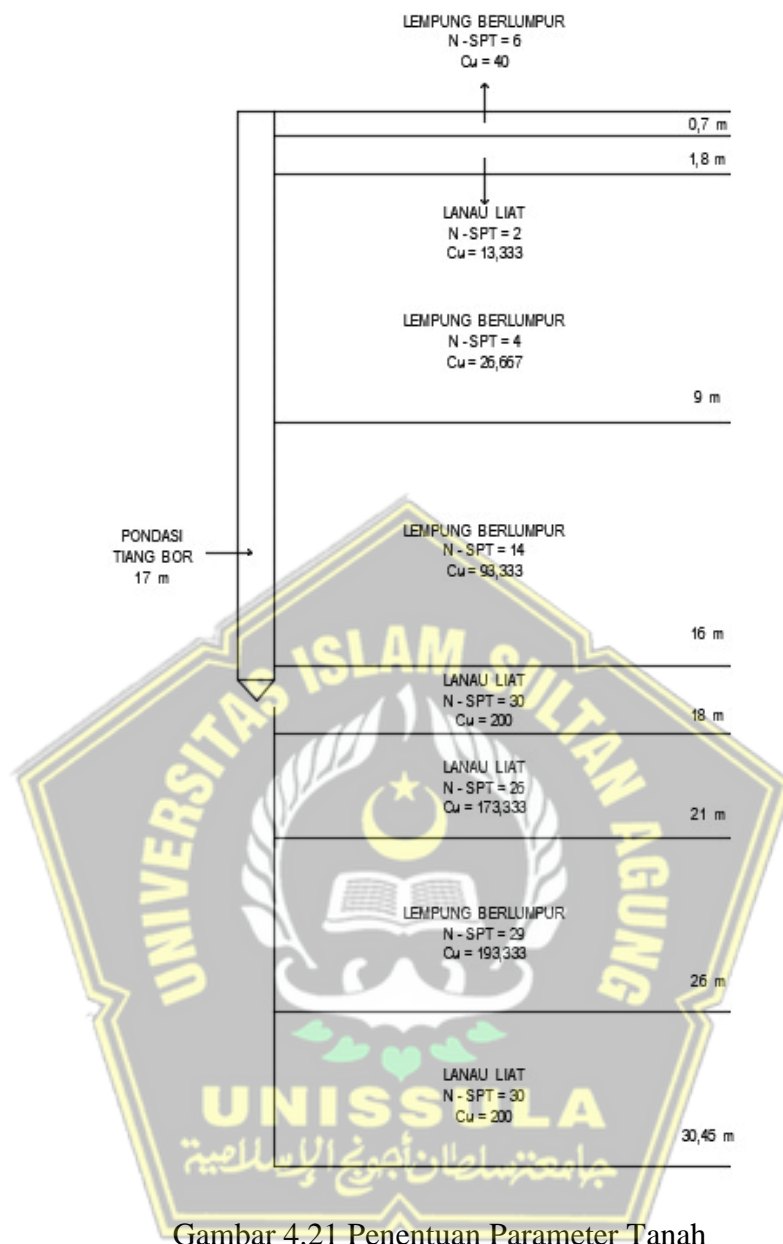
4.4. Perhitungan Kapasitas Dari Daya Dukung Aksial Fondasi *Bored Pile*

Data fondasi *bored pile* :

1. Diameter (d) = $50 \text{ cm} = 0,5 \text{ m}$
2. Kedalaman (L) = $1700 \text{ cm} = 17 \text{ m}$
3. Keliling tiang (K) = $\pi \times d$
 $= 3,14 \times 50$
 $= 157 \text{ cm} = 1,57 \text{ m}$
4. Luas selimut tiang (As)
 $= \pi \times d \times L$
 $= 3,14 \times 50 \times 1700$
 $= 266900 \text{ cm}^2 = 26,69 \text{ m}^2$
5. Luas penampang tiang (Ap)
 $= \frac{1}{4} \times \pi \times d^2$
 $= \frac{1}{4} \times 3,14 \times 50^2$
 $= 1962,5 \text{ cm}^2 = 0,19625 \text{ m}^2$



Gambar 4.20 Data Tanah



Gambar 4.21 Penentuan Parameter Tanah

4.4.1. Perhitungan Kapasitas Daya Dukung Aksial Berdasarkan Data Sondir atau *Cone Penetration Test (CPT)*

4.4.1.1. Metode Aoki de Alencar

Untuk perhitungan kapasitas daya dukung aksial berdasarkan data sondir / Cone Penetration Test (CPT) dengan metode Aoki de Alencar sebagai berikut :

- Perhitungan dari nilai kapasitas dukung ujung tiang (Q_p) pada tanah tipe kohesif kedalaman 17 meter

Perlakuan dari konus rata-rata 1,5D di atas ujung tiang dan 1,5D di bawah ujung tiang.

Tabel 4.6 Nilai dari qc didasar tiang

| No. | Kedalaman (m) | qc (kg/cm ²) |
|-------------|---------------|--------------------------|
| 1 | 16,2 | 48 |
| 2 | 16,4 | 40 |
| 3 | 16,6 | 40 |
| 4 | 16,8 | 45 |
| 5 | 17 | 47 |
| 6 | 17,2 | 47 |
| 7 | 17,4 | 60 |
| 8 | 17,6 | 57 |
| 9 | 17,8 | 85 |
| Σqc | | 469 |

Maka nilai qc rata-rata adalah :

$$qci = \frac{\Sigma qc}{n} = \frac{469}{9} = 52,111 \text{ kg/cm}^2$$

Dari persamaan (2.2), kapasitas dukung ujung persatuan luas (qp) =

$$qp = \frac{qci}{Fb} \quad (\text{Nilai } F_b \text{ dari tabel 2.1, tiang bor} = 3,5)$$

$$qp = \frac{52,111}{3,5} = 14,889 \text{ kg/cm}^2$$

Kapasitas dukung ujung tiang (Qp) pada tanah kohesif :

$$Qp = qp \times Ap$$

$$= 14,889 \times 1962,5$$

$$= 29219,444 \text{ kg/cm}^2$$

$$= 292,194 \text{ kN}$$

b. Perhitungan dari kapasitas dukung kulit (Qs) pada tanah tipe kohesif

Dari persamaan (2.3), kapasitas dukung kulit tiap satuan luas (*f*) pada kedalaman fondasi L = 17 m

qc (side) = Perlakuan konus rata-rata di masing lapisan tanah sepanjang tiang

$$qc (\text{side}) = \frac{12+8+7+5+8+65+40+38+47}{9} = 25,556 \text{ kg/cm}^2$$

$$f = qc (\text{side}) \frac{as}{Fs} \quad (\text{Nilai } F_s \text{ dan } a_s \text{ dari tabel 2.1 dan tabel 2.2})$$

$$f = 25,556 \times \frac{0,03}{7} = 0,110 \text{ kg/cm}^2$$

Kapasitas dukung kulit (Qs)

$$\begin{aligned}
 Q_s &= f \times A_s \\
 &= 0,110 \times 266900 \\
 &= 29232,4 \text{ kg} \\
 &= 292,324 \text{ kN}
 \end{aligned}$$

c. Perhitungan Dari Kapasitas Dukung Ultimit (Qu)

$$\begin{aligned}
 Q_u &= Q_p + Q_s \\
 &= 292,194 + 292,324 \\
 &= 584,519 \text{ kN}
 \end{aligned}$$

d. Perhitungan Kapasitas Dukung Ijin (Qall)

$$\begin{aligned}
 Q_{all} &= \frac{Q_u}{SF} \\
 &= \frac{584,519}{2,5} \\
 &= 233,807 \text{ kN}
 \end{aligned}$$

Untuk hasil perhitungan kapasitas daya dukung berdasarkan nilai dari data sondir / CPT dengan digunakan metode *Aoki de Alencar* dapat dilihat pada table 4.7

4.4.1.2. Metode Tomlinson

Analisa perhitungan daya dukung fondasi boredpile untuk tanah kohesif menggunakan metode *Tomlinson*, pada kedalaman 17 m

a. Perhitungan nilai kohesi tanah

$$\begin{aligned}
 C_u &= \frac{1}{20} \times q_c \\
 &= \frac{1}{20} \times 47 \\
 &= 230,456 \text{ kN}
 \end{aligned}$$

b. Perhitungan daya dukung di ujung tiang *boredpile*

$$Q_p = \frac{(N_c \times C_u) + (\gamma + D_f) \times A_p}{3}$$

Dimana :

N_c = faktor daya dukung dibawah ujung tiang bor, bernilai 9

γ = berat jenis tanah (nonkohesif), bernilai 1,4

L_i = Kedalaman tiang

A_p = luas penampang ujung tiang

$$\begin{aligned}
 Q_p &= \frac{(N_c \times C_u) + (\gamma + L_i) \times A_p}{3} \\
 &= \frac{(9 \times 230,456) + (1,4 + 17) \times 0,19625}{3} \\
 &= 692,572 \text{ kN}
 \end{aligned}$$

c. Perhitungan daya dukung selimut fondasi *boredpile*

$$Q_s = \frac{(s \times (D \times D_f) \times (\alpha \times C_u))}{5}$$

Dimana :

D = diameter tiang bor

Li = kedalaman tiang

s = faktor bentuk, untuk tiang biasa; s = 1

α = faktor adhesi, untuk tanah non kohesif; $\alpha = 0,55$

$$\begin{aligned}
 Q_s &= \frac{(s \times (D \times Li) \times (\alpha \times C_u))}{5} \\
 &= \frac{(1 \times (0,5 \times 17) \times (0,55 \times 230,456))}{5} \\
 &= 215,477 \text{ kN}
 \end{aligned}$$

d. Perhitungan daya dukung ultimit fondasi *boredpile*

$$\begin{aligned}
 Q_{ult} &= Q_p + Q_s \\
 &= 692,572 + 215,477 \\
 &= 908,049 \text{ kN}
 \end{aligned}$$

e. Perhitungan daya dukung ijin fondasi *bored pile*

$$\begin{aligned}
 Q_{all} &= \frac{Qu}{SF} \\
 &= \frac{908,049}{2,5} \\
 &= 363,220 \text{ kN}
 \end{aligned}$$

Untuk hasil perhitungan kapasitas daya dukung aksial berdasarkan data sondir / CPT dengan Metode *Tomlinson* dapat dilihat pada Tabel 4.8

4.4.2. Perhitungan Dari Kapasitas Daya Dukung Aksial Berdasarkan Hasil Nilai Standard Penetration Test (SPT)

4.4.2.1. Metode Reese and Wright

Untuk perhitungan dari kapasitas daya dukung aksial berdasarkan hasil *Standard Penetration Test* (SPT) dengan Metode *Reese and Wright* (1977) sebagai berikut :

a. Perhitungan kapasitas dukung ujung tiang (Q_p)

$$Q_p = q_p \times A_p$$

Dengan $q_p = 9 \times C_u$

$$\text{Untuk : } C_u = N - SPT \times \frac{2}{3} \times 10$$

Dimana :

Q_p = Nilai daya dukung di ujung tiang (kN)

A_p = Luas dari penampang tiang (m^2)

q_p = Nilai tahanan ujung di tiang (kN/m^2)

Untuk tanah dengan tipe kohesif pada lapisan tanah di kedalaman 17 meter berikut ini :

$$C_u = N - SPT \times \frac{2}{3} \times 10$$

$$= 22 \times \frac{2}{3} \times 10$$

$$= 146,667 \text{ kN/m}^2$$

$$q_p = 9 \times C_u$$

$$= 9 \times 146,667$$

$$= 1320 \text{ kN}$$

$$Q_p = A_p \times q_p$$

$$= 0,19625 \times 1320$$

$$= 259,05 \text{ kN}$$

b. Perhitungan dari kapasitas dukung kulit (Q_s)

Gesekan selimut tiang per satuan luas disebabkan karena jenis tanah dan parameter dari kuat geser tanah

pada tanah tipe kohesif

$$Q_s = f \times L \times p$$

$$f_{(\text{kohesif})} = \alpha \times C_u$$

Dimana :

Q_s = Nilai daya dukung di selimut tiang (kN)

f = Nilai gesekan di selimut tiang (kN/m^2)

α = Faktor adhesi

-0,32 untuk tanah tipe non-kohesif

-0,55 untuk tanah tipe kohesif

C_u = Kohesi pada tanah (kN/m^2)

Untuk tanah dengan tipe kohesif ditemukan di lapisan tanah kedalaman 17 meter berikut ini :

$$\begin{aligned} f_{(\text{kohesif})} &= \alpha \times C_u \\ &= 0,55 \times 146,667 \\ &= 80,667 \text{ kN}/\text{m}^2 \end{aligned}$$

$$\begin{aligned} Q_s &= f \times L_i \times K \\ &= 80,667 \times 17 \times 1,57 \\ &= 2152,993 \text{ kN} \end{aligned}$$

c. Perhitungan Kapasitas dukung ultimit (Q_u)

Untuk kedalaman 17 meter (kohesif)

$$\begin{aligned} Q_u &= Q_p + Q_s \\ &= 259,05 + 2152,993 \\ &= 2412,043 \text{ kN} \end{aligned}$$

d. Perhitungan Kapasitas dukung ijin (Q_{all})

Untuk kedalaman 17 meter (kohesif)

$$\begin{aligned} Q_{all} &= \frac{Q_u}{SF} \\ &= \frac{2412,043}{3} \\ &= 804,014 \text{ kN} \end{aligned}$$

Untuk hasil perhitungan daya dukung aksial berdasarkan hasil SPT dengan tanah kohesiv dan non kohesiv Metode *Reese and Wright* (1977) dapat dilihat pada Tabel 4.9 dan 4.10.

4.4.2.2. Metode *Mayerhoff*

Untuk perhitungan kapasitas dari daya dukung aksial berdasarkan hasil *Standard Penetration Test* (SPT) dengan Metode *Mayerhoff* sebagai berikut :

a. Perhitungan kapasitas dukung di ujung tiang (Q_p)

Q_p = $A_p \times C_u \times N_c$ (kohesif)

Dimana :

A_p = Nilai luas penampang di tiang (m^2)

C_u = Kohesi pada tanah (kN/m^2)

N_c = Faktor dari daya dukung tanah

Untuk lapisan tanah kedalaman 17 meter (Tipe kohesif)

$Q_p = A_p \times C_u \times N_c$ (Faktor daya dukung dari tanah untuk fondasi di tiang *bored pile*)

$$N_c = 9$$

$$Q_p = 0,19625 \times 146,667 \times 9$$

$$= 259,05 \text{ kN}$$

b. Perhitungan kapasitas dukung kulit (Q_s)

$$Q_s = \alpha \times C_u \times K \times L_i$$

Dimana :

K = Keliling di penampang tiang (m)

L_i = Tebal lapisan pada tanah ke-i (m)

Untuk lapisan tanah kedalaman 17 meter (kohesif)

$$Q_s = \alpha \times C_u \times K \times L \quad (\text{Berdasarkan persamaan, } factor adhesi \alpha = 0,55)$$

$$= 0,55 \times 146,667 \times 1,57 \times 17$$

$$= 2152,993 \text{ kN}$$

c. Perhitungan Kapasitas dukung ultimit (Q_u)

Untuk kedalaman 17 meter (kohesif)

$$Q_u = Q_p + Q_s$$

$$= 259,05 + 2152,993$$

$$= 2412,043 \text{ kN}$$

d. Perhitungan Kapasitas dukung ijin (Qall)

Untuk kedalaman 17 meter (kohesif)

$$Q_{all} = \frac{Q_u}{SF}$$

$$= \frac{2412,043}{3}$$

$$= 804,014 \text{ kN}$$

Untuk hasil perhitungan daya dukung aksial berdasarkan hasil SPT dengan tanah kohesif dan non kohesif Metode *Mayerhoff* dapat dilihat pada Tabel 4.11 dan 4.12.

Perhitungan Kapasitas Daya Dukung Aksial Berdasarkan Data Sondir atau *Cone Penetration Test (CPT)*

Tabel 4.7 Hasil Perhitungan dari Kapasitas Daya Dukung dengan Metode *Aoki de Alencar*

| L | qci | qp | Ap | As | f | Qp | Qs | Qu | Qall |
|----|--------|--------|--------|--------|-------|---------|---------|---------|---------|
| 0 | 0 | 0 | 0 | 0 | 0 | 0 | 0 | 0 | 0 |
| 1 | 11,111 | 3,175 | 1962,5 | 15700 | 0,110 | 62,302 | 17,196 | 79,497 | 31,799 |
| 2 | 6 | 1,714 | 1962,5 | 31400 | 0,110 | 33,643 | 34,391 | 68,034 | 27,214 |
| 3 | 7,667 | 2,190 | 1962,5 | 47100 | 0,110 | 42,988 | 51,587 | 94,575 | 37,830 |
| 4 | 12,444 | 3,556 | 1962,5 | 62800 | 0,110 | 69,778 | 68,782 | 138,560 | 55,424 |
| 5 | 9,333 | 2,667 | 1962,5 | 78500 | 0,110 | 52,333 | 85,978 | 138,311 | 55,324 |
| 6 | 6,333 | 1,810 | 1962,5 | 94200 | 0,110 | 35,512 | 103,173 | 138,685 | 55,474 |
| 7 | 5,556 | 1,587 | 1962,5 | 109900 | 0,110 | 31,151 | 120,369 | 151,520 | 60,608 |
| 8 | 5,556 | 1,587 | 1962,5 | 125600 | 0,110 | 31,151 | 137,564 | 168,715 | 67,486 |
| 9 | 17,222 | 4,921 | 1962,5 | 141300 | 0,110 | 96,567 | 154,760 | 251,327 | 100,531 |
| 10 | 35,889 | 10,254 | 1962,5 | 157000 | 0,110 | 201,234 | 171,955 | 373,189 | 149,276 |
| 11 | 53 | 15,143 | 1962,5 | 172700 | 0,110 | 297,179 | 189,151 | 486,329 | 194,532 |
| 12 | 56,333 | 16,095 | 1962,5 | 188400 | 0,110 | 315,869 | 206,346 | 522,215 | 208,886 |
| 13 | 37,444 | 10,698 | 1962,5 | 204100 | 0,110 | 209,956 | 223,542 | 433,498 | 173,399 |
| 14 | 27,556 | 7,873 | 1962,5 | 219800 | 0,110 | 154,508 | 240,738 | 395,245 | 158,098 |
| 15 | 34,889 | 9,968 | 1962,5 | 235500 | 0,110 | 195,627 | 257,933 | 453,560 | 181,424 |
| 16 | 36,889 | 10,540 | 1962,5 | 251200 | 0,110 | 206,841 | 275,129 | 481,970 | 192,788 |
| 17 | 52,111 | 14,889 | 1962,5 | 266900 | 0,110 | 292,194 | 292,324 | 584,519 | 233,807 |
| 18 | 66 | 18,857 | 1962,5 | 282600 | 0,110 | 370,071 | 309,520 | 679,591 | 271,836 |
| 19 | 52,667 | 15,048 | 1962,5 | 298300 | 0,110 | 295,310 | 326,715 | 622,025 | 248,810 |
| 20 | 57 | 16,286 | 1962,5 | 314000 | 0,110 | 319,607 | 343,911 | 663,518 | 265,407 |

Tabel 4.8 Hasil Perhitungan Kapasitas Daya Dukung dengan Metode Tomlinson

| L | qc | Cu (kN) | Ap | Qp (kN) | Qs (kN) | Qult (kN) | Qall (kN) |
|----|----|---------|---------|----------|---------|-----------|-----------|
| 0 | 0 | 0 | 0,19625 | 0 | 0 | 0 | 0 |
| 1 | 12 | 58,840 | 0,19625 | 176,677 | 3,236 | 179,913 | 71,965 |
| 2 | 4 | 19,613 | 0,19625 | 59,062 | 2,157 | 61,220 | 24,488 |
| 3 | 8 | 39,227 | 0,19625 | 117,968 | 6,472 | 124,440 | 49,776 |
| 4 | 12 | 58,840 | 0,19625 | 176,873 | 12,945 | 189,818 | 75,927 |
| 5 | 7 | 34,323 | 0,19625 | 103,388 | 9,439 | 112,827 | 45,131 |
| 6 | 7 | 34,323 | 0,19625 | 103,454 | 11,327 | 114,781 | 45,912 |
| 7 | 5 | 24,517 | 0,19625 | 74,099 | 9,439 | 83,538 | 33,415 |
| 8 | 5 | 24,517 | 0,19625 | 74,165 | 10,787 | 84,952 | 33,981 |
| 9 | 8 | 39,227 | 0,19625 | 118,360 | 19,417 | 137,777 | 55,111 |
| 10 | 48 | 235,360 | 0,19625 | 706,825 | 129,448 | 836,272 | 334,509 |
| 11 | 65 | 318,716 | 0,19625 | 956,960 | 192,823 | 1149,783 | 459,913 |
| 12 | 33 | 161,810 | 0,19625 | 486,306 | 106,794 | 593,100 | 237,240 |
| 13 | 40 | 196,133 | 0,19625 | 589,341 | 140,235 | 729,576 | 291,830 |
| 14 | 18 | 88,260 | 0,19625 | 265,787 | 67,960 | 333,747 | 133,499 |
| 15 | 38 | 186,326 | 0,19625 | 560,052 | 153,719 | 713,771 | 285,508 |
| 16 | 28 | 137,293 | 0,19625 | 413,018 | 120,818 | 533,835 | 213,534 |
| 17 | 47 | 230,456 | 0,19625 | 692,572 | 215,477 | 908,049 | 363,220 |
| 18 | 80 | 392,266 | 0,19625 | 1178,067 | 388,343 | 1566,410 | 626,564 |
| 19 | 45 | 220,650 | 0,19625 | 663,283 | 230,579 | 893,862 | 357,545 |
| 20 | 57 | 279,490 | 0,19625 | 839,868 | 307,438 | 1147,307 | 458,923 |

Perhitungan Kapasitas Daya Dukung Aksial Berdasarkan Hasil Standard Penetration Test (SPT)

Tabel 4.9 Hasil Dari Perhitungan Kapasitas Daya Dukung dengan Metode *Reese and Wright* (1977)

| L | N-SPT | Cu | qp | f | K | Ap | Qp | Qs | Qult | Qall |
|----|-------|---------|------|--------|------|---------|---------|----------|----------|----------|
| 0 | 0 | 0 | 0 | 0 | 1,57 | 0,19625 | 0 | 0 | 0 | 0 |
| 1 | 6 | 40 | 360 | 22 | 1,57 | 0,19625 | 70,65 | 34,54 | 105,19 | 35,063 |
| 2 | 2 | 13,333 | 120 | 7,333 | 1,57 | 0,19625 | 23,55 | 23,027 | 46,577 | 15,526 |
| 3 | 4 | 26,667 | 240 | 14,667 | 1,57 | 0,19625 | 47,1 | 69,08 | 116,18 | 38,727 |
| 4 | 6 | 40 | 360 | 22 | 1,57 | 0,19625 | 70,65 | 138,16 | 208,81 | 69,603 |
| 5 | 4 | 26,667 | 240 | 14,667 | 1,57 | 0,19625 | 47,1 | 115,133 | 162,233 | 54,078 |
| 6 | 3 | 20 | 180 | 11 | 1,57 | 0,19625 | 35,325 | 103,62 | 138,945 | 46,315 |
| 7 | 2 | 13,333 | 120 | 7,333 | 1,57 | 0,19625 | 23,55 | 80,593 | 104,143 | 34,714 |
| 8 | 3 | 20 | 180 | 11 | 1,57 | 0,19625 | 35,325 | 138,16 | 173,485 | 57,828 |
| 9 | 4 | 26,667 | 240 | 14,667 | 1,57 | 0,19625 | 47,1 | 207,24 | 254,34 | 84,78 |
| 10 | 22 | 146,667 | 1320 | 80,667 | 1,57 | 0,19625 | 259,05 | 1266,467 | 1525,517 | 508,506 |
| 11 | 26 | 173,333 | 1560 | 95,333 | 1,57 | 0,19625 | 306,15 | 1646,407 | 1952,557 | 650,852 |
| 12 | 16 | 106,667 | 960 | 58,667 | 1,57 | 0,19625 | 188,4 | 1105,28 | 1293,68 | 431,227 |
| 13 | 20 | 133,333 | 1200 | 73,333 | 1,57 | 0,19625 | 235,5 | 1496,733 | 1732,233 | 577,411 |
| 14 | 9 | 60 | 540 | 33 | 1,57 | 0,19625 | 105,975 | 725,34 | 831,315 | 277,105 |
| 15 | 19 | 126,667 | 1140 | 69,667 | 1,57 | 0,19625 | 223,725 | 1640,65 | 1864,375 | 621,458 |
| 16 | 14 | 93,333 | 840 | 51,333 | 1,57 | 0,19625 | 164,85 | 1289,493 | 1454,343 | 484,781 |
| 17 | 22 | 146,667 | 1320 | 80,667 | 1,57 | 0,19625 | 259,05 | 2152,993 | 2412,043 | 804,014 |
| 18 | 30 | 200 | 1800 | 110 | 1,57 | 0,19625 | 353,25 | 3108,6 | 3461,85 | 1153,95 |
| 19 | 21 | 140 | 1260 | 77 | 1,57 | 0,19625 | 247,275 | 2296,91 | 2544,185 | 848,062 |
| 20 | 24 | 160 | 1440 | 88 | 1,57 | 0,19625 | 282,6 | 2763,2 | 3045,8 | 1015,267 |

Tabel 4.10 Hasil Perhitungan Kapasitas Daya Dukung dengan Metode *Mayerhoff*

| L | N-SPT | Ap | Cu | K | a | Qp | Qs | Qult | Qall |
|----|-------|---------|---------|------|------|---------|----------|----------|----------|
| 0 | 0 | 0,19625 | 0 | 1,57 | 0,55 | 0 | 0 | 0 | 0 |
| 1 | 6 | 0,19625 | 40 | 1,57 | 0,55 | 70,65 | 34,54 | 105,19 | 35,063 |
| 2 | 2 | 0,19625 | 13,33 | 1,57 | 0,55 | 23,55 | 23,027 | 46,577 | 15,526 |
| 3 | 4 | 0,19625 | 26,667 | 1,57 | 0,55 | 47,1 | 69,08 | 116,18 | 38,727 |
| 4 | 6 | 0,19625 | 40 | 1,57 | 0,55 | 70,65 | 138,16 | 208,81 | 69,603 |
| 5 | 4 | 0,19625 | 26,667 | 1,57 | 0,55 | 47,1 | 115,133 | 162,233 | 54,078 |
| 6 | 3 | 0,19625 | 20 | 1,57 | 0,55 | 35,325 | 103,62 | 138,945 | 46,315 |
| 7 | 2 | 0,19625 | 13,333 | 1,57 | 0,55 | 23,55 | 80,593 | 104,143 | 34,714 |
| 8 | 3 | 0,19625 | 20 | 1,57 | 0,55 | 35,325 | 138,16 | 173,485 | 57,828 |
| 9 | 4 | 0,19625 | 26,667 | 1,57 | 0,55 | 47,1 | 207,24 | 254,34 | 84,78 |
| 10 | 22 | 0,19625 | 146,667 | 1,57 | 0,55 | 259,05 | 1266,467 | 1525,517 | 508,506 |
| 11 | 26 | 0,19625 | 173,333 | 1,57 | 0,55 | 306,15 | 1646,407 | 1952,557 | 650,852 |
| 12 | 16 | 0,19625 | 106,667 | 1,57 | 0,55 | 188,4 | 1105,28 | 1293,68 | 431,227 |
| 13 | 20 | 0,19625 | 133,333 | 1,57 | 0,55 | 235,5 | 1496,733 | 1732,233 | 577,411 |
| 14 | 9 | 0,19625 | 60 | 1,57 | 0,55 | 105,975 | 725,34 | 831,315 | 277,105 |
| 15 | 19 | 0,19625 | 126,667 | 1,57 | 0,55 | 223,725 | 1640,65 | 1864,375 | 621,458 |
| 16 | 14 | 0,19625 | 93,333 | 1,57 | 0,55 | 164,85 | 1289,493 | 1454,343 | 484,781 |
| 17 | 22 | 0,19625 | 146,667 | 1,57 | 0,55 | 259,05 | 2152,993 | 2412,043 | 804,014 |
| 18 | 30 | 0,19625 | 200 | 1,57 | 0,55 | 353,25 | 3108,6 | 3461,85 | 1153,95 |
| 19 | 21 | 0,19625 | 140 | 1,57 | 0,55 | 247,275 | 2296,91 | 2544,185 | 848,062 |
| 20 | 24 | 0,19625 | 160 | 1,57 | 0,55 | 282,6 | 2763,2 | 3045,8 | 1015,267 |

4.5 Hasil Perhitungan

Dikarenakan kedalaman fondasi tiang bor berada di kedalaman 17 meter, dan jenis tanah tersebut merupakan tanah kohesif. Maka yang di cantumkan adalah hasil perhitungan tanah kohesif dengan beberapa metode. Setelah menganalisis daya dukung aksial tanah di fondasi dengan perhitungan menggunakan metode Aoki de Alencar, Tomlinson, Reese & Wright, dan metode Meyerhof. Berikut ini adalah table hasil perhitungan maupun perbandingan yang dapat dilihat pada Tabel 4.13

Table 4.11 Hasil Perhitungan dan Perbandingan Daya Dukung Aksial Tanah

| Metode | Daya Dukung Ujung (Q _p) | Daya Dukung Selimut (Q _s) | Daya Dukung Ultimit (Q _{ult}) | Daya Dukung Ijin (Q _{all}) |
|-------------------------|-------------------------------------|---------------------------------------|---|--------------------------------------|
| <i>Aoki de Alencar</i> | 292,194 | 292,324 | 584,519 | 233,807 |
| <i>Tomlinson</i> | 692,572 | 215,477 | 908,049 | 363,220 |
| <i>Reese and Wright</i> | 259,05 | 2152,993 | 2412,043 | 804,014 |
| <i>Mayerhoff</i> | 259,05 | 2152,993 | 2412,043 | 804,014 |

Pada tabel 4.11 dapat dipilih daya dukung fondasi yang memiliki hasil nilai terkecil yang dijadikan acuan untuk perhitungan berikutnya. Hasil di nilai daya dukung fondasi yang mempunyai hasil terkecil yaitu dari perhitungan dengan menggunakan nilai CPT dengan metode *Aoki de Alencar* dengan daya dukung ujung sebesar 292,194 kN, daya dukung selimut sebesar 292,324 kN, daya dukung ultimit sebesar 584,519kN, dan daya ijin sebesar 233,807 kN

4.6. Daya Dukung Lateral

Gaya lateral adalah beban pada arah *horizontal*. Berikut metode untuk mencari beban lateral

4.6.1. Metode *Brooms 1964*

Untuk mencari beban lateral dapat menggunakan Persamaan (2.21) dan (2.22), Untuk daya dukung fondasi terhadap gaya lateral berdasarkan data tanah dapat dilihat pada Tabel 4.14 :

Tabel 4.12 Berat Jenis Tanah

| Jenis Tanah | γ_{sat} (kN/m ³) | γ_{dry} (kN/m ³) |
|-------------|-------------------------------------|-------------------------------------|
| Kerikil | 20-22 | 15-17 |
| Pasir | 18-20 | 13-16 |
| Lanau | 18-20 | 14-18 |
| Lempung | 16-22 | 14-21 |

$$\begin{aligned}\gamma &= 16 \text{ kN/m}^3 \\ K_p &= \tan^3 (45 + \frac{\phi}{2}) \\ K_p &= 3,044 \\ D &= 0,5 \text{ m} \\ L &= 17 \text{ m} \\ F_c' &= 350 \text{ kg/cm}^3 = 29,15 \text{ MPa}\end{aligned}$$

Kekakuan tiang fondasi

$$\begin{aligned}E_p &= 4700\sqrt{f_c'} \\ &= 4700\sqrt{29,15} \\ &= 25375,647 \text{ kN/m}^2 \\ I_p &= \frac{1}{64} \times \pi \times D^4 \\ &= \frac{1}{64} \times 3,14 \times 0,5^4 \\ &= 0,003\end{aligned}$$

Untuk mencari nilai kekakuan dari fondasi tiang nantinya dibutuhkan nilai η_h yang diperoleh dari Tabel 2.4 nilai – nilai η_h untuk jenis tanah tipe kohesif. Nilai η_h didapat 150 kN/m^2

Untuk factor kekakuan tanah

$$T = \left(\frac{E_p \times l_p}{\eta_h} \right)^{1,5}$$

$$T = \left(\frac{25375,647 \times 0,003}{150} \right)^{1,5}$$

$$= 0,0118$$

$$4T = 4 \times T$$

$$= 4 \times 0,0118$$

$$= 0,0473 \text{ m}$$

Dari hasil perhitungan diatas, $L > 4T$ yaitu $16 \text{ m} > 0,0473 \text{ m}$, maka tergolong fondasi yang elastis.

- Keruntuhan Tanah

$$\begin{aligned} M_{max} &= D \times \gamma \times L^3 \times K_p \\ &= 0,5 \times 16 \times 17^3 \times 3,044 \\ &= 119641,376 \end{aligned}$$

- Menentukan Tahanan Tiang Momen

$$W = \frac{l_p}{\left(\frac{d}{2}\right)} = \frac{0,003}{\frac{0,5}{2}} = 0,0123$$

- Menentukan Momen Maksimum Tiang (My)

$$f_b = 0,4 \times F_c'$$

$$= 0,4 \times 29,15$$

$$= 11,66 \text{ MPa}$$

$$= 11660 \text{ kN/m}^2$$

$$My = f_b \times W$$

$$= 11660 \times 0,0123$$

$$= 143,017 \text{ kN.m}$$

- Nilai Hu

$$\begin{aligned}
 f &= 0,82 \sqrt{\frac{Hu}{D \times K_p \times \gamma}} \\
 &= 0,82 \sqrt{\frac{Hu}{0,5 \times 3,044 \times 16}} \\
 f &= 0,166 \sqrt{Hu} \\
 Hu &= \frac{2My}{e + \frac{2f}{3}} \\
 Hu &= \frac{2 \times 143,017}{0 + (2 \times 0,166) \times \frac{\sqrt{Hu}}{3}} \\
 Hu &= \frac{2584,65}{\sqrt{Hu}} \\
 Hu &= \frac{2584,65}{Hu^{\frac{1}{2}}} \\
 Hu &= 2584,65 \times Hu^{-\frac{1}{2}} \\
 Hu \times Hu^{\frac{1}{2}} &= 2584,65 \times Hu^{-\frac{1}{2}} \times Hu^{\frac{1}{2}} \\
 Hu^{\frac{3}{2}} &= 2584,65 \times Hu^0 \\
 Hu^{\frac{3}{2}} &= 2584,65 \times 1 \\
 Hu^{\frac{3}{2}} &= 2584,65 \\
 [Hu^{\frac{3}{2}}]^{\frac{2}{3}} &= 2584,65^{\frac{2}{3}} \\
 Hu &= \sqrt[3]{(2584,65)^2} \\
 Hu &= \sqrt[3]{(6680415,62)} \\
 Hu &= 188,337 \text{ kN} \\
 Hu_{ijin} &= \frac{188,337}{SF} \\
 &= \frac{188,337}{3} \\
 &= 62,779 \text{ kN}
 \end{aligned}$$

Perhitungan pada tahanan lateral ijin adalah :

$$\begin{aligned}
 55 &= \frac{Hu}{K_p \times \gamma \times D^2} \\
 55 &= \frac{188,337}{3,044 \times 16 \times 0,5^2} \\
 Hu &= 669,68 \text{ kN}
 \end{aligned}$$

Jadi, nilai Hu > Huijin yaitu 669,68 kN > 62,779 kN. Maka nilai Hu aman.

4.7. Daya Dukung Fondasi Kelompok Tiang

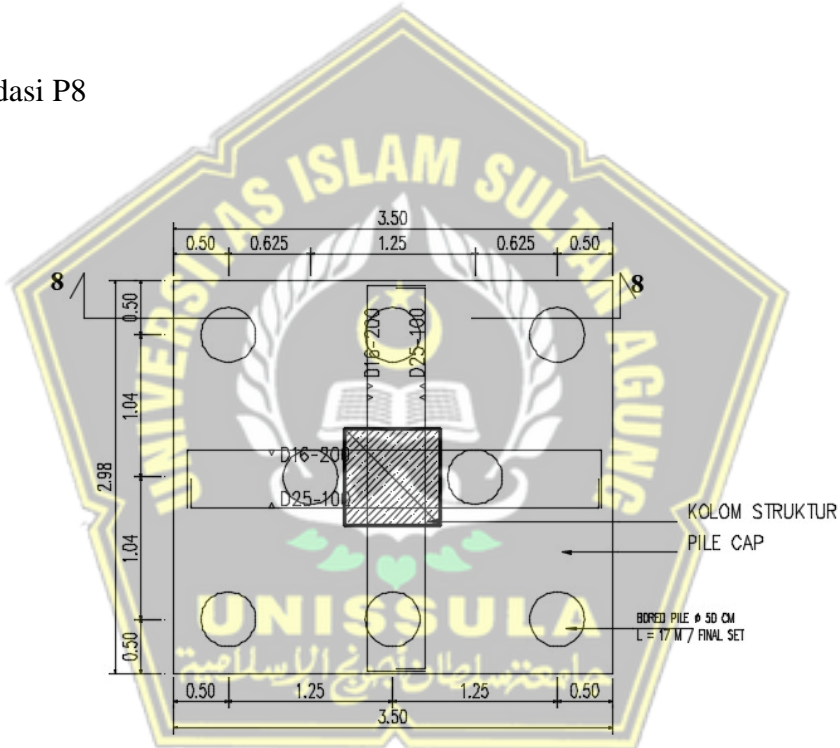
Untuk mencari daya dukung kelompok tiang dapat digunakan metode berikut.

4.7.1. Perhitungan Efisiensi Kelompok Tiang Metode *Converse-labrage*

Metode *Converse-labrage* adalah metode untuk mencari efisiensi di kelompok tiang pancang. Untuk mencari efisiensi di kelompok tiang pancang maka digunakan Persamaan (2.30).

$$Eg = 1 - \left(\frac{(m-1)n + (n-1)m}{90 \times m \times n} \right) \times \theta$$

- Fondasi P8



Gambar 4.22 Detail *Pile Cap* P8

$$P = 717,51 \text{ ton}$$

$$S = 1,25 \text{ m}$$

$$d = 0,5 \text{ m}$$

$$n_{\text{tiang}} = 8 \text{ tiang}$$

$$m = 3$$

$$n = 2$$

$$\theta = \tan^{-1} (d/s)$$

$$= \tan^{-1} (0,5/1,2)$$

$$= 21,80$$

$$Eg = 0,677$$

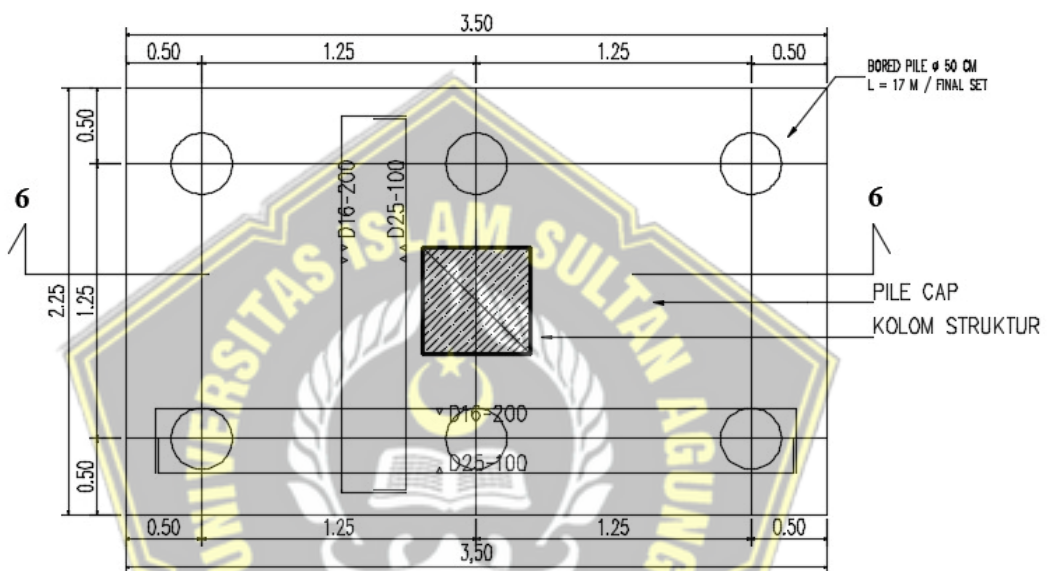
$$Q_{all \text{ group}} = n_{tiang} \times Q_{all \text{ group}} \times Eg$$

$$= 8 \times 233,807 \times 0,677$$

$$= 1266,329 \text{ ton}$$

$$Q_{all \text{ group}} > P \text{ yaitu } 1266,329 \text{ ton} > 717,51 \text{ ton}$$

- Fondasi P6-C



Gambar 4.23 Detail Pile Cap P6-C

$$P = 476,06 \text{ ton}$$

$$S = 1,25 \text{ m}$$

$$d = 0,5 \text{ m}$$

$$n_{tiang} = 6 \text{ tiang}$$

$$m = 3$$

$$n = 2$$

$$\theta = \tan^{-1} (d/s)$$

$$= \tan^{-1} (0,5/1,5)$$

$$= 21,80$$

$$Eg = 0,717$$

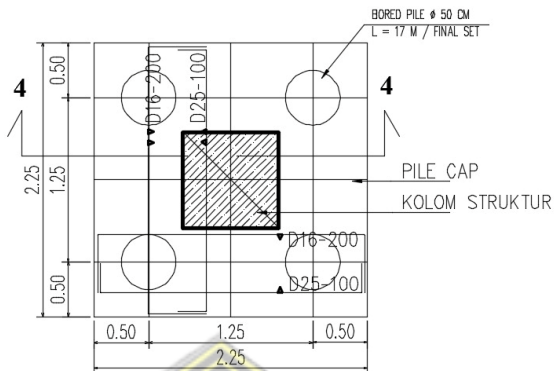
$$Q_{all \text{ group}} = n_{tiang} \times Q_{all \text{ group}} \times Eg$$

$$= 6 \times 233,807 \times 0,717$$

$$= 1006,384 \text{ ton}$$

$$Q_{\text{all (group)}} > P \text{ yaitu } 1006,384 \text{ ton} > 476,06 \text{ ton}$$

- Fondasi P4-A



Gambar 4.24 Detail *Pile Cap* P4-A

| | |
|--------------------------|--|
| P | $= 186,01 \text{ ton}$ |
| S | $= 1,25 \text{ m}$ |
| d | $= 0,5 \text{ m}$ |
| n _{tiang} | $= 4$ |
| m | $= 2$ |
| n | $= 2$ |
| θ | $= \tan^{-1} (d/s)$ |
| | $= \tan^{-1} (0,5/0,5)$ |
| | $= 21,80^\circ$ |
| Eg | $= 0,758$ |
| $Q_{\text{all (group)}}$ | $ \begin{aligned} &= n_{\text{tiang}} \times Q_{\text{all (group)}} \times Eg \\ &= 4 \times 233,807 \times 0,758 \\ &= 708,68 \text{ ton} \end{aligned} $ |

$$Q_{\text{all (group)}} > P \text{ yaitu } 708,68 \text{ ton} > 186,01 \text{ ton}$$

Table 4.13 Hasil Dari Setiap Tipe Fondasi

| Tipe Fondasi | m | n | s | D | Eg | n tiang | Q _{all} (single) | Q _{allowed} (group) | Beban Kolom |
|--------------|---|---|------|-----|-------|---------|---------------------------|------------------------------|-------------|
| P8 | 3 | 2 | 1,25 | 0,5 | 0,677 | 8 | 233,807 | 1266,329 | 717,510 |

| | | | | | | | | | |
|------|---|---|------|-----|-------|---|---------|----------|--------|
| P6-C | 3 | 2 | 1,25 | 0,5 | 0,717 | 6 | 233,807 | 1006,384 | 476,06 |
| P4-A | 2 | 2 | 1,25 | 0,5 | 0,758 | 4 | 233,807 | 708,68 | 186,01 |

4.8. Penurunan Elastis Fondasi Tiang Tunggal Menggunakan Metode Vesic (1977)

Untuk mencari penurunan elastis tiang tunggal maka dapat menggunakan metode *vesic*. Berikut persamaan (2.30) untuk mencari penurunan elastis tiangtunggal.

$$Se = Se(1) + Se(2) + Se(3)$$

Nilai $Se(1)$ diperoleh dari Persamaan (2.31):

$$Se(1) = \frac{(Qwp + \xi \times Qwp)L}{Ap \times Ep}$$

Nilai $Se(2)$ diperoleh dari Persamaan (2.32):

$$Se(2) = \frac{(Qwp \times Cp)}{Dqp}$$

Nilai $Se(3)$ diperoleh dari Persamaan (2.33):

$$Se(3) = \frac{Qws \times Cs}{L \times qp}$$

Kapasitas dukung fondasi

$$Qp = 292,194 \text{ ton}$$

$$\begin{aligned} Qwp &= 292,194 / 4 \\ &= 73,0485 \text{ ton} \end{aligned}$$

$$Qs = 292,324 \text{ ton}$$

$$\begin{aligned} Qws &= 292,324 / 4 \\ &= 73,081 \end{aligned}$$

$$\xi = 0,67 \text{ (Faktor Empirik)}$$

$$L = 17$$

$$D = 0,5 \text{ m}$$

$$\begin{aligned} Ap &= 0,25 \times \pi \times D^2 \\ &= 0,25 \times 3,14 \times 0,5^2 \\ &= 0,19625 \text{ m}^2 \end{aligned}$$

$$\begin{aligned}
E_p &= 2,1 \times 10^6 \\
C_p &= 0,03 \text{ (koefisien empiric)} \\
C_s &= (0,93 + 0,16 \sqrt{L/D}) \times C_p \\
&= (0,93 + 0,16 \sqrt{17}/0,5) \times 0,03 \\
&= 0,056\% \\
q_p &= \frac{Q_p}{A_p} \\
&= \frac{292,194}{0,19625} = 1488,886 \text{ (tahanan ultimit ujung tiang)}
\end{aligned}$$

Elastisitas tiang tunggal :

$$\begin{aligned}
Se(1) &= \frac{(Q_w p + \xi \times Q_w p)L}{A_p \times E_p} \\
&= \frac{(73,0485 + 0,67 \times 73,0485)17}{0,19625 \times 2,1 \times 10^6} \\
&= 0,00096058 \\
Se(2) &= \frac{(Q_w p \times C_p)}{D \times q_p} \\
&= \frac{(73,0485 \times 0,03)}{0,5 \times 1488,8866} \\
&= 0,002944 \\
Se(3) &= \frac{Q_w s \times C_s}{L \times q_p} \\
&= \frac{129,525 \times 0,055}{17 \times 1488,8866} \\
&= 0,000161296 \\
Se &= 0,0002792 + 0,002944 + 0,000161296 \\
&= 0,00340 \text{ m} \\
&= 3,40 \text{ mm} \\
Sijin &= 10\% \times D
\end{aligned}$$

$$= (10/100) \times 0,5$$

$$= 0,05 \text{ m}$$

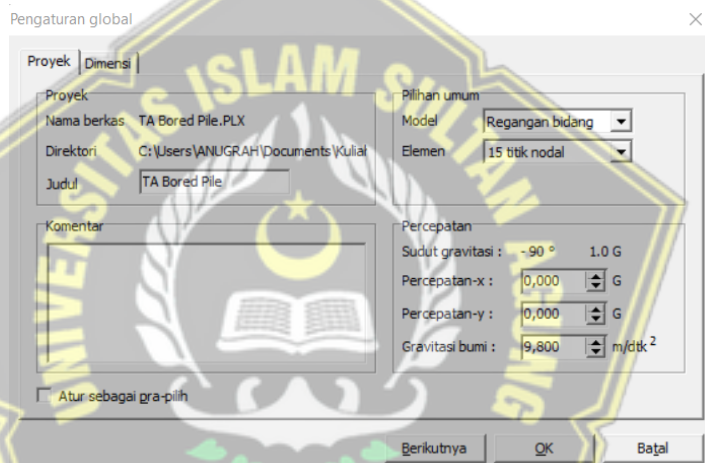
$$= 50 \text{ mm}$$

Syarat yang diijinkan $\text{Se} < \text{Sjin}$ yaitu $3,40 \text{ mm} < 50 \text{ mm}$ maka aman (OKE)

4.9. Penurunan Fondasi Tiang Tunggal Menggunakan Program *Plaxis*

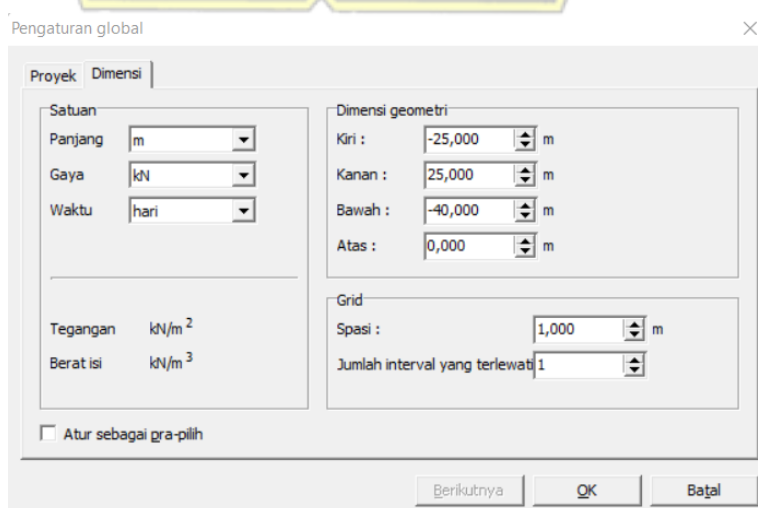
Berikut langkah-langkah permodelan pada fondasi P8 dengan menggunakan *software Plaxis V 8.6*

1. Tahapan pertama input data menggunakan *software PLAXIS V 8.6* dengan menentukan judul dan satuan unakan, dapa dilihat di Gambar 4.25



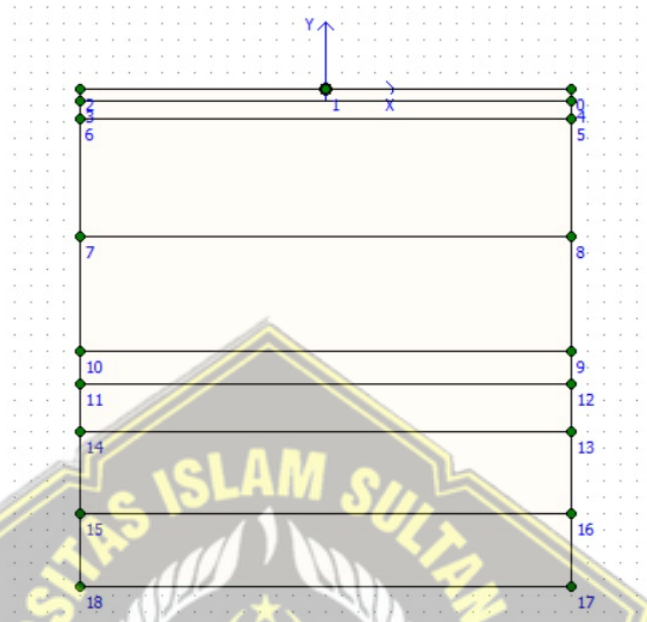
Gambar 4.25 General Setting

2. Lalu input data dimensi sesuai dengan fondasi rencana, terdapat pada Gambar 4.26



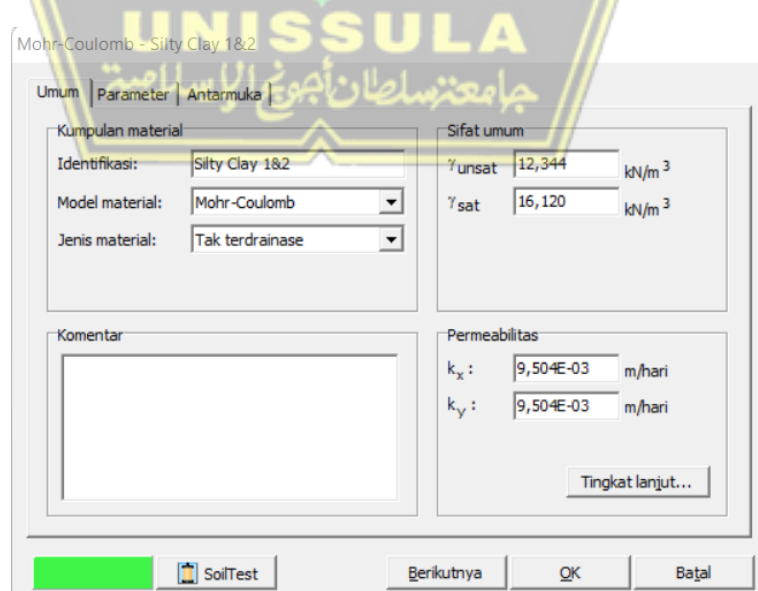
Gambar 4.26 General Setting

3. Kemudian pada tahap selanjutnya klik  untuk mengatur pemodelan kontur, terdapat pada Gambar 4.27



Gambar 4.27 Pemodelan Kontur Tanah

4. Klik  untuk menentukan material tanah, terdapat pada Gambar 4.28 hingga Gambar 4.30



Gambar 4.28 Data Umum

Mohr-Coulomb - Silty Clay 1&2

| | | |
|--|------------------|------------------|
| Umum | Parameter | Antarmuka |
| Kekakuan E_{ref} : 4,000E+04 kN/m ² v (nu): 0,300 | | |
| Kekuatan c_{ref} : 10,000 kN/m ² ϕ (phi): 25,000 ° | | |
| Alternatif G_{ref} : 1,538E+04 kN/m ² E_{oed} : 5,385E+04 kN/m ² | | |
| Kecepatan V_s : 110,500 m/dtk | | |
| V_p : 206,800 m/dtk | | |
| Tingkat lanjut... | | |
| <input type="button" value="SoilTest"/> <input type="button" value="Berikutnya"/> <input type="button" value="OK"/> <input type="button" value="Batal"/> | | |

4.29 Mohr Coloumb

Mohr-Coulomb - Silty Clay 1&2

| | | |
|--|------------------|------------------|
| Umum | Parameter | Antarmuka |
| Kekuatan <input checked="" type="radio"/> Kaku | | |
| <input type="radio"/> Manual | | |
| R_{inter} : 1,000 | | |
| Tebal antarmuka sebenarnya δ_{inter} : 0,000 | | |
| <input type="button" value="SoilTest"/> <input type="button" value="Berikutnya"/> <input type="button" value="OK"/> <input type="button" value="Batal"/> | | |

Gambar 4.30 Mohr Coloumb

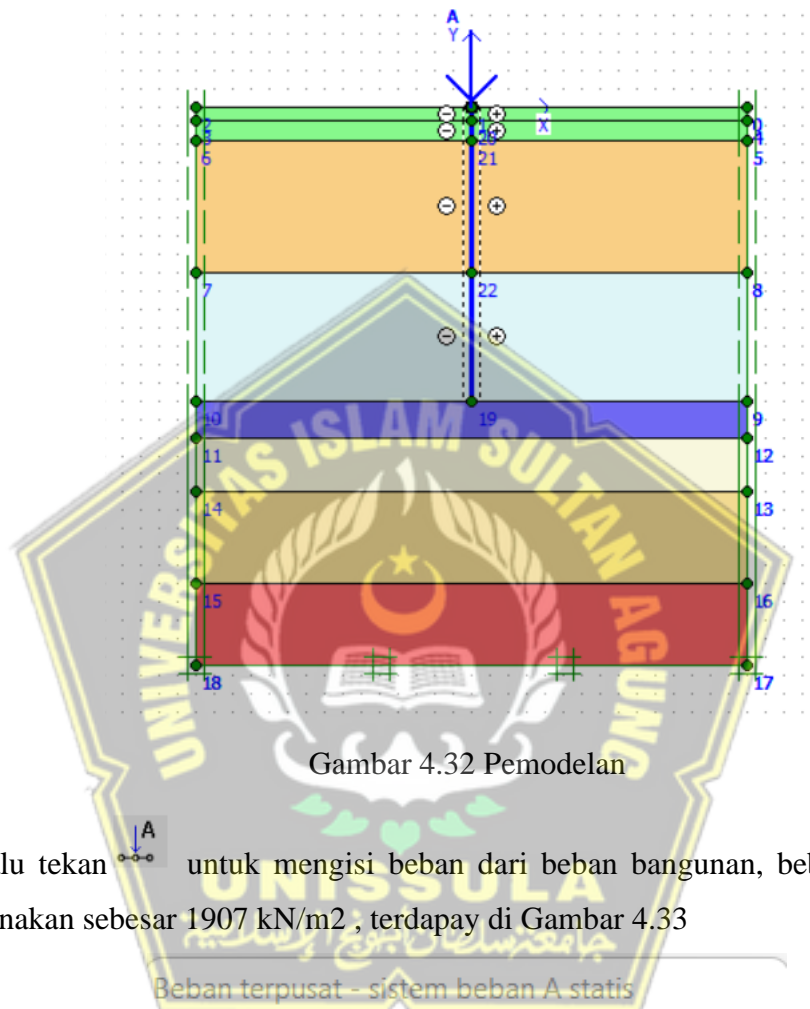
5. Setelah input data material tanah, tahap selanjutnya input data material fondasi sesuai dengan yang direncanakan, sesuai Gambar 4.31

Sifat pelat

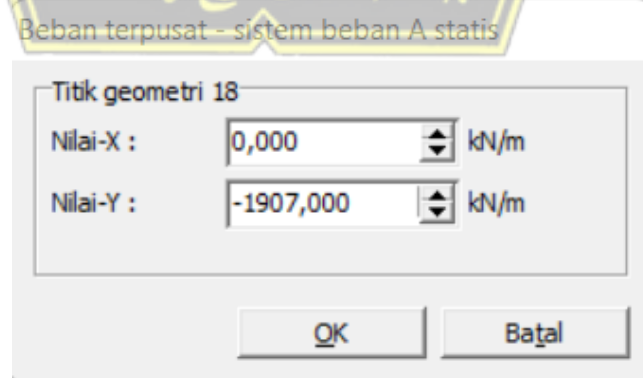
| | | | |
|---|--|---|--|
| Kumpulan material Identifikasi: BORED PILE | | Sifat-sifat EA : 4,597E+06 kN/m | |
| Jenis material: Elastis | | EI : 1,759E+09 kNm ² /m | |
| Komentar <div style="border: 1px solid black; height: 100px; width: 100%;"></div> | | d : 67,762 m | |
| | | w : 7,000 kN/m/m | |
| | | v : 0,300 | |
| | | M_p : 1,000E+15 kNm/m | |
| | | N_p : 1,000E+15 kN/m | |
| | | α Rayleigh: 0,000 | |
| | | β Rayleigh: 0,000 | |
| <input type="button" value="OK"/> <input type="button" value="Batal"/> | | | |

Gambar 4.31 Data Material Fondasi

6. Kemudian klik  untuk menentukan fondasi *bored pile* yang sudah ditentukan. Setelah itu klik  untuk mengaktifkan tekanan positif dan negatif di daerah sekeliling fondasi, terdapat di Gambar 4.32

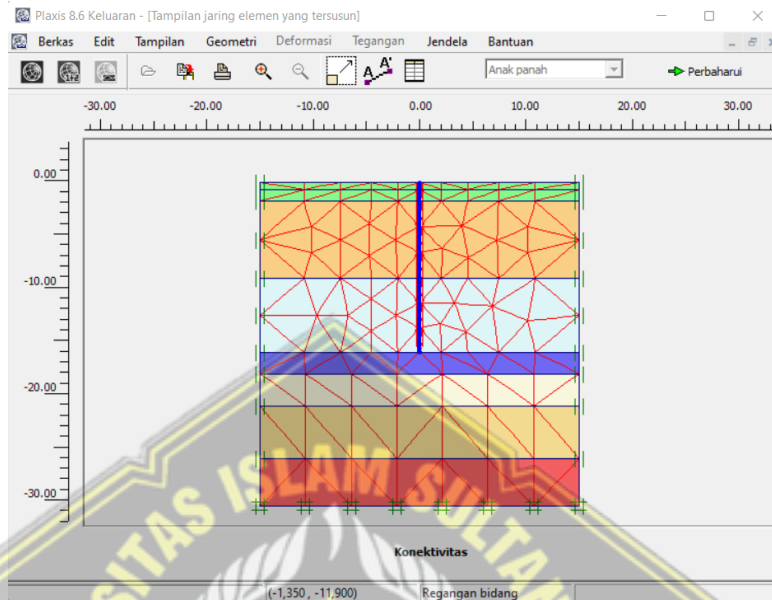


7. Lalu tekan  untuk mengisi beban dari beban bangunan, beban yang digunakan sebesar 1907 kN/m², terdapat di Gambar 4.33

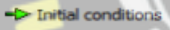


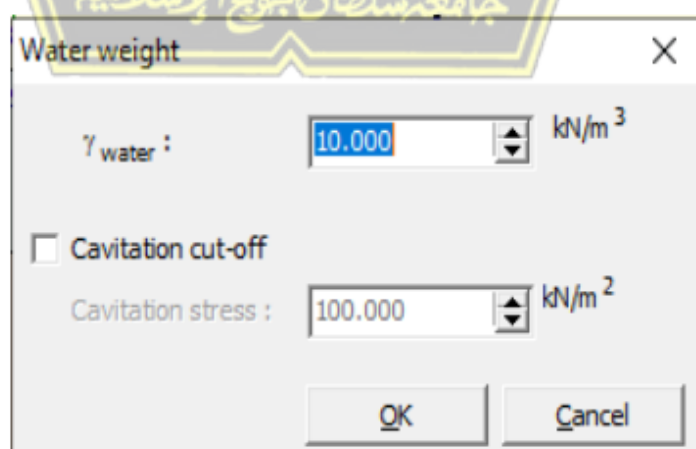
Gambar 4.33 Input Pembebanan

8. Klik  untuk mengetahui susunan jaringan antara elemen, sesuai pada Gambar 4.34

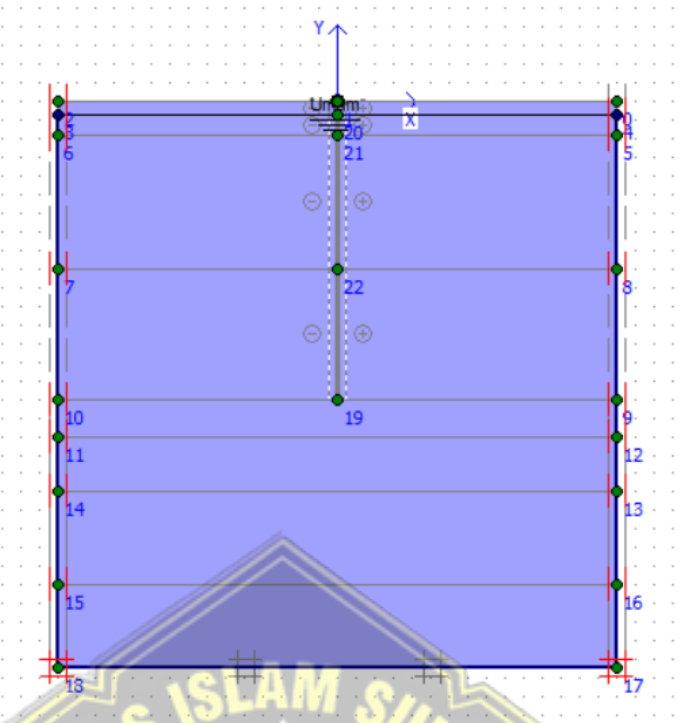


Gambar 4.34 Susunan Jaringan Elemen

9. Lalu klik  yang ada di toolbar, kemudian klik  untuk mengetahui berat isi air dan muka air tanah 8 meter di bawah tanah, terdapat di Gambar 4.35 hingga Gambar 4.36

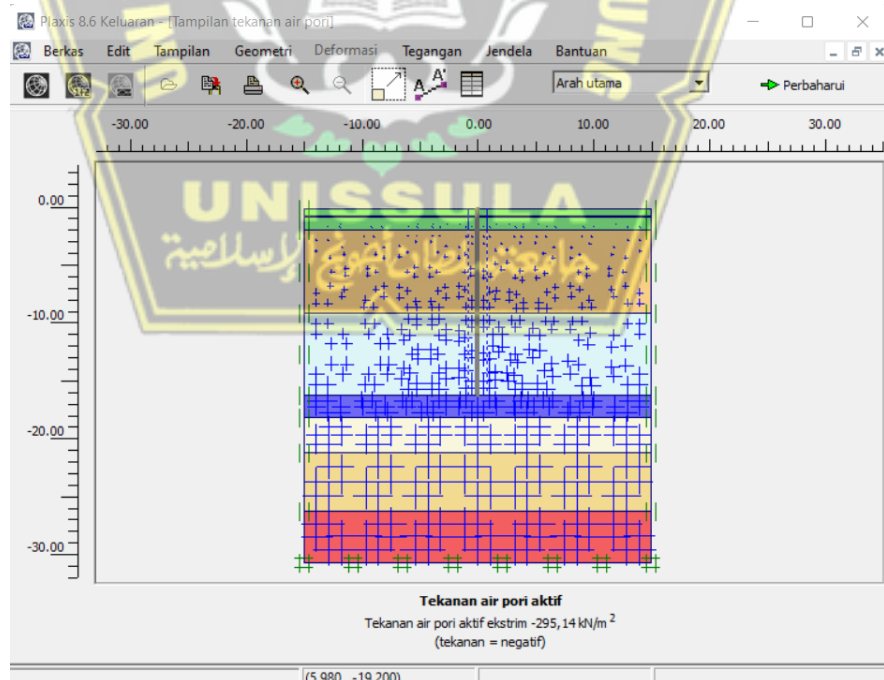


Gambar 4.35 Water Weight



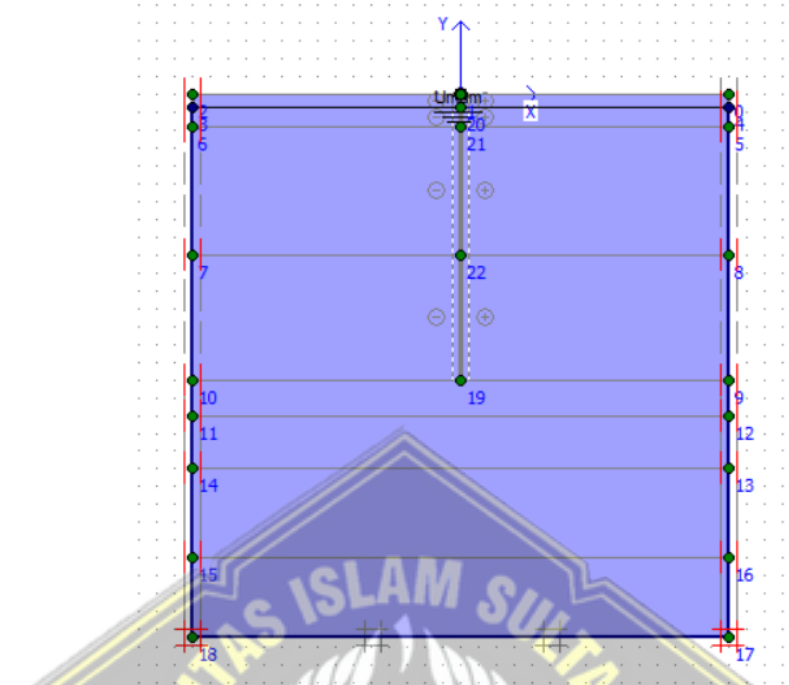
Gambar 4.36 Muka Air Tanah

10. Kemudian klik sesuai pada Gambar 4.37



Gambar 4.37 Output Soil Stressess

11. Klik  dan didapatkan sesuai Gambar 4.38



Gambar 4.38 Tekanan Air Pori

12. Kemudian klik  lalu akan muncul prosedur – K0 sesuai Gambar 4.39.

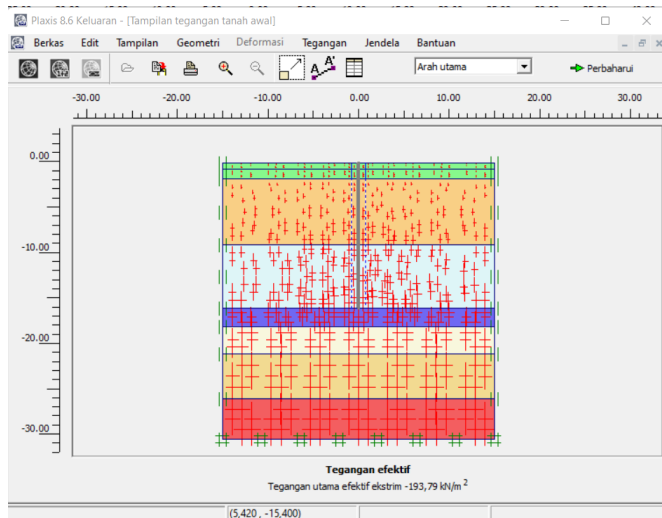
Tekan tombol  untuk mengetahui hasil  dari perhitungan pemodelan menggunakan software *PLAXIS V 8.6*, dapat dilihat di Gambar 4.40

Prosedur-K0

$\Sigma M\text{-weight} :$

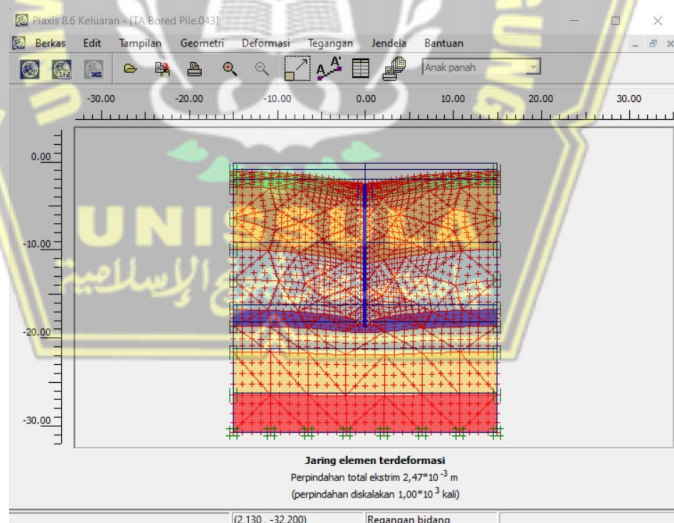
| Klaster | Material | OCR | POP | K0 |
|---------|----------|-----|-----|-------|
| 1 | MC | N/A | N/A | 0,500 |
| 2 | MC | N/A | N/A | 0,500 |
| 3 | MC | N/A | N/A | 0,500 |
| 4 | MC | N/A | N/A | 0,500 |
| 5 | MC | N/A | N/A | 0,500 |

Gambar 4.39 Prosedur K0



Gambar 4.40 Tekanan Efektif Tanah

13. Sesudah permodelan serta menginput parameternya selesai, lalu melakukan perhitungan diantaranya analisis konsolidasi satu tahun dan sepuluh tahun. Dengan mengaktifkan fondasi dan beban setelah itu menghitung konsolidasi yang terjadi. Deformasi yang terjadi bisa dilihat seperti pada gambar 4.41 dan untuk besar konsolidasi pada table 4.15.



Gambar 4.41 Deformasi Yang Terjadi

Tabel 4.14 Konsolidasi

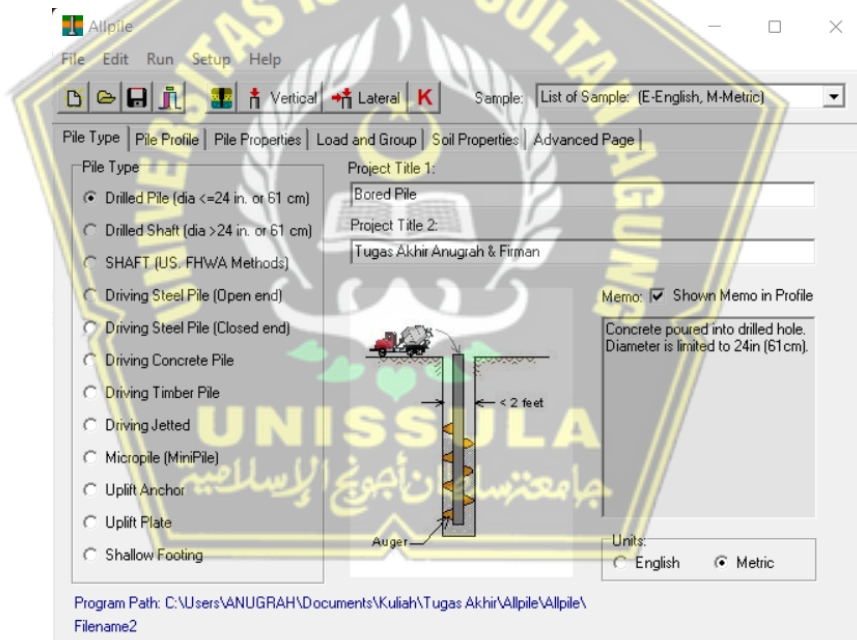
| Tahapan | Hari | Displacement (mm) |
|-----------------------|------|-------------------|
| Tahap 1 (Konsolidasi) | 365 | -2,47 |
| Tahap 2 (Konsolidasi) | 3650 | -2.47 |

4.10. Analisa Pemodelan Fondasi dengan Program *Allpile*

Dalam menganalisa atau merencanakan sebuah fondasi, dapat dilakukan dengan membuat analisa pemodelan menggunakan program *Allpile*. Analisis menggunakan bantuan program *Allpile* dilakukan dengan cara memasukan penginputan data tanah, parameter tanah, data beban termasuk data tiang, nilai *safety factor*, dan ketentuan lainnya. Hasil analisa *Allpile* ini akan diperoleh nilai kapasitas daya dukung tiang fondasi dan penurunan atau *settlement* yang terjadi pada fondasi dengan menggunakan metode *Load Transfer*.

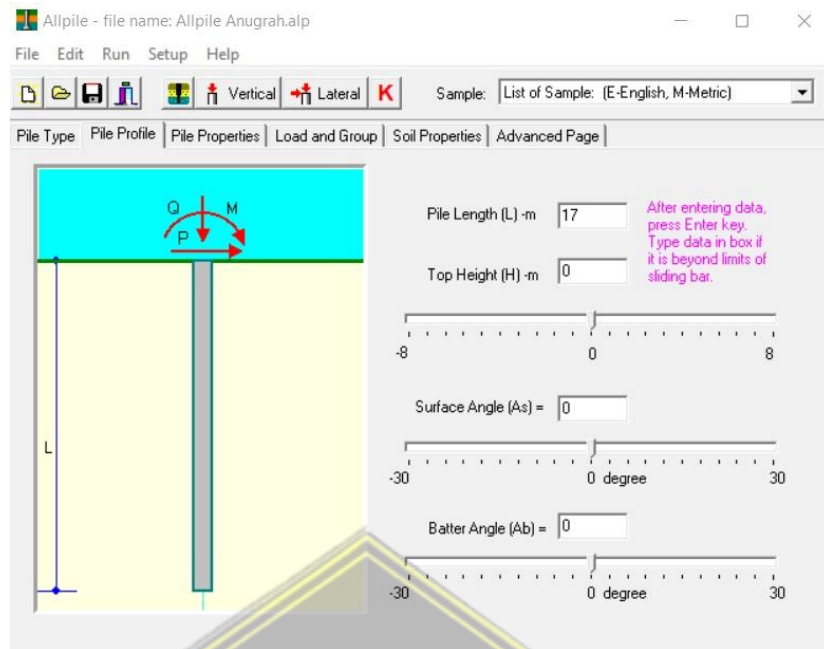
Berikut tahapan yang dilakukan dalam menganalisa pemodelan menggunakan program *Allpile* :

1. Menentukan menu *pile type* atau tipe fondasi yang akan dipakai dan mengisikan judul nama pada kolom *project title* yang dapat dilihat pada Gambar 4.42.



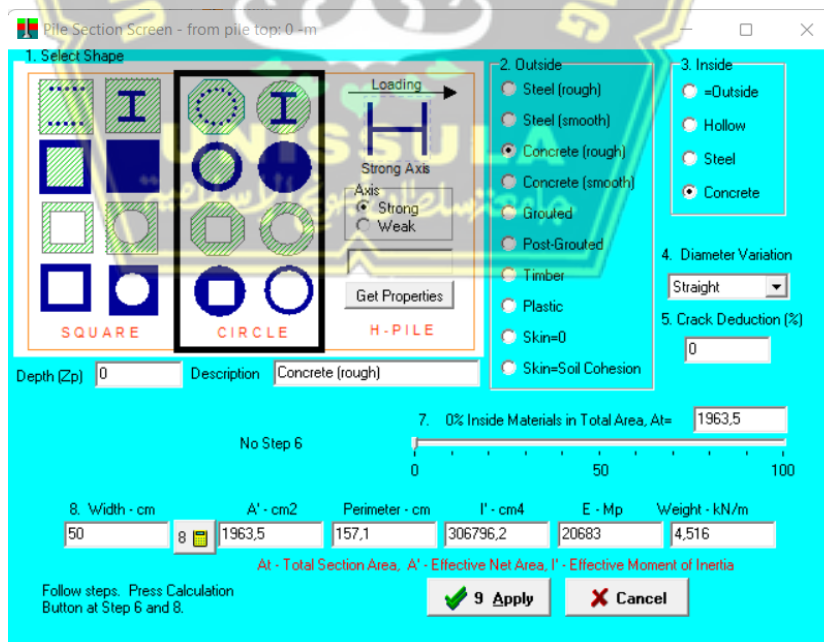
Gambar 4.42 *Pile Type*

2. Menentukan *pile profile* atau profil tiang yang diisi menyesuaikan dengan rencana tiang yang akan di input seperti kedalaman atau panjang tiang. Pada analisa pemodelan ini menggunakan tiang *bored pile* dengan panjang tiang 17 meter seperti pada Gambar 4.43.



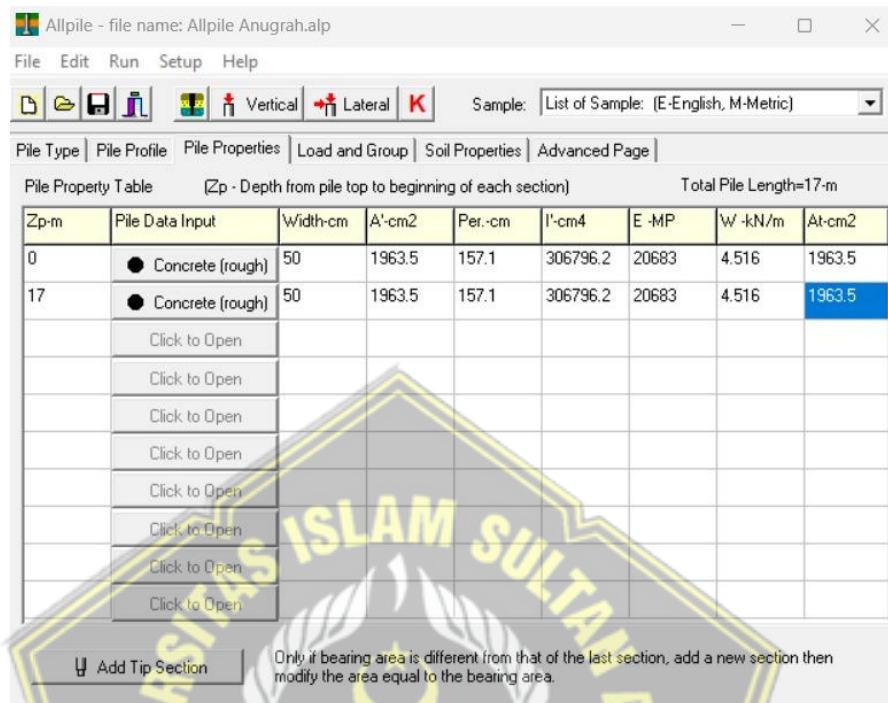
Gambar 4.43 Pile Profil

- Menentukan *pile properties* atau menu properti tiang fondasi, yang dilakukan dengan mengisi data *pile properties* yang akan digunakan seperti : bentuk, material yang digunakan, tulangan, diameter, dan kendala pada fondasi seperti pada Gambar 4.44.



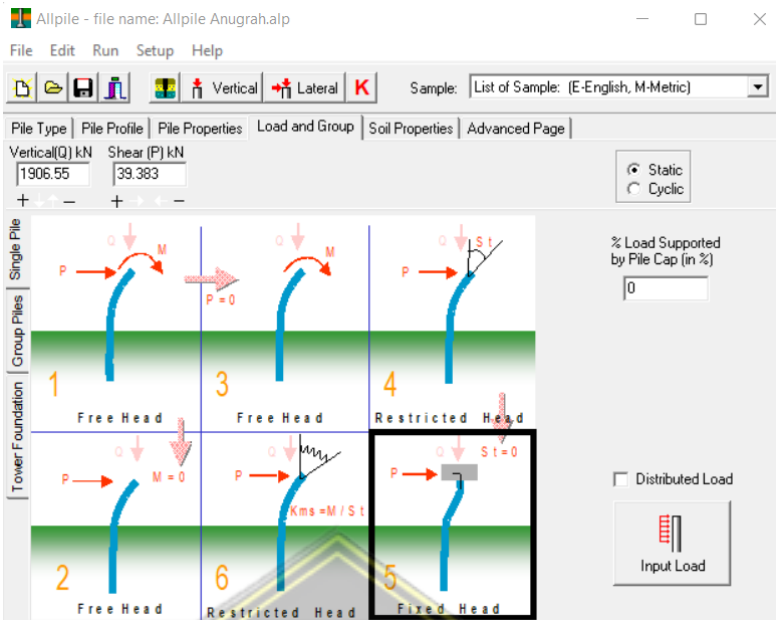
Gambar 4.44 Menu Pile Properties

Pada kedalaman lapisan fondasi sendiri yaitu 17 meter untuk kedalaman tanah serta karakteristik tiang menyesuaikan kondisi yang terdapat di lapangan seperti pada Gambar 4.45.



Gambar 4.45 Setting Kedalaman Fondasi

4. *Load and Group* merupakan cara memasukan pembebanan yang akan dilakukan pada tipe fondasi yang akan direncanakan dengan menginput nilai beban sesuai dengan hasil program SAP2000 V.23 yang didapat dengan beban *vertikal* maupun *horizontal* sebesar 1906,55 kN dan 38,383 kN seperti pada Gambar 4.46.



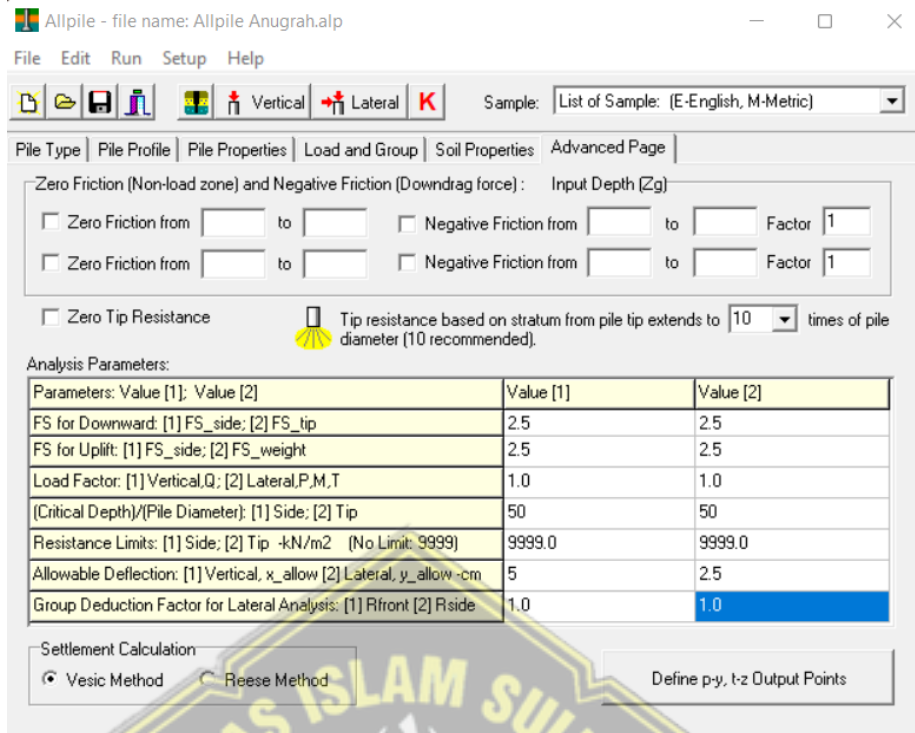
Gambar 4.46 Load and Group

5. Selanjutnya, menginput data tanah yang telah didapat dan sesuai pada lokasi dalam *Soil Properties* seperti pada Gambar 4.47.

| Zg-m | Soil Data Input | G-kN/m3 | Phi | C-kN/m2 | k-MN/m3 | e50 or Dr | Nsp | Type |
|---------------|-----------------|---------|------|---------|---------|-----------|-----|------|
| 0 | Soft Clay | 19.3 | 0.0 | 37.7 | 40.6 | 1.15 | 6 | 1 |
| 0.70 | Soft Clay | 19.2 | 0.0 | 35.9 | 37.1 | 1.19 | 6 | 1 |
| 1.80 | Soft Clay | 16.8 | 0.0 | 13.8 | 8.6 | 2.13 | 2 | 1 |
| 9 | Silt (Phi + C) | 18.1 | 27.2 | 12.0 | 15.0 | 1.52 | 4 | 3 |
| 16 | Silt (Phi + C) | 20.7 | 31.3 | 42.2 | 138.3 | 0.71 | 14 | 3 |
| 18 | Silt (Phi + C) | 21.3 | 35.1 | 90.1 | 372.6 | 0.45 | 30 | 3 |
| 21 | Stiff Clay | 21.1 | 0.0 | 155.6 | 310.1 | 0.49 | 26 | 2 |
| 26 | Silt (Phi + C) | 21.3 | 35.0 | 88.0 | 361.9 | 0.45 | 29 | 3 |
| 30.45 | Stiff Clay | 21.3 | 0.0 | 178.4 | 368.0 | 0.45 | 30 | 2 |
| Click to Open | | | | | | | | |

Gambar 4.47 Soil Properties

6. *Advanced Page* ini dengan mengisi faktor keamanan dan batas-batas keamanan yang direncanakan seperti pada Gambar 4.48.

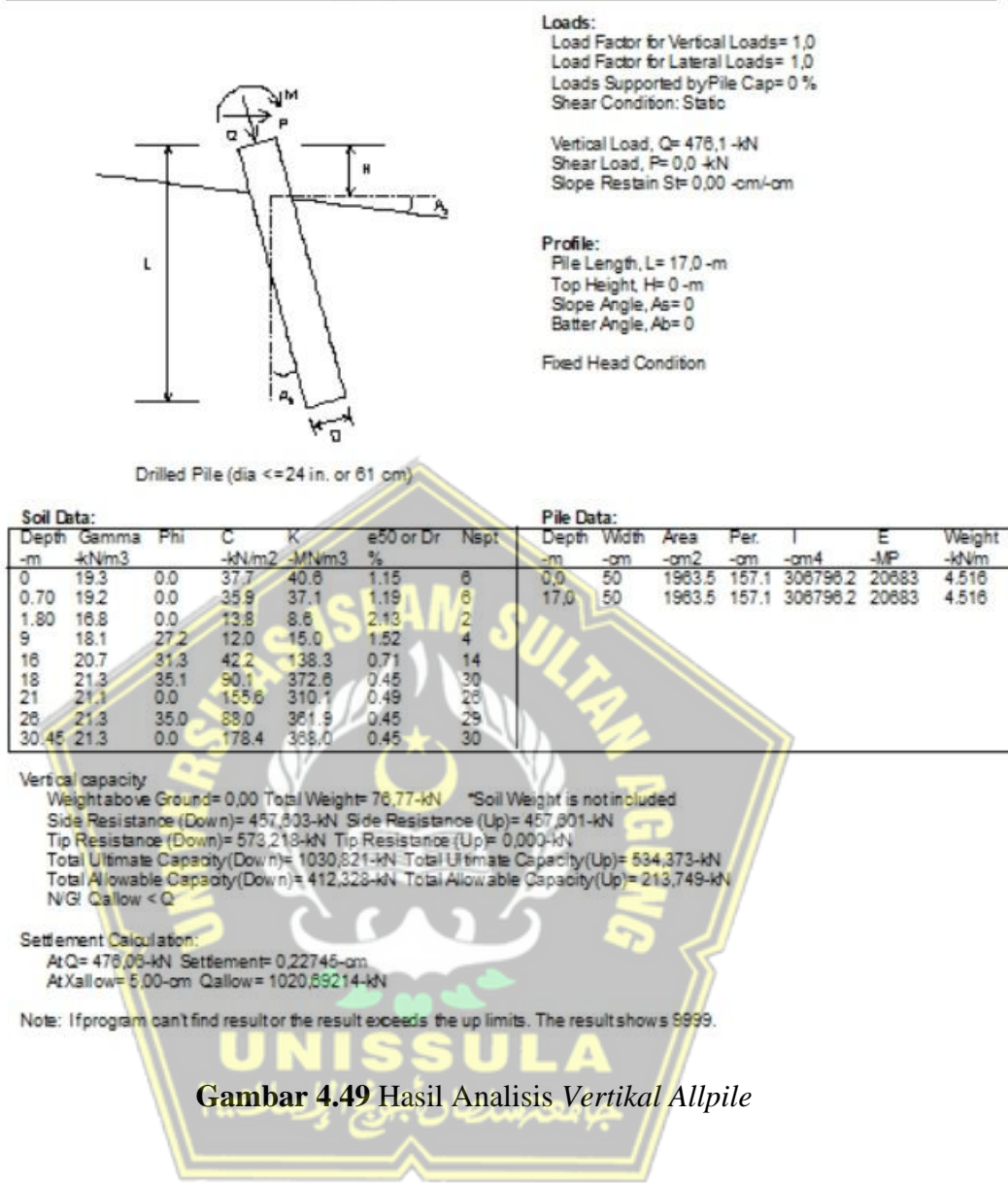


Gambar 4.48 Advanced Page

7. Setelah semua data selesai dimasukkan dalam program, selanjutnya jalankan program atau klik *Run program* dengan menekan tombol F5 agar program melakukan analisa serta memberikan hasil *output* analisa *vertical* dan *lateral* seperti pada Gambar 4.49

VERTICAL ANALYSIS

Figure 1



Dari hasil analisis *vertikal* pada *Allpile*, dengan beban maksimum struktur atas sebesar $P = 1906,6 \text{ kN}$ dihasilkan kapasitas dukung ultimit tiang fondasi *bored pile* yaitu sebesar $Q_u = 1030,821 \text{ kN}$ dan kapasitas dukung ijin tiang tunggal fondasi *bored pile* yaitu sebesar $Q_{all} = 412,328 \text{ kN}$. Sehingga diketahui fondasi *bored pile* tersebut mampu untuk menahan beban dari output struktur atas yang dipikul dan dinyatakan memenuhi syarat **AMAN**, karena nilai kapasitas dukung ultimit fondasi lebih besar dari beban maksimum struktur atas yang bekerja.

Tabel 4.15 Hasil Daya Dukung Aksial dengan Manual dan Program

| No. | Perhitungan Daya Dukung Aksial | Qu (kN) | Qall (kN) |
|-----|--------------------------------|----------|-----------|
| 1. | <i>Metode Aoki de Alencer</i> | 584,519 | 233,807 |
| 2. | <i>Tomlinson</i> | 908,049 | 363,220 |
| 2. | <i>Metode Reese and Wright</i> | 2412,043 | 804,014 |
| 3. | <i>Metode Mayerhoff</i> | 2412,043 | 804,014 |
| 4. | <i>Program Allpile</i> | 1030,821 | 412,328 |

Dari hasil analisis *vertikal* pada *Allpile*, dapat diketahui juga hasil total penurunan atau *settlement* yang terjadi pada tiang fondasi *bored pile* tunggal yaitu sebesar 2,27 mm dengan batas total penurunan yang terjadi sebesar 50 mm. Sehingga dinyatakan bahwa total penurunan yang terjadi memenuhi syarat **AMAN**, karena hasil total penurunan tidak melebihi batas total penurunan yang diijinkan.

Table 4.16 Hasil Total Penurunan Tiang Tunggal dengan Manual dan program

| No. | Perhitungan Daya Dukung Aksial | Se (mm) | Sijin (mm) |
|-----|--------------------------------|---------|------------|
| 1. | Manual | 3,40 | 50 |
| 2. | Program <i>Allpile</i> | 2,27 | 50 |
| 3. | Program <i>Plaxis</i> | 2,47 | 50 |

4.11. Penurunan Elastis Dari Tiang Kelompok Menggunakan Metode Vesic (1977)

Untuk mencari penurunan fondasi tiang kelompok dapat menggunakan metode *Vesic*. Berikut adalah Persamaan (2.31) metode *Vesic*.

$$Sg = Se \times \sqrt{\frac{Bg}{D}}$$

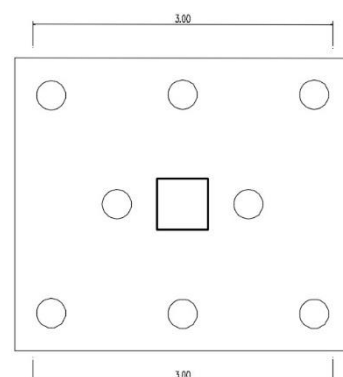
- Fondasi P8

Diketahui :

$$Se = 0,00340 \text{ m}$$

$$Bg = 3,0 \text{ m}$$

$$D = 0,5 \text{ m}$$



$$\begin{aligned}
 Sg &= Se \times \sqrt{\frac{Bg}{D}} \\
 &= 0,00340 \times \sqrt{\frac{3,0}{0,5}} \\
 &= 0,00833 \text{ m} \\
 &= 8,33 \text{ mm}
 \end{aligned}$$

Penurunan fondasi P8 sebesar 8,33 mm. syarat yang diijinkan $Sg < Sjin$ yaitu $8,33 \text{ mm} < 50 \text{ mm}$ maka aman (OKE)

- Fondasi P6-C

Diketahui :

$$Se = 0,00340 \text{ m}$$

$$Bg = 3,0 \text{ m}$$

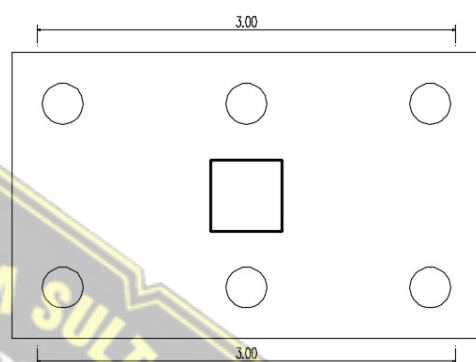
$$D = 0,5 \text{ m}$$

$$Sg = Se \times \sqrt{\frac{Bg}{D}}$$

$$= 0,00340 \times \sqrt{\frac{3,0}{0,5}}$$

$$= 0,00833 \text{ m}$$

$$= 8,33 \text{ mm}$$



Penurunan fondasi P6-C sebesar 8,33 mm. syarat yang diijinkan $Sg < Sjin$ yaitu $8,33 \text{ mm} < 50 \text{ mm}$ maka aman (OKE)

- Fondasi P4-A

Diketahui :

$$Se = 0,00340 \text{ m}$$

$$Bg = 1,75 \text{ m}$$

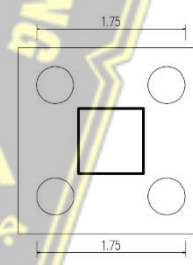
$$D = 0,5 \text{ m}$$

$$Sg = Se \times \sqrt{\frac{Bg}{D}}$$

$$= 0,00340 \times \sqrt{\frac{1,75}{0,5}}$$

$$= 0,00636 \text{ m}$$

$$= 6,36 \text{ mm}$$



Penurunan fondasi P4-A sebesar 6,36 mm. syarat yang diijinkan $Sg < Sjin$ yaitu $6,36 \text{ mm} < 50 \text{ mm}$ maka aman (OKE)

4.11. Perhitungan *Pile Cap*

- *Pile cap P8*

1. Geser Satu Arah

Arah X

$$P = 717,510 \text{ ton}$$

$$b_X = 3500 \text{ mm}$$

$$= 3,5 \text{ m}$$

$$b_Y = 2980 \text{ mm}$$

$$= 2,98 \text{ m}$$

$$A = b_X \times b_Y$$

$$= 3,5 \times 2,98$$

$$= 10,43 \text{ m}^2$$

$$\text{Selimut} = 75 \text{ mm}$$

$$F_{c'} = 29,15 \text{ Mpa}$$

$$\text{Kolom} = 700 \times 700 \text{ mm}$$

$$\text{Tebal} = 1500 \text{ mm}$$

$$\sigma = P/A$$

$$= 717,510 / 10,43$$

$$= 68,793 \text{ ton/m}^2$$

$$d = \text{asumsi tebal} - \text{selimut beton}$$

$$= 1200 - 75$$

$$= 1125 \text{ mm}$$

$$G' = b_X - \left(\frac{b_X}{2} + \frac{\text{lebar kolom}}{2} + d \right)$$

$$= 3500 - \left(\frac{3500}{2} + \frac{700}{2} + 1125 \right)$$

$$= 275 \text{ mm}$$

$$= 0,275 \text{ m}$$

$$V_u = \sigma \times b_X \times G' \text{ (satuan meter)}$$

$$= 68,793 \times 3500 \times 0,275$$

$$= 66,213 \text{ ton}$$

$$\varphi V_c = 0,75 \times \frac{1}{6} \times \sqrt{f_{c'}} \times b_X \times d$$

$$= 0,75 \times \frac{1}{6} \times \sqrt{29,15} \times 3500 \times 1125$$

$$\begin{aligned}
 &= 2657356,732 \text{ N} \\
 &= 266,695 \text{ ton} \\
 \varphi V_c > V_u &\quad = 266,695 > 66,213 (\text{OKE})
 \end{aligned}$$

Arah Y



$$\begin{aligned}
 P &= 717,51 \text{ ton} \\
 b_X &= 3500 \text{ mm} \\
 &= 3,5 \text{ m} \\
 b_Y &= 2980 \text{ mm} \\
 &= 2,98 \text{ m} \\
 A &= b_X \times b_Y \\
 &= 3,5 \times 2,98 \\
 &= 10,43 \text{ m}^2 \\
 \text{Selimut} &= 75 \text{ mm} \\
 F_{c'} &= 29,15 \text{ Mpa} \\
 \text{Kolom} &= 700 \times 700 \text{ cm} \\
 \text{Tebal} &= 1500 \text{ mm} \\
 \sigma &= P/A \\
 &= 717,51 / 10,43 \\
 &= 68,793 \text{ ton/ m}^2 \\
 d &= \text{asumsi tebal - selimut beton} \\
 &= 1200 - 75 \\
 &= 1125 \text{ mm} \\
 G' &= b_Y - \left(\frac{b_Y}{2} + \frac{\text{lebar kolom}}{2} + d \right) \\
 &= 2980 - \left(\frac{2980}{2} + \frac{700}{2} + 1125 \right) \\
 &= 15 \text{ mm} \\
 V_u &= \sigma \times b_Y \times G' \text{ (satuan meter)} \\
 &= 68,793 \times 2,98 \times 0,015 \\
 &= 3,075 \text{ ton} \\
 \varphi V_c &= 0,75 \times \frac{1}{6} \times \sqrt{f_{c'}} \times b_Y \times d \\
 &= 0,75 \times \frac{1}{6} \times \sqrt{29,15} \times 2980 \times 1125
 \end{aligned}$$

$$\begin{aligned}
 &= 2262549,446 \text{ N} \\
 &= 227,072 \text{ ton} \\
 \varphi V_c > V_u &\quad = 227,072 > 3,075 \text{ (OKE)}
 \end{aligned}$$

2. Geser Dua Arah

Arah X

$$\begin{aligned}
 b_X &= 3500 \text{ mm} \\
 &= 3,5 \text{ m} \\
 d &= 1125 \text{ mm} \\
 as &= \text{karena letak kolom ditengah } pile cap, \text{ maka nilainya } 40 \\
 \beta c &= \text{Panjang kolom X/Y} = 1 \\
 \lambda &= \text{Karena beton normal maka nilainya } 1 \\
 c_{X_{\text{kolom}}} &= 700 \text{ mm} \\
 B' &= c_X + d \\
 &= 700 + 1125 \\
 &= 1825 \text{ mm} \\
 &= 1,825 \text{ m} \\
 bo &= 4 \times B' \\
 &= 4 \times 1,825 \\
 &= 7300 \text{ mm} \\
 V_{c1} &= \left(1 + \frac{2}{\beta c}\right) \frac{\sqrt{f_{c'}} \times bo \times d}{6} \\
 &= \left(1 + \frac{2}{1}\right) \frac{\sqrt{29,15} \times 7300 \times 1125}{6} \\
 &= 22169947,59 \text{ N} \\
 &= 2225,001 \text{ ton} \\
 V_{c2} &= \left(\frac{as \cdot d}{bo} + 2\right) \frac{\sqrt{f_{c'}} \times bo \times d}{12} \\
 &= \left(\frac{40 \cdot 1125}{7300} + 2\right) \frac{\sqrt{29,15} \times 7300 \times 1125}{12} \\
 &= 30167325,95 \text{ N} \\
 &= 3027,627 \text{ ton} \\
 V_{c3} &= \frac{1}{3} \times \lambda \times \sqrt{f_{c'}} \times bo \times d \\
 &= \frac{1}{3} \times 1 \times \sqrt{29,15} \times 7300 \times 1125
 \end{aligned}$$

$$= 14779965,06 \text{ N}$$

$$= 1483,334 \text{ ton}$$

Vc diambil yang paling kecil, maka dipakai $Vc3 = 1483,334 \text{ ton}$

$$Vu = \sigma x (bX^2 - B'^2) \text{ (satuan meter)}$$

$$= 68,793 x (3,5^2 - 1,825^2)$$

$$= 613,590 \text{ ton}$$

$$\varphi Vc = 0,75 x Vc \text{ pakai}$$

$$= 0,75 x 1483,334$$

$$= 1112,501 \text{ ton}$$

$$\varphi Vc > Vu = 1112,501 \text{ ton} > 613,590 \text{ ton (AMAN)}$$

Arah Y

$$bY = 2980$$

$$d = 1125$$

$$as = \text{karena letak kolom ditengah pile cap, maka nilainya } 40$$

$$\beta c = \text{Panjang kolom X/Y} = 1$$

$$\lambda = \text{Karena beton normal maka nilainya } 1$$

$$cY_{kolom} = 700 \text{ mm}$$

$$B' = cY + d$$

$$= 700 + 1125$$

$$= 1825 \text{ mm}$$

$$= 1,825 \text{ m}$$

$$bo = 4 x B'$$

$$= 4 x 1825$$

$$= 7300 \text{ mm}$$

$$Vc1 = \left(1 + \frac{2}{\beta c}\right) \frac{\sqrt{fc'} \times bo \times d}{6}$$

$$= \left(1 + \frac{2}{1}\right) \frac{\sqrt{29,15} \times 7300 \times 1125}{6}$$

$$= 22169947,59 \text{ N}$$

$$= 2225,001 \text{ ton}$$

$$Vc2 = \left(\frac{as \cdot d}{bo} + 2\right) \frac{\sqrt{fc'} \times bo \times d}{12}$$

$$\begin{aligned}
&= \left(\frac{40 \cdot 1425}{7300} + 2 \right) \frac{\sqrt{29,15} \times 7300 \times 1125}{12} \\
&= 30167325,95 \text{ N} \\
&= 3027,627 \text{ ton} \\
Vc3 &= \frac{1}{3} \times \lambda \times \sqrt{fc'} \times bo \times d \\
&= \frac{1}{3} \times 1 \times \sqrt{29,15} \times 7300 \times 1125 \\
&= 14779965,06 \text{ N} \\
&= 1483,334 \text{ ton}
\end{aligned}$$

Vc diambil yang paling kecil, maka dipakai $Vc3 = 1483,334$ ton

$$\begin{aligned}
Vu &= \sigma \times (bY^2 - B'^2) \text{ (satuan meter)} \\
&= 84,528 \times (2,98^2 - 1,825^2) \\
&= 381,785 \text{ ton} \\
\varphi Vc &= 0,75 \times Vc \text{ pakai} \\
&= 0,75 \times 1483,334 \\
&= 1112,501 \text{ ton} \\
\varphi Vc > Vu &= 1112,501 \text{ ton} > 381,785 \text{ ton (AMAN)}
\end{aligned}$$

3. Perhitungan Tulangan Lentur

Arah X

Lebar penampang kritis

$$\begin{aligned}
P &= 717,51 \text{ ton} \\
n_s &= 8 \text{ tiang} \\
s &= 1250 \text{ mm} \\
&= 1,25 \text{ m} \\
\emptyset &= \text{memiliki nilai } 0,9 \\
bX &= 3500 \text{ mm} \\
&= 3,5 \text{ m} \\
d &= 1125 \text{ mm} \\
cX_{kolom} &= 700 \text{ mm} \\
fc' &= 29,15 \text{ Mpa} \\
fy &= 390 \text{ Mpa} \\
Es &= 200000 \\
\beta 1 &= 0,85
\end{aligned}$$

$$\begin{aligned}
\varepsilon_c &= 0,003 \\
\text{tebal} &= 1200 \\
B &= \frac{bX}{2} - \frac{cX}{2} \\
&= \frac{3500}{2} - \frac{700}{2} \\
&= 1400 \text{ mm} \\
&= 1,4 \text{ m} \\
q' &= \gamma \text{ beton} \times bX \times \text{tebal pile cap} \text{ (satuan meter)} \\
&= 2400 \times 3,5 \times 1,2 \\
&= 10080 \text{ kg/m}^2 \\
Mu_1 &= 2 \times \left(\frac{P}{ns} \times s \right) - 0,5 \times q' \times B^2 \text{ (satuan dijadikan kg/m)} \\
&= 2 \times \left(\frac{717510}{8} \times 1,25 \right) - 0,5 \times 10080 \times 1,4^2 \\
&= 214343,475 \text{ Kgm} \\
&= 2101,991 \text{ kNm} \\
R_n &= \frac{Mu_1 \times 1000000}{\phi \times bX \times d^2} \\
&= \frac{2101,991 \times 1000000}{0,9 \times 3500 \times 1125^2} \\
&= 0,527 \\
\rho_{\text{perlu}} &= \left[1 - \sqrt{1 - \frac{2 \times R_n}{0,85 \times f_{ct}'}} \right] \frac{0,85 \times f_{ct}'}{f_y} \\
&= \left[1 - \sqrt{1 - \frac{2 \times 0,527}{0,85 \times 29,15}} \right] \frac{0,85 \times 29,15}{390} \\
&= 0,001367 \\
As_{\text{perlu}} &= \rho \times bX \times d \\
&= 0,001367 \times 3500 \times 1125 \\
&= 5381,057 \text{ mm}^2 \\
As_{\text{min}} &= 0,0018 \times bX \times d \\
&= 0,0018 \times 3500 \times 1125 \\
&= 7087,5 \text{ mm}^2
\end{aligned}$$

As diambil yang paling besar, maka diambil As min = 7087,5 mm²

- Penulangan Tarik P8

| | |
|----------------------------|-----------------------------|
| Jumlah tulangan | = bX / jarak antar tulangan |
| Missal pakai D25-100, maka | = 3500/100 |

$$\begin{aligned}
 &= 35 = 35 + 1 \text{ (karena ada tambahan} \\
 &\quad \text{1 tulangan pada ujungnya)} \\
 &= 36 \text{ tulangan} \\
 \text{As tulangan} &= \frac{1}{4} \pi \times D_{\text{tulangan}}^2 \times \text{jumlah} \\
 &\quad \text{Tulangan}
 \end{aligned}$$

$$\text{As tulangan} > \text{As yang diambil} = 17662,5 > 7087,5 \text{ (OKE)}$$

Jadi digunakan tulangan 36 D25 dengan jarak 100 mm.

Cek control :

$$\Sigma H = 0$$

$$Cc = Ts$$

$$\begin{aligned}
 0,85 \times f_{c'} \times a \times b &= As \times f_y \\
 a &= \frac{(As \text{ yang diambil} \times f_y)}{0,85 \times f_{c'} \times bX} \\
 &= \frac{(7087,5 \times 390)}{0,85 \times 29,15 \times 4600}
 \end{aligned}$$

$$\begin{aligned}
 c &= \frac{a}{\beta_1} \\
 &= \frac{31,874}{0,85} \\
 &= 37,498 \text{ mm}
 \end{aligned}$$

$$\begin{aligned}
 \epsilon_s &= \frac{d - c}{c \times \epsilon_c} \\
 &= \frac{1125 - 37,498}{37,498 \times 0,003}
 \end{aligned}$$

$$= 0,087$$

$$\begin{aligned}
 f_y/E_s &= \frac{390}{200000} \\
 &= 0,00195
 \end{aligned}$$

$$\epsilon_s > f_y/E_s \text{ yaitu } 0,087 > 0,00195 \text{ (OKE)}$$

$$\epsilon_s > 0,005, \text{ maka bisa menggunakan } \phi = 0,9$$

$$\begin{aligned}
 M_n &= 0,9 \times f_{c'} \times a \times bX \times (d-a/2) \\
 &= 0,9 \times 29150 \times 0,032 \times 3,5 \times (1,125 - 0,032/2) \\
 &= 3065,589 \text{ kNm}
 \end{aligned}$$

$$M_{u2} = \phi \times M_n$$

$$\begin{aligned}
 &= 0,85 \times 3065,589 \\
 &= 2759,03 \text{ kNm}
 \end{aligned}$$

$M_{u1} < M_{u2}$ yaitu $2101,991 < 2759,03$ (OKE)

- Penulangan Desak P8

Tulangan desak diberikan 20% dari tulangan tarik

Missal dipakai D16-200

$$\begin{aligned}
 \text{Jumlah tulangan} &= bX / \text{jarak antar tulangan} \\
 &= 3500/200 \\
 &= 17,5 = 18 + 1 \text{ (karena ada tambahan 1 tulangan} \\
 &\quad \text{pada ujungnya)} \\
 &= 19 \text{ tulangan}
 \end{aligned}$$

$$\begin{aligned}
 \text{As tulangan} &= \frac{1}{4} \times \pi \times D \text{ tulangan}^2 \times \text{jumlah tulangan} \\
 &= \frac{1}{4} \times 3,14 \times 16^2 \times 19 \\
 &= 381824 \text{ m}^2 \\
 &= 3818,24 \text{ mm}^2 \\
 \text{Nilai 20\%} &= 20\% \times \text{tulangan Tarik} \\
 &= 20/100 \times 17662,5 \\
 &= 3532,5 \text{ mm}^2
 \end{aligned}$$

Tulangan desak > 20% tulangan tarik, $3818,24 > 3532,5$ (OKE).

Jadi digunakan tulangan 19 D16 dengan jarak 200 mm.

Arah Y

Lebar penampang kritis

$$\begin{aligned}
 P &= 717,51 \text{ ton} \\
 n_s &= 8 \text{ tiang} \\
 s &= 1250 \text{ mm} \\
 &= 1,25 \text{ m} \\
 \emptyset &= 0,9 \\
 bY &= 2980 \text{ mm} \\
 &= 2,98 \text{ m} \\
 d &= 1125 \text{ mm} \\
 cY_{\text{kolom}} &= 700 \text{ mm}
 \end{aligned}$$

| | |
|----------------|--|
| $f_{c'}$ | = 29,15 Mpa |
| f_y | = 390 Mpa |
| E_s | = 200000 |
| β_1 | = 0,85 |
| ϵ_c | = 0,003 |
| tebal | = 1200 mm |
| | = 1,2 m |
| B | $= \frac{bY}{2} - \frac{cY}{2}$ $= \frac{2980}{2} - \frac{700}{2}$ $= 1140 \text{ mm}$ |
| q' | $= \gamma \text{ beton} \times bY \times \text{tebal pile cap} \text{ (satuan meter)}$ $= 2400 \times 2980 \times 1200$ $= 8582,4 \text{ kg/m}^2$ |
| M_{u1} | $= 2 \times (P/n_s \times s) - 0,5 \times q' \times B^2 \text{ (satuan dijadikan kg/m)}$ $= 2 \times (717,510/8 \times 1,25) - 0,5 \times 8582,4 \times 1,14^2$ $= 218645,0315 \text{ Kgm}$ $= 2144,175 \text{ kNm}$ |
| R_n | $= \frac{M_{u1} \times 1000000}{\phi \times bY \times d^2}$ $= \frac{2144,175 \times 1000000}{0,9 \times 2980 \times 1125^2}$ $= 0,632$ |
| ρ_{perlu} | $= [1 - \sqrt{1 - \frac{2 \times R_n}{0,85 \times f_{c'}}}] \frac{0,85 \times f_{c'}}{f_y}$ $= [1 - \sqrt{1 - \frac{2 \times 0,632}{0,85 \times 29,15}}] \frac{0,85 \times 29,15}{390}$ $= 0,001641$ |
| As perlu | $= \rho \times bY \times d$ $= 0,001641 \times 2980 \times 1125$ $= 5501,050 \text{ mm}^2$ |
| As min | $= 0,0018 \times bY \times d$ $= 0,0018 \times 2980 \times 1125$ $= 6034,5 \text{ mm}^2$ |

As diambil yang paling besar, maka diambil As min = 6034,5 mm²

- Penulangan Tarik P8

| | |
|---|---|
| Jumlah tulangan | = bY / jarak antar tulangan |
| Missal pakai D25-100, maka | = 2980/100 |
| | = 29,8 = 30 + 1 (karena ada |
| | Tambahkan 1 tulangan pada ujungnya) |
| | = 31 tulangan |
| As tulangan | = $\frac{1}{4} \times \pi \times D^2 \times \text{jumlah tulangan}$ |
| | = $\frac{1}{4} \times 3,14 \times 25^2 \times 31$ |
| | = 1520937,5 m ² |
| | = 15209,375 mm ² |
| As tulangan > As yang diambil | = 15209,375 > 6034,5 (OKE) |
| Jadi digunakan tulangan 31 D25 dengan jarak 100 mm. | |
| Cek control : | |
| ΣH | = 0 |
| Cc | = Ts |
| $0,85 \times f_c' \times a \times b = A_s \times f_y$ | |
| a | $= \frac{(A_s \times f_y)}{0,85 \times f_c' \times bY}$ |
| | $= \frac{(6034 \times 390)}{0,85 \times 29,15 \times 2980}$ |
| | = 31,874 mm |
| c | $= \frac{a}{\beta_1}$ |
| | $= \frac{31,874}{0,85}$ |
| | = 37,498 mm |
| ϵ_s | $= \frac{d - c}{c \times \epsilon_c}$ |
| | $= \frac{1425 - 37,498}{37,498 \times 0,003}$ |
| | = 0,087 |
| Fy/Es | $= \frac{390}{200000}$ |
| | = 0,00195 |

$\epsilon_s > f_y/E_s$ yaitu $0,087 > 0,00195$ (OKE)

$\epsilon_s > 0,005$, maka bisa menggunakan $\phi = 0,9$

$$M_n = 0,85 \times f_c' \times a \times bY \times (d-a/2)$$

$$= 0,85 \times 29150 \times 0,032 \times 2,98 \times (1,125-0,032/2)$$

$$= 2610,130 \text{ kNm}$$

$$M_{u2} = \phi \times M_n$$

$$= 0,9 \times 2610,130$$

$$= 2349,117$$

$M_{u1} < M_{u2}$ yaitu $2144,175 < 2349,117$ (OKE)

- Penulangan Desak P8

Tulangan desak diberikan 20% dari tulangan tarik

Missal dipakai D16-200

$$\text{Jumlah tulangan} = bY / \text{jarak antar tulangan}$$

$$= 2980/200$$

$$= 14,9 = 15 + 1 \text{ (karena ada tambahan 1 tulangan}$$

Pada ujungnya)

$$= 16 \text{ tulangan}$$

$$A_s \text{ tulangan} = \frac{1}{4} \times \pi \times D \text{ tulangan}^2 \times \text{jumlah tulangan}$$

$$= \frac{1}{4} \times 3,14 \times 16^2 \times 16$$

$$= 849056 \text{ mm}^2$$

$$= 8490,56 \text{ mm}^2$$

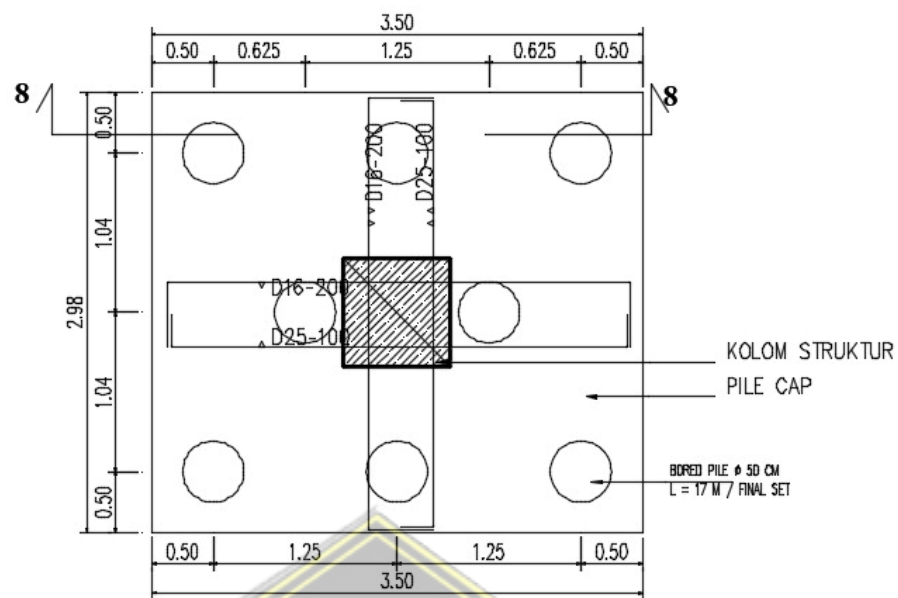
$$\text{Nilai } 20\% = 20\% \times \text{tulangan Tarik}$$

$$= 20/100 \times 15209,375$$

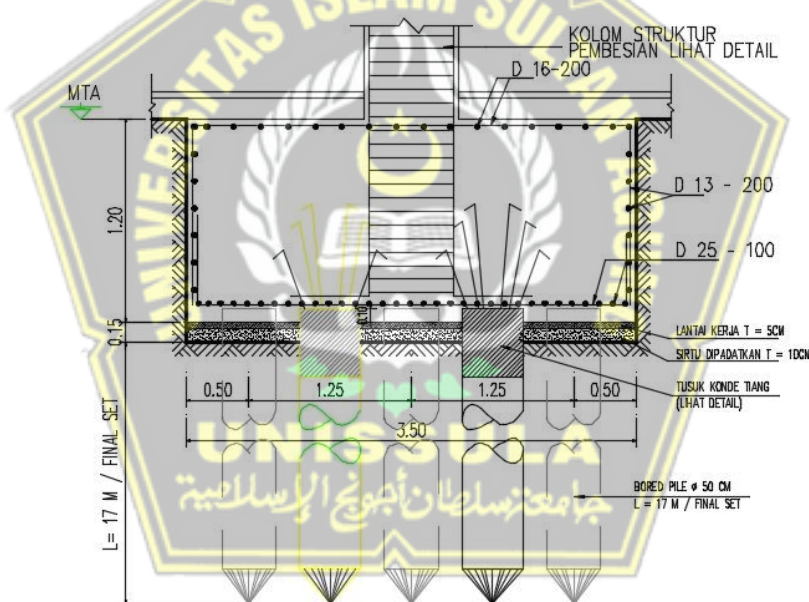
$$= 3041,875 \text{ mm}^2$$

Tulangan desak $>$ 20% tulangan tarik, $8490,56 > 3041,875$ (OKE).

Jadi digunakan tulangan 16 D16 dengan jarak 200 mm.



Gambar 4.50 Detail Pile Cap P8



Gambar 4.51 Potongan Pile Cap P8

- *Pile cap P6-C*

1. Geser Satu Arah

Arah X

$$P = 476,060 \text{ ton}$$

$$b_X = 3500 \text{ mm}$$

$$= 3,5 \text{ m}$$

| | |
|------------------|---|
| bY | = 2250 mm |
| | = 2,25 m |
| A | = bX x bY |
| | = 3,5 x 2,25 |
| | = 7,875 m ² |
| Selimut | = 75 mm |
| F _{c'} | = 29,15 Mpa |
| Kolom | = 700 x 700 mm |
| Tebal | = 1200 mm |
| σ | = P/A |
| | = 476,060 / 7,875 |
| | = 60,452 ton/m ² |
| d | = asumsi tebal – selimut beton |
| | = 1200 – 75 |
| | = 1125 mm |
| G' | = bX - ($\frac{bX}{2}$ + $\frac{\text{lebar kolom}}{2}$ + d) |
| | = 3500 - ($\frac{3500}{2}$ + $\frac{700}{2}$ + 1125) |
| | = 275 mm |
| | = 0,275 m |
| V _u | = σ x bX x G' (satuan meter) |
| | = 60,452 x 3500 x 0,275 |
| | = 58,185 ton |
| ϕV_c | = $0,75 \times \frac{1}{6} \times \sqrt{f c'} \times bX \times d$ |
| | = $0,75 \times \frac{1}{6} \times \sqrt{29,15} \times 3500 \times 1125$ |
| | = 2657356,732 N |
| | = 266,695 ton |
| $\phi V_c > V_u$ | = 266,695 ton > 58,185 ton (OKE) |
| Arah Y | |
| P | = 476,06 ton |
| bX | = 3500 mm |
| | = 3,5 m |

| | |
|---------------------|---|
| bY | $= 2250 \text{ mm}$ |
| | $= 2,25 \text{ m}$ |
| A | $= bX \times bY$ |
| | $= 3,5 \times 2,25$ |
| | $= 7,875 \text{ m}^2$ |
| Selimut | $= 75 \text{ mm}$ |
| F_c' | $= 29,15 \text{ Mpa}$ |
| Kolom | $= 700 \times 700 \text{ cm}$ |
| Tebal | $= 1200 \text{ mm}$ |
| σ | $= P/A$ |
| | $= 476,06 / 7,875$ |
| | $= 60,452 \text{ ton/ m}^2$ |
| d | $= \text{asumsi tebal - selimut beton}$ |
| | $= 1200 - 75$ |
| | $= 1125 \text{ mm}$ |
| G' | $= bY \cdot \left(\frac{bY}{2} + \frac{\text{lebar kolom}}{2} + d \right)$ |
| | $= 2800 \cdot \left(\frac{2200}{2} + \frac{700}{2} + 1125 \right)$ |
| | $= 350 \text{ mm}$ |
| V_u | $= \sigma \times bY \times G' \text{ (satuan meter)}$ |
| | $= 60,452 \times 2,25 \times 350$ |
| | $= 47,606 \text{ ton}$ |
| φV_c | $= 0,75 \times \frac{1}{6} \times \sqrt{f_c'} \times bY \times d$ |
| | $= 0,75 \times \frac{1}{6} \times \sqrt{29,15} \times 2250 \times 1125$ |
| | $= 1708300,756 \text{ N}$ |
| | $= 171,447 \text{ ton}$ |
| $\varphi V_c > V_u$ | $= 171,447 \text{ ton} > 47,606 \text{ ton (OKE)}$ |

2. Geser Dua Arah

Arah X

| | |
|---|---|
| bX | $= 3500 \text{ mm}$ |
| | $= 3,5 \text{ m}$ |
| d | $= 1125 \text{ mm}$ |
| as | $= \text{karena letak kolom ditengah } pile cap, \text{ maka nilainya } 40$ |
| βc | $= \text{Panjang kolom X/Y} = 1$ |
| λ | $= \text{Karena beton normal maka nilainya } 1$ |
| cX_{kolom} | $= 700 \text{ mm}$ |
| B' | $= cX + d$ $= 700 + 1125$ $= 1825 \text{ mm}$ $= 1,825 \text{ m}$ |
| bo | $= 4 \times B'$ $= 4 \times 1825$ $= 7300 \text{ mm}$ |
| $Vc1$ | $= \left(1 + \frac{2}{\beta c}\right) \frac{\sqrt{f'c} \times bo \times d}{6}$ $= \left(1 + \frac{2}{1}\right) \frac{\sqrt{29,15} \times 7300 \times 1125}{6}$ $= 22169947,59 \text{ N}$ $= 2225,001 \text{ ton}$ |
| $Vc2$ | $= \left(\frac{as \cdot d}{bo} + 2\right) \frac{\sqrt{f'c} \times bo \times d}{12}$ $= \left(\frac{40 \cdot 1125}{7300} + 2\right) \frac{\sqrt{29,15} \times 7300 \times 1125}{12}$ $= 30267325,95 \text{ N}$ $= 3027,627 \text{ ton}$ |
| $Vc3$ | $= \frac{1}{3} \times \lambda \times \sqrt{f'c} \times bo \times d$ $= \frac{1}{3} \times 1 \times \sqrt{29,15} \times 7300 \times 1125$ $= 14779965,06 \text{ N}$ $= 1483,334 \text{ ton}$ |
| Vc diambil yang paling kecil, maka dipakai $Vc3 = 1483,334 \text{ ton}$ | |
| Vu | $= \sigma \times (bX^2 - B'^2) \text{ (satuan meter)}$ |

$$\begin{aligned}
&= 60,452 \times (3,5^2 - 1,825^2) \\
&= 539,295 \text{ ton} \\
\varphi V_c &= 0,75 \times V_c \text{ pakai} \\
&= 0,75 \times 1483,334 \\
&= 1112,501 \text{ ton} \\
\varphi V_c > V_u &= 1112,501 \text{ ton} > 539,295 \text{ ton (AMAN)}
\end{aligned}$$

Arah Y

$$\begin{aligned}
b_Y &= 2250 \\
d &= 1125 \\
as &= \text{karena letak kolom ditengah } pile cap, \text{ maka nilainya 40} \\
\beta c &= \text{Panjang kolom X/Y} = 1 \\
\lambda &= \text{Karena beton normal maka nilainya 1} \\
c Y_{\text{kolom}} &= 700 \text{ mm} \\
B' &= c Y + d \\
&= 700 + 1125 \\
&= 1825 \text{ mm} \\
&= 1,825 \text{ m} \\
bo &= 4 \times B' \\
&= 4 \times 1825 \\
&= 7300 \text{ mm} \\
V_{c1} &= \left(1 + \frac{2}{\beta c}\right) \frac{\sqrt{f_{c'}} \times bo \times d}{6} \\
&= \left(1 + \frac{2}{1}\right) \frac{\sqrt{29,15} \times 7300 \times 1125}{6} \\
&= 22169947,59 \text{ N} \\
&= 2225,001 \text{ ton} \\
V_{c2} &= \left(\frac{as \cdot d}{bo} + 2\right) \frac{\sqrt{f_{c'}} \times bo \times d}{12} \\
&= \left(\frac{40 \cdot 1125}{7300} + 2\right) \frac{\sqrt{29,15} \times 7300 \times 1125}{12} \\
&= 30167325,95 \text{ N} \\
&= 3027,627 \text{ ton} \\
V_{c3} &= \frac{1}{3} \times \lambda \times \sqrt{f_{c'}} \times bo \times d \\
&= \frac{1}{3} \times 1 \times \sqrt{29,15} \times 7300 \times 1125
\end{aligned}$$

$$= 14779965,06 \text{ N}$$

$$= 1483,334 \text{ ton}$$

Vc diambil yang paling kecil, maka dipakai $V_{c3} = 1483,334 \text{ ton}$

$$V_u = \sigma \times (bY^2 - B'^2) \text{ (satuan meter)}$$

$$= 60,452 \times (2,25^2 - 1,825^2)$$

$$= 104,695 \text{ ton}$$

$$\varphi V_c = 0,75 \times V_c \text{ pakai}$$

$$= 0,75 \times 1483,334$$

$$= 1112,501 \text{ ton}$$

$$\varphi V_c > V_u = 1112,501 \text{ ton} > 104,695 \text{ ton (AMAN)}$$

3. Perhitungan Tulangan Lentur

Arah X

Lebar penampang kritis

$$P = 476,06 \text{ ton}$$

$$n_s = 6 \text{ tiang}$$

$$s = 1250 \text{ mm}$$

$$= 1,25 \text{ m}$$

$$\phi = \text{memiliki nilai } 0,9$$

$$b_X = 3500 \text{ mm}$$

$$= 3,5 \text{ m}$$

$$d = 1125 \text{ mm}$$

$$c_{X_{\text{kolom}}} = 700 \text{ mm}$$

$$f'_c = 29,15 \text{ Mpa}$$

$$f_y = 390 \text{ Mpa}$$

$$E_s = 200000$$

$$\beta_1 = 0,85$$

$$\epsilon_c = 0,003$$

$$\text{tebal} = 1200 \text{ cm}$$

$$B = \frac{b_X}{2} - \frac{c_X}{2}$$

$$= \frac{3500}{2} - \frac{700}{2}$$

$$= 1400 \text{ mm}$$

$$\begin{aligned}
&= 1,4 \text{ m} \\
q' &= \gamma \text{ beton} \times bX \times \text{tebal pile cap} \text{ (satuan meter)} \\
&= 2400 \times 3,5 \times 1,2 \\
&= 10080 \text{ kg/m}^2 \\
Mu_1 &= 2 \times \left(\frac{P}{ns} \times s \right) - 0,5 \times q' \times B^2 \text{ (satuan dijadikan kg/m)} \\
&= 2 \times \left(\frac{476060}{6} \times 1,8 \right) - 0,5 \times 16560 \times 1,4^2 \\
&= 188479,933 \text{ Kgm} \\
&= 1848,357 \text{ kNm} \\
R_n &= \frac{Mu_1 \times 1000000}{\phi \times bX \times d^2} \\
&= \frac{5178,414 \times 1000000}{0,9 \times 3500 \times 1125^2} \\
&= 0,464 \\
\rho_{\text{perlu}} &= \left[1 - \sqrt{1 - \frac{2 \times R_n}{0,85 \times f_{c'}}} \right] \frac{0,85 \times f_{c'}}{f_y} \\
&= \left[1 - \sqrt{1 - \frac{2 \times 0,464}{0,85 \times 29,15}} \right] \frac{0,85 \times 29,15}{390} \\
&= 0,0012 \\
As_{\text{perlu}} &= \rho \times bX \times d \\
&= 0,0012 \times 3500 \times 1125 \\
&= 4725,498 \text{ mm}^2 \\
As_{\text{min}} &= 0,0018 \times bX \times d \\
&= 0,0018 \times 3500 \times 1125 \\
&= 7078,5 \text{ mm}^2
\end{aligned}$$

As diambil yang paling besar, maka diambil As min = 7078,5 mm²

- Penulangan Tarik P6-C

$$\begin{aligned}
\text{Jumlah tulangan} &= bX / \text{jarak antar tulangan} \\
\text{Missal pakai D25-100, maka} &= 3500/100 \\
&= 35 = 35 + 1 \text{ (karena ada tambahan} \\
&\quad 1 \text{ tulangan pada ujungnya)} \\
&= 36 \text{ tulangan} \\
As_{\text{tulangan}} &= \frac{1}{4} \times \pi \times D_{\text{tulangan}}^2 \times \text{jumlah} \\
&\quad \text{Tulangan}
\end{aligned}$$

$$= \frac{1}{4} \times 3,14 \times 25^2 \times 36 \\ = 17662,5 \text{ mm}^2$$

As tulangan > As yang diambil = 17662,5 > 7078,5 (OKE)

Jadi digunakan tulangan 36 D25 dengan jarak 100 mm.

Cek control :

$$\Sigma H = 0$$

$$Cc = Ts$$

$$0,85 \times fc' \times a \times b = As \times fy$$

$$a = \frac{(As \text{ yang diambil } \times fy)}{0,85 \times fc' \times bX} \\ = \frac{(7078,5 \times 390)}{0,85 \times 29,15 \times 3500} \\ = 31,875 \text{ mm}$$

$$c$$

$$= \frac{a}{\beta_1}$$

$$= \frac{31,875}{0,85}$$

$$= 37,498 \text{ mm}$$

$$es$$

$$= \frac{d-c}{c \times \epsilon_c}$$

$$= \frac{1125 - 37,498}{37,498 \times 0,003}$$

$$= 0,087$$

$$Fy/Es$$

$$= \frac{390}{200000}$$

$$= 0,00195$$

$\epsilon_s > f_y/E_s$ yaitu $0,0983 > 0,00195$ (OKE)

$\epsilon_s > 0,005$, maka bisa menggunakan $\phi = 0,9$

$$Mn = 0,9 \times fc' \times a \times bX \times (d-a/2)$$

$$= 0,9 \times 29150 \times 0,032 \times 4,6 \times (1,125 - 0,032 / 2)$$

$$= 3065,589 \text{ kNm}$$

$$Mu_2 = \phi \times Mn$$

$$= 0,9 \times 3065,589$$

$$= 5483,027 \text{ kNm}$$

$Mu_1 < Mu_2$ yaitu $1848,357 < 5483,027$ (OKE)

- Penulangan Desak P6-C

Tulangan desak diberikan 20% dari tulangan tarik

Missal dipakai D16-200

$$\begin{aligned} \text{Jumlah tulangan} &= bX / \text{jarak antar tulangan} \\ &= 3500/200 \\ &= 17,5 = 18 + 1 \text{ (karena ada tambahan 1 tulangan pada Ujungnya)} \\ &= 19 \text{ tulangan} \end{aligned}$$

$$\begin{aligned} \text{As tulangan} &= \frac{1}{4} \times \pi \times D \text{ tulangan}^2 \times \text{jumlah tulangan} \\ &= \frac{1}{4} \times 3,14 \times 16^2 \times 24 \\ &= 381824 \text{ m}^2 \\ &= 3818,24 \text{ mm}^2 \\ \text{Nilai 20\%} &= 20\% \times \text{tulangan Tarik} \\ &= 20/100 \times 17662,5 \\ &= 4611,875 \text{ mm}^2 \end{aligned}$$

Tulangan desak > 20% tulangan tarik, $4611,875 > 3818,24$ (OKE).

Jadi digunakan tulangan 19 D16 dengan jarak 200 mm.

Arah Y

Lebar penampang kritis

$$P = 476,06 \text{ ton}$$

$$n_s = 6 \text{ tiang}$$

$$s = 125 \text{ mm}$$

$$= 1,25 \text{ m}$$

$$\emptyset = 0,9$$

$$bY = 2250 \text{ mm}$$

$$= 2,25 \text{ m}$$

$$d = 1125 \text{ mm}$$

$$c_{Y_{\text{kolom}}} = 700 \text{ mm}$$

$$f'_c = 29,15 \text{ Mpa}$$

$$f_y = 390 \text{ Mpa}$$

$$E_s = 200000$$

$$\beta_1 = 0,85$$

| | |
|---|---|
| ϵ_c | = 0,003 |
| tebal | = 1200 mm |
| | = 1,2 m |
| B | = $\frac{bY}{2} - \frac{cY}{2}$ |
| | = $\frac{2250}{2} - \frac{700}{2}$ |
| | = 1050 mm |
| q' | = γ beton x bY x tebal <i>pile cap</i> (satuan meter) |
| | = 2400 x 2800 x 1500 |
| | = 10080 kg/m ² |
| M_{u1} | = 2 x (P/ns x s) - 0,5 x q' B ² (satuan dijadikan kg/m) |
| | = 2 x (932560/6 x 1,8) - 0,5 x 6480 x 0,775 ² |
| | = 146822,725 Kgm |
| | = 1439,839 kNm |
| Rn | = $\frac{M_{u1} \times 1000000}{\phi \times bY \times d^2}$ |
| | = $\frac{146822,725 \times 1000000}{0,9 \times 2250 \times 1125^2}$ |
| | = 0,562 |
| ρ_{perlu} | = $[1 - \sqrt{1 - \frac{2 \times Rn}{0,85 \times f_{c'}}}] \frac{0,85 \times f_{c'}}{f_y}$ |
| | = $[1 - \sqrt{1 - \frac{2 \times 0,562}{0,85 \times 29,15}}] \frac{0,85 \times 29,15}{390}$ |
| | = 0,001457 |
| As perlu | = $\rho \times bY \times d$ |
| | = 0,001457 x 2250 x 1125 |
| | = 3688,619 mm ² |
| As min | = 0,0018 x bY x d |
| | = 0,0018 x 2250 x 1125 |
| | = 455,625 mm ² |
| As diambil yang paling besar, maka diambil As perlu = 455,625 mm ² | |

- Penulangan Tarik P6-C

$$\text{Jumlah tulangan} = bX / \text{jarak antar tulangan}$$

$$\text{Missal pakai D25-100, maka} = 2250/100$$

$$= 22,5 = 23 + 1 \text{ (karena ada}$$

Tambahan 1 tulangan pada
ujungnya)

$$= 24 \text{ tulangan}$$

$$\text{As tulangan} = \frac{1}{4} \times \pi \times D^2 \times \text{jumlah}$$

Tulangan

$$= \frac{1}{4} \times 3,14 \times 25^2 \times 24$$

$$= 1177500 \text{ m}^2$$

$$= 11775 \text{ mm}^2$$

$$\text{As tulangan} > \text{As yang diambil} = 11775 > 455,625 \text{ (OKE)}$$

Jadi digunakan tulangan 24 D25 dengan jarak 100 mm.

Cek control :

$$\Sigma H = 0$$

$$Cc = Ts$$

$$0,85 \times f'_c \times a \times b = As \times f_y$$

$$a = \frac{(As \text{ yang diambil} \times f_y)}{0,85 \times f'_c \times bY}$$

$$= \frac{(455,625 \times 390)}{0,85 \times 29,15 \times 2250}$$

$$= 31,874 \text{ mm}$$

$$c = \frac{a}{\beta_1}$$

$$= \frac{31,874}{0,85}$$

$$= 37,498 \text{ mm}$$

$$\epsilon_s = \frac{d - c}{c \times \epsilon_c}$$

$$= \frac{1125 - 37,498}{37,498 \times 0,003}$$

$$= 0,087$$

$$Fy/Es = \frac{390}{200000}$$

$$= 0,00195$$

$$\epsilon_s > f_y/Es \text{ yaitu } 0,0552 > 0,00195 \text{ (OKE)}$$

$\varepsilon_s > 0,005$, maka bisa menggunakan $\phi = 0,9$

$$\begin{aligned}M_n &= 0,9 \times f_c' \times a \times bY \times (d-a/2) \\&= 0,9 \times 29150 \times 0,032 \times 2,25 \times (1,125-0,032/2) \\&= 1970,736 \text{ kNm}\end{aligned}$$

$$\begin{aligned}M_{u2} &= \phi \times M_n \\&= 0,9 \times 1970,736 \\&= 1773,662 \text{ kNm}\end{aligned}$$

$M_u1 < M_{u2}$ yaitu $1439,839 < 1773,662$ (OKE)

- Penulangan Desak P6-C

Tulangan desak diberikan 20% dari tulangan tarik

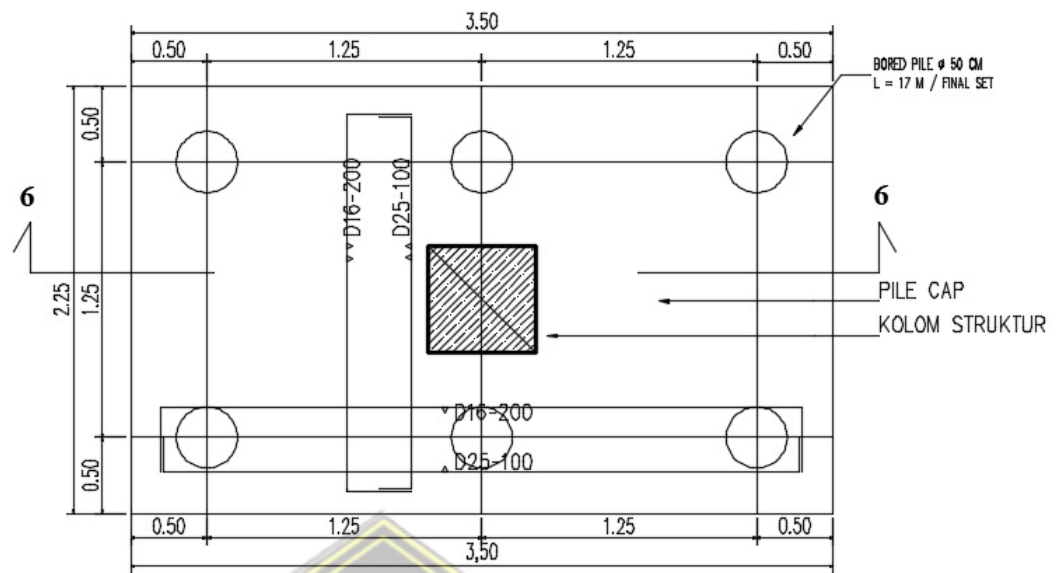
Missal dipakai D16-200

$$\begin{aligned}\text{Jumlah tulangan} &= bY / \text{jarak antar tulangan} \\&= 2250/200 \\&= 11,25 = 12 + 1 \text{ (karena ada tambahan 1 tulangan pada ujungnya)} \\&= 13 \text{ tulangan}\end{aligned}$$

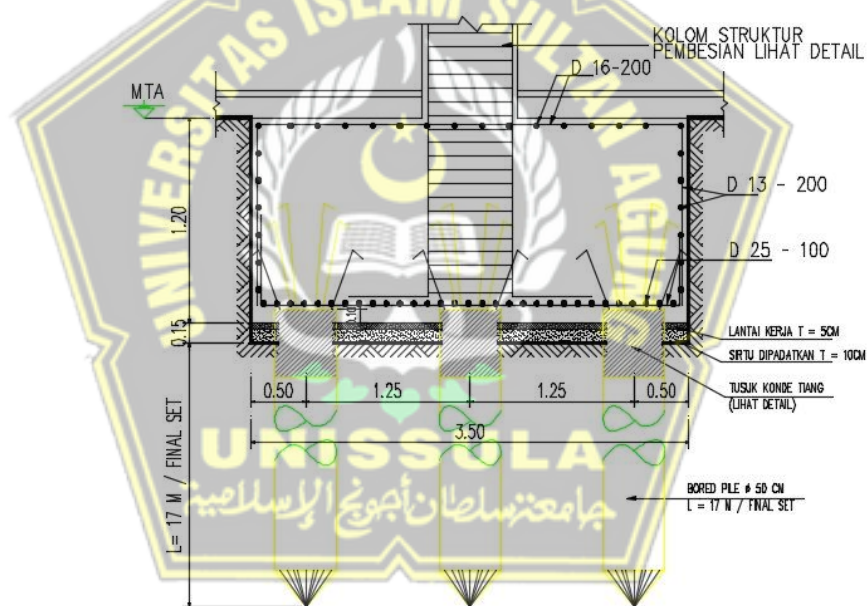
$$\begin{aligned}\text{As tulangan} &= \frac{1}{4} \times \pi \times D \text{ tulangan}^2 \times \text{jumlah tulangan} \\&= \frac{1}{4} \times 3,14 \times 16^2 \times 13 \\&= 689858 \text{ m}^2 \\&= 6898,58 \text{ mm}^2 \\\\text{Nilai 20\%} &= 20\% \times \text{tulangan Tarik} \\&= 20/100 \times 11775 \\&= 2355 \text{ mm}^2\end{aligned}$$

Tulangan desak > 20% tulangan tarik, $6898,58 > 2355$ (OKE).

Jadi digunakan tulangan 13 D16 dengan jarak 200 mm



Gambar 4.52 Detai Pile Cap P6-C



Gambar 4.53 Potongan Pile Cap P6-C

- *Pile cap P4-A*

Karena pile cap berbentuk persegi ($X=Y$) maka hanya dihitung salah satu saja

1. Geser Satu Arah

$$P = 186,01 \text{ ton}$$

$$b_X = 2250 \text{ mm}$$

$$= 2,25 \text{ m}$$

| | |
|------------------|---|
| bY | = 2250 mm |
| | = 2,25 m |
| A | = bX x bY |
| | = 2,25 x 2,25 |
| | = 5,0625 m ² |
| Selimut | = 75 mm |
| F _{c'} | = 29,15 Mpa |
| Kolom | = 700 x 700 mm |
| Tebal | = 1200 mm |
| σ | = P/A |
| | = 186,01 / 5,0625 |
| | = 36,743 ton/m ² |
| d | = asumsi tebal – selimut beton |
| | = 1200 – 75 |
| | = 1125 mm |
| G' | = $bX \cdot \left(\frac{bX}{2} + \frac{\text{lebar kolom}}{2} + d \right)$ |
| | = $2250 \cdot \left(\frac{2250}{2} + \frac{700}{2} + 1125 \right)$ |
| | = 350 mm |
| | = 0,35 m |
| V _u | = $\sigma \times bX \times G' \text{ (satuan meter)}$ |
| | = 36,743 x 2250 x 0,35 |
| | = 28,935 ton |
| ϕV_c | = $0,75 \times \frac{1}{6} \times \sqrt{f_{c'}} \times bX \times d$ |
| | = $0,75 \times \frac{1}{6} \times \sqrt{29,15} \times 2250 \times 1125$ |
| | = 1708300,756 N |
| | = 171,447 ton |
| $\phi V_c > V_u$ | = 171,447 ton > 28,935 ton (OKE) |

2. Geser Dua Arah

$$\begin{aligned} bX &= 2250 \text{ mm} \\ &= 2,25 \text{ m} \end{aligned}$$

| | |
|---|---|
| d | = 1125 mm |
| as | = karena letak kolom ditengah <i>pile cap</i> , maka nilainya 40 |
| β_c | = Panjang kolom X/Y = 1 |
| λ | = Karena beton normal maka nilainya 1 |
| cX_{kolom} | = 700 mm |
| B' | = $cX + d$ |
| | = $700 + 1125$ |
| | = 1825 mm |
| | = 1,825 m |
| bo | = $4 \times B'$ |
| | = 4×1825 |
| | = 7300 mm |
| Vc1 | $= \left(1 + \frac{2}{\beta_c}\right) \frac{\sqrt{f_{c'}} \times bo \times d}{6}$ $= \left(1 + \frac{2}{1}\right) \frac{\sqrt{29,15} \times 7300 \times 1125}{6}$ $= 22169947,59 \text{ N}$ $= 2225,001 \text{ ton}$ |
| Vc2 | $= \left(\frac{as \cdot d}{bo} + 2\right) \frac{\sqrt{f_{c'}} \times bo \times d}{12}$ $= \left(\frac{40 \cdot 1125}{7300} + 2\right) \frac{\sqrt{29,15} \times 7300 \times 1125}{12}$ $= 30167325,95 \text{ N}$ $= 3027,627 \text{ ton}$ |
| Vc3 | $= \frac{1}{3} \times \lambda \times \sqrt{f_{c'}} \times bo \times d$ $= \frac{1}{3} \times 1 \times \sqrt{29,15} \times 7300 \times 1125$ $= 14779965,06 \text{ N}$ $= 1483,334 \text{ ton}$ |
| Vc diambil yang paling kecil, maka dipakai $Vc3 = 1483,334 \text{ ton}$ | |
| Vu | $= \sigma \times (bX^2 - B'^2) \text{ (satuan meter)}$ $= 36,743 \times (2,5^2 - 1,125^2)$ $= 63,634 \text{ ton}$ |
| φVc | $= 0,75 \times Vc \text{ pakai}$ $= 0,75 \times 1483,334$ |

$$\begin{aligned}
 &= 1112,501 \text{ ton} \\
 \varphi V_c > V_u &\quad = 1112,501 \text{ ton} > 63,634 \text{ ton (AMAN)}
 \end{aligned}$$

3. Perhitungan Tulangan Lentur

Lebar penampang kritis

$$\begin{aligned}
 P &= 186,01 \text{ ton} \\
 n_s &= 4 \text{ tiang} \\
 s &= 1250 \text{ mm} \\
 &= 1,25 \text{ m} \\
 \varnothing &= \text{memiliki nilai } 0,9 \\
 bX &= 2250 \text{ mm} \\
 &= 2,25 \text{ m} \\
 d &= 1125 \text{ mm} \\
 cX_{\text{kolom}} &= 700 \text{ mm} \\
 f'_c &= 29,15 \text{ Mpa} \\
 f_y &= 390 \text{ Mpa} \\
 E_s &= 200000 \\
 \beta_1 &= 0,85 \\
 \epsilon_c &= 0,003 \\
 \text{tebal} &= 1200 \\
 B &= \frac{bX}{2} - \frac{cX}{2} \\
 &= \frac{2250}{2} - \frac{700}{2} \\
 &= 775 \text{ mm} \\
 &= 0,775 \text{ m} \\
 q' &= \gamma \text{ beton} \times bX \times \text{tebal} \text{ pile cap (satuan meter)} \\
 &= 2400 \times 2,25 \times 1,2 \\
 &= 6480 \text{ kg/m}^2 \\
 M_{u1} &= 2 \times \left(\frac{P}{n_s} \times s \right) - 0,5 \times q' \times B^2 \text{ (satuan dijadikan kg/m)} \\
 &= 2 \times \left(\frac{186,01}{4} \times 1,25 \right) - 0,5 \times 6480 \times 0,775^2 \\
 &= 114310,225 \text{ Kgm} \\
 &= 1121 \text{ kNm}
 \end{aligned}$$

$$\begin{aligned}
 R_n &= \frac{\text{Mu1} \times 1000000}{\phi \times bX \times d^2} \\
 &= \frac{1121 \times 1000000}{0,9 \times 2250 \times 1125^2} \\
 &= 0,437
 \end{aligned}$$

$$\begin{aligned}
 \rho_{\text{perlu}} &= [1 - \sqrt{1 - \frac{2 \times R_n}{0,85 \times f_{c'}}}] \frac{0,85 \times f_{c'}}{f_y} \\
 &= [1 - \sqrt{1 - \frac{2 \times 0,437}{0,85 \times 29,15}}] \frac{0,85 \times 29,15}{390} \\
 &= 0,001132
 \end{aligned}$$

$$\begin{aligned}
 As_{\text{perlu}} &= \rho \times bX \times d \\
 &= 0,001132 \times 2250 \times 1125 \\
 &= 2864,38 \text{ mm}^2
 \end{aligned}$$

$$\begin{aligned}
 As_{\text{min}} &= 0,0018 \times bX \times d \\
 &= 0,0018 \times 2250 \times 1125 \\
 &= 4556,25 \text{ mm}^2
 \end{aligned}$$

As diambil yang paling besar, maka diambil As min = 4556,25 mm²

- Penulangan Tarik P4-A

$$\begin{aligned}
 \text{Jumlah tulangan} &= bX / \text{jarak antar tulangan} \\
 \text{Missal pakai D25-100, maka} &= 2250/100 \\
 &= 22,5 = 23 + 1 \text{ (karena ada tambahan 1} \\
 &\text{tulangan pada ujungnya)} \\
 &= 24 \text{ tulangan}
 \end{aligned}$$

$$\begin{aligned}
 As_{\text{tulangan}} &= \frac{1}{4} \times \pi \times D_{\text{tulangan}}^2 \times \text{jumlah} \\
 &\quad \text{Tulangan}
 \end{aligned}$$

$$\begin{aligned}
 &= \frac{1}{4} \times 3,14 \times 25^2 \times 24 \\
 &= 11775 \text{ mm}^2
 \end{aligned}$$

$$As_{\text{tulangan}} > As_{\text{yang diambil}} = 11775 > 4556,25 \text{ (OKE)}$$

Jadi digunakan tulangan 24 D25 dengan jarak 100 mm.

Cek control :

$$\Sigma H = 0$$

$$C_c = T_s$$

$$0,85 \times f_{c'} \times a \times b = As \times f_y$$

$$a = \frac{(As \text{ yang diambil } x fy)}{0,85 x fc' x bX}$$

$$= \frac{(4556,25 \times 390)}{0,85 \times 29,15 \times 2500}$$

$$= 31,874 \text{ mm}$$

$$c = \frac{a}{\beta_1}$$

$$= \frac{31,874}{0,85}$$

$$= 37,498 \text{ mm}$$

$$\epsilon_s = \frac{d-c}{c \times \epsilon_c}$$

$$= \frac{1125 - 37,498}{37,498 \times 0,003}$$

$$= 0,087$$

$$Fy/Es = \frac{390}{200000}$$

$$= 0,00195$$

$\epsilon_s > f_y/E_s$ yaitu $0,0749 > 0,00195$ (OKE)

$\epsilon_s > 0,005$, maka bisa menggunakan $\phi = 0,9$

$$M_n = 0,9 \times f_{c'} \times a \times bX \times (d-a/2)$$

$$= 0,9 \times 29150 \times 0,032 \times 2,25 \times (1,125 - 0,032/2)$$

$$= 1970,736 \text{ kNm}$$

$$M_{n2} = \phi \times M_n$$

$$= 0,9 \times 1970,736$$

$$= 1773,662 \text{ kNm}$$

$M_{n1} < M_{n2}$ yaitu $1121 < 1773,662$ (OKE)

- Penulangan Desak P4-A

Tulangan desak diberikan 20% dari tulangan tarik

Missal dipakai D16-200

$$\text{Jumlah tulangan} = bX / \text{jarak antar tulangan}$$

$$= 2250/200$$

$$= 11,25 = 12 + 1 \text{ (karena ada tambahan 1 tulangan)}$$

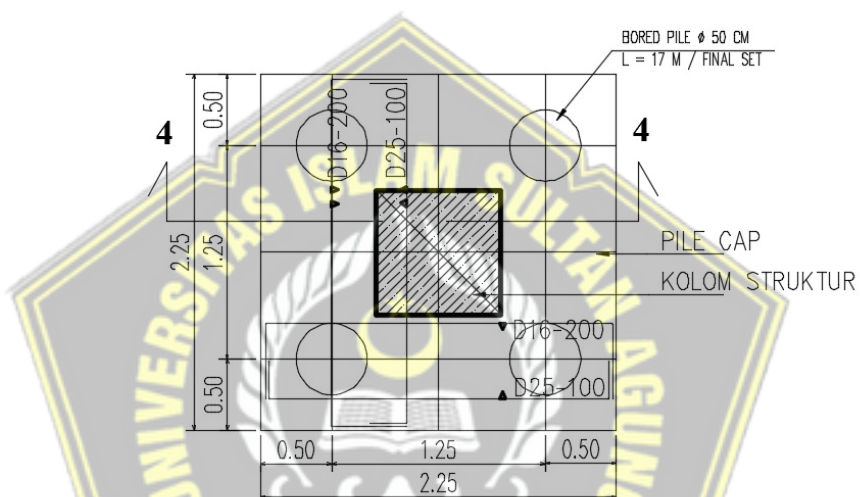
Pada Ujungnya)

$$= 13 \text{ tulangan}$$

$$\begin{aligned}
 \text{As tulangan} &= \frac{1}{4} \times \pi \times D \text{ tulangan}^2 \times \text{jumlah tulangan} \\
 &= \frac{1}{4} \times 3,14 \times 16^2 \times 13 \\
 &= 261248 \text{ m}^2 \\
 &= 2612,48 \text{ mm}^2 \\
 \text{Nilai } 20\% &= 20\% \times \text{tulangan Tarik} \\
 &= 20/100 \times 11775 \\
 &= 2355 \text{ mm}^2
 \end{aligned}$$

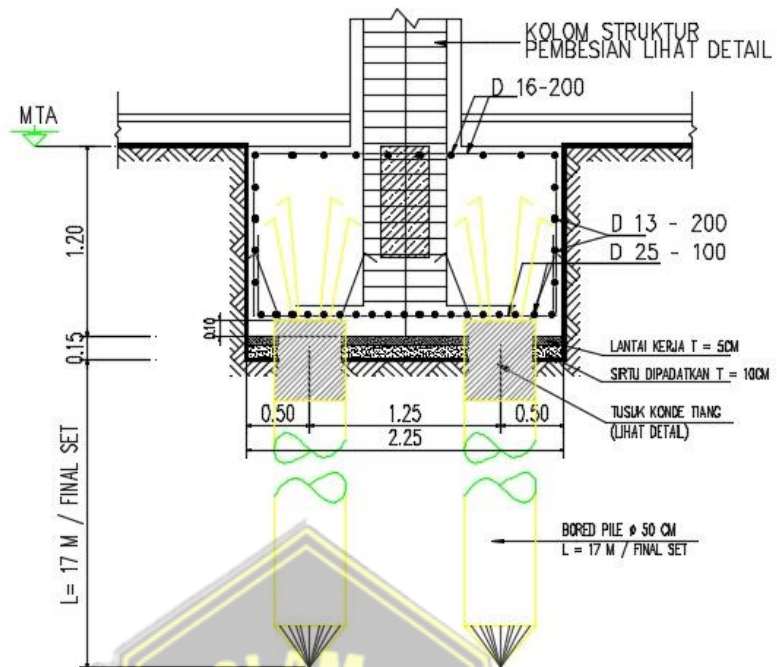
Tulangan desak > 20% tulangan tarik, $2612,48 > 2355$ (OKE).

Jadi digunakan tulangan 13 D25 dengan jarak 200 mm.



Gambar 4.54 Detail Pile Cap P4-A

UNISSULA
جامعة سلطان قابوسي الإسلامية



Gambar 4.55 Detail Potongan *Pile Cap* P4-A

Tabel 4.17 Hasil Perhitungan *Pile Cap*

| Tipe Fondasi | Panjang X (m) | Panjang Y (m) | Tebal (m) | Tulangan Tarik | | Tulangan Desak | |
|--------------|---------------|---------------|-----------|----------------|------------|----------------|------------|
| | | | | X | Y | X | Y |
| P8 | 3,5 | 2,98 | 1,2 | 36 D25-100 | 31 D25-100 | 16 D16-200 | 24 D16-200 |
| P6-C | 3,5 | 2,25 | 1,2 | 36 D25-100 | 24 D25-100 | 19 D16-200 | 13 D16-200 |
| P4-A | 2,5 | 2,5 | 1,2 | 24 D25-100 | 24 D25-100 | 13 D25-200 | 13 D25-200 |

BAB V

KESIMPULAN DAN SARAN

5.1. Kesimpulan

Berdasarkan dari hasil dan pembahasan pada analisis daya dukung dan penurunan fondasi bored pile pada Proyek Pembangunan Gedung Instalasi Bedah Sentral (IBS) RSUD dr. Loekmonohadi, didapat kesimpulan sebagai berikut :

1. Dalam analisis pemodelan struktur dengan program SAP2000 diperoleh beberapa beban yang dipikul oleh fondasi bored pile yaitu :
 - Beban terbesar : 7036,415 kN (Kolom P8)
 - Beban menengah : 4668,524 kN (Kolom P6-C)
 - Beban terkecil : 1824,156 kN (Kolom P4-A)
2. Dalam analisis perhitungan daya dukung aksial fondasi bored pile secara manual pada tanah kohesif pada kedalaman 17 meter, dari beberapa metode diperoleh kapasitas daya dukung ultimit (Q_{ult}) dan kapasitas daya dukung ijin (Q_{all}) tiang *bored pile* yaitu sebesar :
 - Metode *Aoki de Alencar*, $Q_{ult} = 584,519$ kN dan $Q_{all} = 233,807$ kN
 - Metode *Tomlinson*, $Q_{ult} = 908,049$ kN dan $Q_{all} = 363,220$ kN
 - Metode *Reese and Wright*, $Q_{ult} = 2412,043$ kN dan $Q_{all} = 804,014$ kN
 - Metode *Mayerhoff*, $Q_{ult} = 2412,043$ kN dan $Q_{all} = 804,014$ kN
- Hasil perhitungan daya dukung lateral menggunakan metode *Brooms* diperoleh nilai H_u (gaya lateral) sebesar 669,68 kN.
3. Hasil perhitungan dari penurunan fondasi tiang tunggal menggunakan metode *vesic* (1977) penurunan sebesar 3,40 mm. Hasil perhitungan dari penurunan fondasi tiang kelompok dengan menggunakan metode *vesic* (1977) penurunan pada tiang kelompok P8 sebesar 8,33 mm, pada tiang kelompok P6-C sebesar 8,33 mm, dan pada tiang kelompok P4-A sebesar 6,36 mm.
4. Hasil konsolidasi menggunakan *software Plaxis* dalam periode 1 tahun diperoleh sebesar 2,47 mm dan periode 10 tahun diperoleh sebesar 2,47 mm. Sedangkan Dalam analisis dengan program Allpile didapat hasil analisis yaitu :

Vertikal Analysis : Kapasitas dari daya dukung ultimit (Qult) = 1030,821 kN

Kapasitas dari daya dukung ijin (Qall) = 412,328 kN

Settlement = 2,27 cm

5. Hasil perhitungan pile cap diperoleh pada fondasi

- P8 : Dimensi 3,5 m x 2,98 m

Tebal 1,2 m

Tulangan tarik arah X yaitu 36 D25-100 mm,

arah Y yaitu 31 D25-100 mm

Tulangan desak arah X 16 D16-200 mm

arah Y 24 D16-200 mm

- P6-C : Dimensi 4,6 m x 2,8 m

Tebal 1,2 m

Tulangan tarik arah X yaitu 36 D25-100 mm,

arah Y yaitu 24 D25-100 mm

Tulangan desak arah X 19 D16-200 mm

arah Y 13 D16-200 mm

- P4-A : Dimensi 2,5 m x 2,5 m

Tebal 1,2 m

Tulangan tarik arah X = Y yaitu 24 D25-100 mm,

Tulangan desak arah X = Y yaitu 13 D16-200 mm

5.2. Saran

Berdasarkan dari hasil perhitungan dan analisis pada laporan tugas akhir ini, terdapat beberapa saran yaitu sebagai berikut :

1. Dalam analisis daya dukung dan penurunan fondasi sebaiknya diperlukan data Teknik dan data laboratorium yang lebih lengkap, agar analisis dan perhitungan akan mendapatkan hasil perhitungan yang lebih akurat, baik secara analitis maupun dengan program aplikasi.
2. Dikarenakan keterbatasan informasi yang diterima penulis, masih banyak terdapat kesenjangan dalam analisis daya dukung dana dan analisis kependudukan, oleh karena itu perhitungan daya dukung dana dan analisis kependudukan memerlukan perhitungan yang lebih akurat.

3. Semua analisis perhitungan manual maupun menggunakan program Allpile merupakan suatu prediksi sehingga perlu disesuaikan dengan kondisi langsung dilapangan.
4. Dalam analisis perhitungan yang dilakukan oleh program aplikasi, perhitungan bantalan dan penurunan pondasi secara manual dibandingkan. Oleh karena itu, hasil perhitungan dalam laporan ini menyertakan perbandingan antara perhitungan manual dengan program aplikasi. Oleh karena itu, hasil perhitungan yang disajikan dalam laporan ini harus dibandingkan dengan hasil perhitungan manual dan perbandingan perhitungan dengan menggunakan program.
5. Oleh karena itu, menganalisis daya dukung pondasi dan penurunan membutuhkan pengalaman, ketelitian dan keterampilan untuk mendapatkan hasil yang lebih baik.



DAFTAR PUSTAKA

- Afifa, R. N. (2021). *Analisa Daya Dukung Bore Pile Pada Pembangunan Jembatan Kereta Api Antara Araskabu-Tebing Tinggi dan Lintas Tebing Tinggi-Siantar*.
- Hardiyatmo, H. C. (2008). Teknik Fondasi 2 Edisi ke-4. *Gramedia Pustaka Utama*, 275.
- Ismoyojati, R., & Prananda, T. W. (2021). *TIANG i PANCANG HASIL STANDART PENETRATION TEST (SPT) DAN KALENDERING (STUDI KASUS : PROYEK PEMBANGUNAN JALAN TOL* Oleh :
- Karim, F. S. (2013). *Perencanaan Ulang Struktur Bawah Gedung Laboratorium Vokasi Univeristas Brawijaya Malang Menggunakan POnasi Bored Pile Tipe Franky Pile*. 1727, 5–49.
- Ningrum, P. W. (2022). Perencanaan Fondasi Bored Pile Rumah Sakit. *Perencanaan Fondasi Bored Pile Rumah Sakit*, 114.
- Revaldo, L., & Johari, M. (2022). *Tugas akhir redesain fondasi pada gedung fakultas kedokteran gigi unissula semarang*.
- Rohman, A. F. (2022). *BORED PILE PADA PROYEK PEMBANGUNAN RUMAH SUSUN*.
- Takaredase, J. (2016). Pelaksanaan Pada Pembangunan Gedung Auditorium. *Tinjauan Perencanaan Pondasi Dan Metode Pelaksanaan Pada Pembangunan Gedung Auditorium Politeknik Negeri Manado*.
- Titi et al. (1999). *Evaluation of Bearing Capacity of Piles From Cone*. November.
- Yahya, I., & Pramudya, M. A. (2022). *Analisa daya dukung dan konsolidasi fondasi micropile pada bangunan cagar budaya pasar johar selatan*.
- Yusti, A., & Fahriani, F. (2014). Analisis Daya Dukung Pondasi Tiang Pancang Diverifikasi Dengan Hasil Uji Pile Driving Analyzer Test Dan CAPWAP. *Jurnal Fropil*, 2(1), 19–31.